

KARADENİZ TEKNİK ÜNİVERSİTESİ  
FEN BİLİMLERİ ENSTİTÜSÜ

FİZİK ANABİLİM DALI

KİMYASAL PÜSKÜRTME YÖNTEMİYLE ZnS İNCE FILMLERİNİN ÜRETİMİ  
VE KARAKTERİSTİK ÖZELLİKLERİNİN İNCELENMESİ

138149

Kemal ÖZTÜRK

Karadeniz Teknik Üniversitesi Fen Bilimleri Enstitüsünde  
“Yüksek Lisans (Fizik)”  
Ünvanı Verilmesi İçin Kabul Edilen Tezdir

Tezin Enstitüye Verildiği Tarihi : 08.01.2003  
Tezin Savunma Tarihi : 29.01.2003

138149

Tez Danışmanı  
Jüri Üyesi  
Jüri Üyesi

: Prof. Dr. Ekrem YANMAZ  
: Prof. Dr. Mustafa ALTUNBAŞ  
: Prof. Dr. Fazlı ARSLAN

Enstitü Müdürü : Prof. Dr. Yusuf AYVAZ

T.C. YÜKSEKÖĞRETİM KURULU  
DOKÜMANASYON MERKEZİ

Trabzon 2003

## **ÖNSÖZ**

Bu çalışma, Karadeniz Teknik Üniversitesi Fen Bilimleri Enstitüsü Fizik Anabilim Dalında Yüksek Lisans Tezi olarak gerçekleştirildi.

Cam altlıklar üzerinde, kimyasal püskürtme yöntemiyle üretilen ZnS ince filmlerin yapısal, elektriksel ve optik özelliklerinin incelendiği bu çalışma Karadeniz Teknik Üniversitesi, Fen-Edebiyat Fakültesi Fizik Bölümü Katıhal Fiziği laboratuvarı ve Atatürk Üniversitesi Fen-Edebiyat Fakültesi Fizik Bölümü Yarıiletken Araştırma Laboratuvarlarında yapıldı.

Yüksek Lisans Tez Danışmanlığını üstlenerek, deneysel çalışmaların yürütülmesi sırasında yardımlarını esirgemeyen sayın hocam Prof. Dr. Ekrem YANMAZ' a ve tezin her aşamasında deneysel ve teorik bilgi yönünden yararlandığım Doç. Dr Vagif NOVRUZOV' a teşekkürü bir borç bilirim.

Çalışmalarım esnasında ilgi ve yardımlarını gördüğüm Fizik Bölümü öğretim üyelerinden Prof Dr. Mustafa ALTUNBAŞ' a, Prof Dr. Ali İhsan KOBYA ve tezin hazırlanmasında yararlandığım Yrd. Doç. Dr. Gültekin TOPUZ' a, Arş. Gör. Emin BACAKSIZ' a, Arş. Gör. Hamdi ÖZTÜRK' e ,Arş. Gör. Murat TOMAKİN ve Osman GÖRÜR' e teşekkürlerimi sunarım.

**Kemal ÖZTÜRK**

## İÇİNDEKİLER

	<u>Sayfa No</u>
ÖNSÖZ.....	II
İÇİNDEKİLER.....	III
ÖZET.....	VI
SUMMARY.....	VII
ŞEKİLLER DİZİNİ.....	VIII
ÇİZELGELER DİZİNİ.....	XI
SEMBOLLER DİZİNİ.....	XII
1.GENEL BİLGİLER.....	1
1.1. Giriş .....	1
1.2. Yarıiletkenler Hakkında Genel Bilgi.....	1
1.2.1. Yarıiletken Türleri.....	3
1.2.1.1.Özden Yarıiletkenler .....	3
1.2.1.2. Katkılı Yarıiletkenler.....	4
1.3. Yarıiletkenlerin Elektriksel Özellikleri .....	7
1.3.1. Elektriksel İletkenlik .....	8
1.3.2. Mobilite (Hareketlilik) .....	10
1.4. Yarıiletkenlerde Band Geçişleri .....	12
1.4.1. Doğrudan Band Geçişleri .....	12
1.4.2. Dolaylı Band Geçişleri .....	13
1.5. Yarıiletkenlerde Soğurma (Absorpsiyon) Olayları .....	14
1.5.1. Temel Soğurma Olayı .....	14
1.5.2. Eksitonların Soğurması .....	15
1.5.3. Serbest Yük Taşıyıcılarının Soğurması.....	16
1.5.4. Katkı Atomlarının Soğurması .....	17
1.6. ZnS Yarıiletken Filmelerinin Optik Özellikleri ve Yasak Enerji Aralığı .....	17
1.7. ZnS İkili Bileşigin Kristal Yapısı ve X Işını Kırınım Desenleri .....	19
1.8. ZnS İnce Filmlerinin Üretim Yöntemleri.....	22
1.8.1.Kimyasal Püskürme Yöntemi .....	23
1.8.2. İyonik Püskürme Yöntemi .....	25
1.8.3. Tek Kaynaktan Buharlaştırma.....	26

1.8.4. Aniden Buharlaştırma .....	27
1.8.5. Lazerle Buharlaştırma .....	28
1.8.6. Sıvı Fazdan Çökeltme Yöntemi .....	29
<b>2. YAPILAN ÇALIŞMALAR .....</b>	<b>31</b>
2.1. ZnS Çözeltilisinin Hazırlanması .....	31
2.2. Altlıkların Hazırlanması ve Altlık Isıtma Sistemi.....	32
2.3. ZnS İnce Filmlerinin Üretimi .....	32
2.4. Film Kalınlıklarının Ölçümü.....	33
2.5. X-Işınları Kırınım Analizi.....	34
2.6. Filmlerin Yüzey Morfolojisinin İncelenmesi .....	35
2.7. Elektriksel Özelliklerin İncelenmesi .....	35
2.8. Optik Özelliklerin Ölçülmesi .....	36
<b>3. BULGULAR VE TARTIŞMA .....</b>	<b>39</b>
3.1. Deneylerde Kullanılan Çözeltilinin PH Değerinin ZnS Filmlerinin Büyüme Hızına ve Özdirencine Etkisinin İncelenmesi .....	39
3.2. Farklı S:Zn Molar Oranlarında Üretilmiş ZnS İnce Filmler .....	39
3.2.1. Yapısal Özelliklerin İncelenmesi .....	39
3.2.1.1. Farklı S:Zn Molar Oranlarında Üretilmiş ZnS filmlerinin X-Işınları Kırınım Desenlerinin İncelenmesi .....	39
3.2.1.2. Optik Fotoğraflarla ZnS Filmlerinin Yüzey Morfolojisinin İncelenmesi .....	42
3.2.2. Elektrik Özelliklerin İncelenmesi.....	44
3.2.3. Optik Özelliklerin İncelenmesi .....	45
3.3. Optimum $Z_2$ ( $S:Zn = 0,9$ ) Numunesinin İncelenmesi .....	51
3.3.1. $Z_2$ Numunesinin Yapısal Özelliklerinin İncelenmesi.....	50
3.3.1.1. Farklı Altlık Sıcaklığında Üretilen $Z_2$ numunesinin X-işınları Kırınım Desenleri.....	52
3.3.1.2. Farklı Altlık Sıcaklıklarında Üretilen $Z_2$ Numunesinin Yüzey Morfolojisi.....	54
3.3.1.3. Hava Ortamında Farklı Sıcaklıklarda Tavlanan $Z_2$ Numunesinin X-işınları Kırınım Desenleri.....	55
3.3.1.4. Farklı Sıcaklıklarda Tavlanmış $Z_2$ Numunesinin Yüzey Morfolojisinin İncelenmesi.....	55
3.3.2. $Z_2$ Numunesinin Elektriksel Özelliklerinin İncelenmesi.....	57

4. SONUÇLAR .....	59
5. ÖNERİLER .....	60
6. KAYNAKLAR.....	61
ÖZGEÇMİŞ .....	65



## ÖZET

Başlıca  $\alpha$ -faz (hekzagonal) ve  $\beta$ -faz (Kübik)' dan oluşan ZnS ince filmi çeşitli elektronik aletlerin tasarıımında umut verici bir malzemedir. II-VI grubu bileşiklerinden olan ZnS malzemesi opto elektronikte, oda sıcaklığında 3,5-3,7 eV gibi geniş band aralığına sahip olduğu için görünür bölgede ışık yayan diyon olarak kullanılmaktadır. Ayrıca, bu malzemenin optik geçirgenliğinin (%75) ve kırılma indisinin (2,35) büyük olması dielektrik filtre ve reflaktör olarak kullanılmasına imkan verir. Bu çalışmada ZnS ince filmler değişik S:Zn molar oranlarında kimyasal püskürtme yöntemi kullanılarak üretildi.

Bu filmlerin yapı yüzey morfolojisi, elektrik ve optik özellikleri değişik altlık sıcaklığı, tavlama sıcaklığı, püskürtme zamanı ve bileşen oranlarına bağlı olarak incelendi.

Altlık sıcaklığı 500°C, püskürtme süresi 30 dak., püskürtme hızı 5 ml/dak. ve S:Zn molar oranı 0,9 olduğunda altlıkla iyi adhezyon sergileyen hekzagonal ve kübik faz karışımına sahip, tercihli yönlenmesi (111) $_{\beta}$  yönünde olan filmler elde edildi. Filmlerin dört nokta yöntemiyle aydınlatıktan ölçülen özdirençlerinin artan altlık sıcaklığı ile yükseldiği görüldü. Bu, film kalınlığındaki azalma ve stikoyometredeki gelişme veya elektron yoğunluğu ve mobilitedeki azalma nedeniyle olabilir. Hedef numunenin (S:Zn=0,9), enerji band aralığını bulmak için, absorpsiyon katsayısı ölçülerek foton enerjisiyle değişimi incelendiğinde, doğrudan band geçişli kübik fazlarındaki değerle uyum içinde olduğu görüldü. Ayrıca artan tavlama sıcaklıklarıyla hedef numunenin özdirencinde düşüşler gözlandı.

**Anahtar Kelimeler:** ZnS, İnce film, Optik, Elektrik, Yapı, Bileşim

## SUMMARY

### The Production of ZnS Thin Films Prepared by Spray Pyrolysis and The Studied of Characteristic Properties

Zinc Sulfide ( ZnS ) thin film is a promising material for its use in various electronical devices design which mainly exist in an  $\alpha$ -phase ( hexagonal ) and a  $\beta$ -phase ( cubic ). In opto-electronics, ZnS materials ( II-VI group compound ) can be used as light emitting diode in the blue to ultraviolet spectral region due to its wide band gap of 3.5 -3.7 eV at room temperature. In addition, in the area optics, ZnS can be used as a reflector and dielectric filter because of its high refractive index ( 2.35 ) and its high transmittance (75% ) in the visible range, respectively. In this study, ZnS thin films were produced by spray pyrolysis as a function of different S : Zn molar ratio.

The structure, surface morphology, electrical and optical properties of these films are investigated as a function of substrate temperatures, deposition time, solition spray rate, and compound ratio. It is found that the films prepared at substrate temperature of 500°C, deposition time of 30 min ( about 4 $\mu$ m thick ), solition spray rate of 5ml min<sup>-1</sup> and S : Zn molar ratio of 0.9 have good adherence to the glass substrates and exhibit a mixture of hexagonal ( $\alpha$ ) and cubic ( $\beta$ ) phase, with a preferential orientation along the (111)  $\beta$  direction. The light resistivity increased as the substrate temperature increased which was measured at room temperature using the square four-probe method. This may be owing to the decrease in film thickness and improvement in stoichiometry or the decrease in electron density and mobility. The absorption coefficient was measured ( S : Zn = 0.9 ) and then correlated with the photon energy to estimate to energy gap, which was about the value for the cubic phase with a direct transition. In addition, the light resistivity decreased as the annealing temperature increased.

**Key Words :** ZnS, Thin Films, Optical, Electrical, Structure, Composition

## ŞEKİLLER DİZİNİ

	<u>Sayfa No</u>
Şekil 1. Özden yarıiletkenlerin enerji band diyagramının şematik görünümü.....	4
Şekil 2. Galyum katkılı p-tipi silisyum yarıiletkeninin (a) kovalent bağ örgüsü, (b) 300 0K de akseptör seviyelerinin şematik gösterilimi. ....	5
Şekil 3. Antimon katkılı n-tipi Si yarıiletkeninin (a) kovalent bağ örgüsü, (b) 300 0K de donor enerji seviyelerinin şematik gösterilimi. ....	6
Şekil 4. Yarıiletkenlerde iletkenliğin, sıcaklığın tersine göre değişimi .....	11
Şekil 5. Mobilitenin sıcaklığa göre değişim grafiği. ....	11
Şekil 6. Yarıiletkenlerde (a) doğrudan, (b) dolaylı band geçişleri .....	13
Şekil 7. Yarıiletkenlerde temel soğurma olayı .....	15
Şekil 8. (a) Eksiton, (b) eksitonun enerji seviyesinin gösterimi.....	16
Şekil 9. Serbest yük taşıyıcılarının soğurması .....	17
Şekil 10. Püskürtme yöntemi ile çeşitli altlık sıcaklıklarında hazırlanmış ZnS filmlerinin dalga boyuna bağlı geçirgenlik değerleri .....	18
Şekil 11. Püskürtme yöntemiyle çeşitli altlık sıcaklığında hazırlanmış ZnS filmlerinin foton enerjisinin $(\alpha h\nu)^2$ ye bağlı değişimi.....	19
Şekil 12. Çinkosülfit kristal yapısı [23]. .....	20
Şekil 13. Hekzagonal (wurzit) yapı [7]. .....	21
Şekil 14. Farklı altlık sıcaklıklarında üretilen ZnS filmlerinin x-ışınları kırınım desenleri ( (a) 300°C; (b) 400°C ve (c) 500°C ) [21]. .....	23
Şekil 15. Kimyasal püskürtme düzeneğinin şematik gösterimi. ....	25
Şekil 16. İyonik püskürtme yöntemi düzeneği: (1) yüksek gerilime dayanıklı giriş, (2) vakum fanusu, (3) ekran, (4) katot, (5) hedef malzeme, (6) katot bölgesi, (7) pozitif iyonlardan oluşmuş bölge, (8) altlıklar, (9) anot, (10) vakum çıkışı, (11) çöken parçacıklar, (12) iyonlar ve (13) taşıyıcı gaz girişи.....	26
Şekil 17. Tek kaynaktan buharlaştırma yöntemine ait şematik görünüm [32].....	27
Şekil 18. Aniden buharlaştırma yöntemine ait şematik görünüm .....	28
Şekil 19. Lazerle buharlaştırma yöntemine ait şematik görünüm. ....	29
Şekil 20. Kimyasal püskürtme düzeneği .....	32
Şekil 21. Bilgisayar kontrollü Rigaku D/Max-IIIC difraktometresi .....	34
Şekil 22. Filmlerin yüzey morfolojisini belirlemeye kullanılan Nikon coolpix 995 polarize ışık mikroskopu .....	35
Şekil 23. Dört nokta yöntemiyle özdirenç devresi .....	36
Şekil 24. (a) Geçiş katsayısını ölçmek için kullanılan düzenek, (b) Fant yardımıyla modüle edilmiş ışık. ....	37

Şekil 25. ZnS Filmlerinin özdirenç ve kalınlıklarının, çözeltinin PH değerine göre değişimi .....	39
Şekil 26. Farklı Z:Sn molar oranlarında üretilen ZnS filmlerinin x-ışınları kırınım desenleri ((a) 0,7, (b) 0,8, (c) 0,9, (d) 1,0 ve (e) 1,5).....	41
Şekil 27. Sabit altlık sıcaklığında ( $500^{\circ}\text{C}$ )' de üretilen ZnS ince filmlerde hekzagonal $\alpha$ -fazına ait $a$ ve $c$ örgü sabitleri (a) ile kübik $\beta$ -fazına ait $a$ örgü sabitinin (b), filmlerin S:Zn molar oranına bağlı değişimi .....	42
Şekil 28. Sabit altlık sıcaklığında ( $500^{\circ}\text{C}$ ) ve değişik S:Zn molar oranlarında üretilen ZnS filmlerinin yüzey mikrofotoğrafları ((a) 0,5, (b) 0,6, (c) 0,7, (d) 0,8, (e) 0,9, (f) 1, (g) 1,5).....	43
Şekil 29. $500^{\circ}\text{C}$ altlık sıcaklığında üretilen ZnS filmleri özdirenç değerlerinin, S:Zn molar oranına bağlı değişimi.....	44
Şekil 30. Sabit altlık sıcaklığı ( $500^{\circ}\text{C}$ ) ve S:Zn molar oranı 0,7 olarak üretilen ZnS filminin (a) temel soğurma spektrumu, (b) $(\alpha h\nu)^2 - h\nu$ değişimi. ....	46
Şekil 31. Sabit altlık sıcaklığı ( $500^{\circ}\text{C}$ ) ve S:Zn molar oranı 0,8 olarak üretilen ZnS filminin (a) temel soğurma spektrumu, (b) $(\alpha h\nu)^2 - h\nu$ değişimi. ....	47
Şekil 32. Sabit altlık sıcaklığı ( $500^{\circ}\text{C}$ ) ve S:Zn molar oranı 0,9 olarak üretilen ZnS filminin (a) temel soğurma spektrumu, (b) $(\alpha h\nu)^2 - h\nu$ değişimi. ....	48
Şekil 33. Sabit altlık sıcaklığı ( $500^{\circ}\text{C}$ ) ve S:Zn molar oranı 1,0 olarak üretilen ZnS filminin (a) temel soğurma spektrumu, (b) $(\alpha h\nu)^2 - h\nu$ değişimi. ....	49
Şekil 34. Sabit altlık sıcaklığı ( $500^{\circ}\text{C}$ ) ve S:Zn molar oranı 1,5 olarak üretilen ZnS filminin (a) temel soğurma spektrumu, (b) $(\alpha h\nu)^2 - h\nu$ değişimi. ....	49
Şekil 35. ZnS filmlerinin $E_g$ değerlerinin filmlerin S:Zn molar oranına bağlı değişimi ....	51
Şekil 36. S:Zn molar oranı 0,9 olan farklı altlık sıcaklıklarında üretilen ZnS ince filmlerinin ( $Z_2$ ), x-ışınları kırınım desenleri ((a) $300^{\circ}\text{C}$ , (b) $350^{\circ}\text{C}$ , (c) $400^{\circ}\text{C}$ , (d) $450^{\circ}\text{C}$ , (e) $500^{\circ}\text{C}$ , (f) $550^{\circ}\text{C}$ ). ....	53
Şekil 37. S:Zn molar oranı 0,9 olan farklı altlık sıcaklıklarında üretilen ZnS ince filmlerinin ( $Z_2$ ) yüzey mikrografları ((a) $300^{\circ}\text{C}$ , (b) $350^{\circ}\text{C}$ , (c) $400^{\circ}\text{C}$ , (d) $450^{\circ}\text{C}$ , (e) $500^{\circ}\text{C}$ , (f) $550^{\circ}\text{C}$ ). ....	54
Şekil 38. Sabit altlık sıcaklığında ( $500^{\circ}\text{C}$ ) üretilen ZnS filmlerinin ( $Z_2$ ) farklı altlık sıcaklıklarında ve hava ortamında 5 dakikalık tavlama işlemi sonucunda çekilmiş x-ışınları kırınım desenleri ((a) $300^{\circ}\text{C}$ , (b) $350^{\circ}\text{C}$ , (c) $400^{\circ}\text{C}$ , (d) $450^{\circ}\text{C}$ , (e) $500^{\circ}\text{C}$ ). ....	56
Şekil 39. Sabit altlık sıcaklığında ( $500^{\circ}\text{C}$ ) üretilen ZnS filmlerinin ( $Z_2$ ) farklı altlık sıcaklıklarında ve hava ortamında 5 dakikalık tavlama işlemi sonucunda çekilmiş yüzey mikrografları ((a) $300^{\circ}\text{C}$ , (b) $350^{\circ}\text{C}$ , (c) $400^{\circ}\text{C}$ , (d) $450^{\circ}\text{C}$ , (e) $500^{\circ}\text{C}$ ). ....	57
Şekil 40. S:Zn molar oranı 0,9 olan ZnS ( $Z_2$ ) ince filmleri özdirenç değerlerinin altlık sıcaklıklarına bağlı değişimi.....	58
Şekil 41. S:Zn molar oranı 0,9 olan ZnS filmleri ( $Z_2$ ) özdirenç değerlerinin farklı tavlama sıcaklıklarına bağlı değişimi.....	59

## **ÇİZELGELER DİZİNİ**

### **Sayfa No**

Çizelge 1. Katıların değişik parametrelere göre sınıflandırılması .....	2
Çizelge 2. Bazı katkı atomlarının Ge ve Si yarıiletkenleri içerisindeki iyonlaşma enerjileri	7
Çizelge 3. Oda sıcaklığında bazı II-VI-grup yarıiletkenlerindeki elektron ve delik mobiliteleri ile saçılma zamanları .....	12
Çizelge 4. Bazı II-VI grubu yarıiletken bileşiklerinin yapısal ve optik özellikleri (*: düşük sıcaklık değerini gösterir).....	24
Çizelge 5. Çözelti molariteleri ve kullanılan tuz kütleleri (a: 0,04 Molar' ı temsil etmektedir). .....	31

## SEMBOLLER DİZİNİ

$a, c$  : Örgü sabitleri

$d$  : Film kalınlığı

$d$  : Düzlemler arası mesafe

$E$  : Elektrik alan

$E_c$  : İletkenlik bandı alt enerji değeri

$E_g$  : Yasak enerji aralığı

$E_P$  : Fonon enerjisi

$E_{gi}$  : Dolaylı yasak band enerji aralığı

$E_f$  : Özden yarıiletken Fermi enerji seviyesi

$E_{eks}$  : Eksiton bağlanması enerjisi

$E_k$  : Katkılı atom enerji seviyesi

$E_v$  : Valans bandı maksimum enerji değeri

$h$  . Planck sabiti

$J_e$  : Elektron akım yoğunluğu

$J_h$  : Delik akım yoğunluğu

$k$  : Boltzman sabiti

$k_e$  : Elektron dalga vektörü

$k_h$  : Delik dalga vektörü

$m_e^*$  : Elektron etkin kütlesi

$m_h^*$  : Delik etkin kütlesi

$n$  : Birim hacimdeki taşıyıcı yoğunluğu

$n_e$  : T sıcaklığında yarıiletkendeki elektron yoğunluğu

$n_o$  : Özden yarıiletkenlerde elektron yoğunluğu

$n_i$  : Özden yarıiletkenlerde taşıyıcı yoğunluğu

$N_a$  : Akseptör yoğunluğu

$N_c$  : İletkenlik bandındaki elektron etkin durum yoğunluğu

$N_d$  : Donor yoğunluğu

$N_v$  : Valans bandındaki delik etkin durum yoğunluğu

$p_h$  : T sıcaklığında yarıiletkendeki delik yoğunluğu

$p_o$  : Özden yarıiletkendeki delik yoğunluğu

$q$ : Fonon dalga vektörü

$R$ : Yansıma katsayısı

$T$ : Geçirgenlik katsayısı

$v_e$  : Elektron sürüklendirme hızı

$v_h$  : Delik sürüklendirme hızı

$\Delta E_a$  : Akseptör atomlar iyonlaşma enerjisi

$\Delta E_d$  : Donor atomları iyonlaşma enerjisi

$\alpha$  : Hekzagonal faz

$\beta$  : Kübik faz

$\sigma$  : Öziletkenlik katsayısı

$\sigma_i$  : Özden yarıiletken öziletkenliği

$\sigma_k$  : Katkılı yarıiletken öziletkenliği

$\tau_e$  : Elektron saçılma zamanı

$\tau_h$  : Delik saçılma zamanı

$\nu$  : Frekans

$\nu_{fn}$  : Fonon frekansı

$\epsilon_o$  : Serbest uzayın dielektrik sabiti

$\epsilon$  : Yarıiletken dielektrik sabiti

$\mu_e$  : Elektron mobilitesi

$\mu_f$  : Fonon mobilitesi

$\mu_h$  : Delik mobilitesi

$\mu_k$  : Katkı atomları mobilitesi

## **1.GENEL BİLGİLER**

### **1.1. Giriş**

Diyot, transistör ve fotovoltaik güneş pillerinin temelini oluşturan yarıiletkenler günlük hayatımızda yaygın olarak kullanılmaktadır. Elektrik ve optik özellikleri bakımından iletken ve yalıtkanlardan ayrılan yarıiletkenlerin en belirgin karakteristik özelliklerinden biri sıcaklık artışıyla özdirençlerinin azalmasıdır. Metallerde ise durum tamamen tersinedir [1].

Çinkosülfür ( $ZnS$ ) periyodik tabloda yer alan II. gruptan çinko ile VI. gruptan sülfürün kimyasal bileşimi sonucunda oluşmuş ikili bir yarıiletken bileşiktir. Çinkosülfür toprak alkali sülfürler gibi fosferesans özelliğine sahip olup görünmeyen işinlarla dahi aynı özelliği gösterdiginden radyoaktif parçalanma ürünlerini ve röntgen işinlarını görünürlük hale getirmesinde, değişik optoelektronik aletlerinde ve güneş pillerinde kullanılmaktadır. Saat ibre ve kadranlarının görünür hale getirilmesi  $ZnS$  içerisinde on binde bir oranında radyum klorür katımı ile sağlanır [2].  $ZnS$  ikili bileşiği sülfürler içerisinde beyaz renkte olan tek yarıiletken bileşiktir [3].

$ZnS$  yasak enerji aralığı oda sıcaklığında 3,5-3,7 eV olup hekzagonal ve kübik yapıda kristalleşir.  $T = 0^{\circ}\text{K}$  de ise  $ZnS$  in yasak enerji aralığı 3,84 eV' dur [4].  $ZnS$  yarıiletken bileşiği, kimyasal püskürtme, iyonik püskürtme, tek kaynaktan buharlaştırma, lazerle buharlaştırma, sıvı fazdan çökeltme yöntemleriyle elde edilebilir [5]. Kimyasal püskürtme yönteminin ucuz ve basit olması, ayrıca optik olarak düzgün ve homojen büyük yüzey alanlı filmler üretilmesine imkan vermesi bu yöntemi ilgi çekici yapmaktadır.

Bu çalışmanın amacı, kimyasal püskürtme yöntemi kullanılarak üretilen  $ZnS$  filmlerinin yapısal, elektriksel ve optik özelliklerini, bileşim oranı, altlık sıcaklığı, püskürtme hızı ve tavlama sıcaklığı gibi değişik parametrelere bağlı olarak inceleyip en uygun film ve film üretim şartlarının belirlenmesidir.

### **1.2. Yarıiletkenler Hakkında Genel Bilgi**

Yarıiletkenler fiziksel özellikleri bakımından farklı olan tek ve çok kristalli (polikristal) olarak iki ana grupta incelenebilir. Bugün özellikleri en iyi bilinen

yarıiletkenler ; Si, Ge, GaAs, ve  $\alpha$ -Sn (gri kalay)'dır. Si ve Ge genellikle elementel yarıiletkenler olarak bilinmektedir [6]. Bu yarıiletkenlerden başka farklı yöntemlerle elde edilen bileşik kristal adını verdığımız III-V ve II-VI gibi ikili ve I-III-VI ve II-IV-V gibi üçlü veya dörtlü yarıiletken kristaller de mevcuttur.

Katılar, elektriksel ve optik özellikleri bakımından iletken, yarıiletken ve yalıtkanlara ayrılmaktadır. Çizelge 1' de oda sıcaklığında metal, yarımetal, yarıiletken, süperiletken (düşük sıcaklıkta) ve yalıtkan katıların iletkenlik ( $\sigma$ ), yasak enerji aralığı ( $E_g$ ) ve taşıyıcı yoğunlukları ( $n$ ) verilmektedir [7].

Çizelge 1. Katıların değişik parametrelerine göre sınıflandırılması

Katı Tipi	$\sigma$ (1/ $\Omega$ cm)	$E_g$ (eV)	$n$ (cm $^{-3}$ )	Örnek
Süperiletken	$>10^{10}$	-	-	Pb,YBa <sub>2</sub> Cu <sub>3</sub> O <sub>7</sub>
Metal	$10^5$ - $10^{10}$	-	$10^{22}$	Au,Cu,Pb,Ag
Yarımetal	$10^2$ - $10^5$	$E_g \leq 0$	$10^{17}$ - $10^{21}$	Grafit (C), HgTe
Yarıiletken	$10^{-9}$ - $10^2$	$0 < E_g < 4$	$<10^{17}$	Si,Ge,GaAs,ZnS
Yalıtkan	$<10^{-9}$	$E_g \geq 4$	$\ll 1$	Kuvars (SiO <sub>2</sub> )

Mutlak sıfır sıcaklığında (0K) bulunan bir yarıiletkenin sıcaklığı artırıldığında valans bandındaki bir elektron, en az bu yarıiletkenin yasak enerji aralığının enerji değerine eşit veya ondan büyük bir termal enerji kazandığında, valans bandında yerine bir delik bırakarak iletkenlik bandına geçer. İletkenlik bandına geçen elektron iletim elektronu adını alır. Pozitif yüklü olduğu kabul edilen delikler valans bandı içerisinde boş kuantum durumlarını meydana getirirler. Valans bandındaki bu boş kuantum durumları komşu atomlardan bir elektron alarak birleşirler ve bu elektronlar geldikleri yerlerde yeni bir delik oluştururlar. Bu durum devam ettiği sürece delikler valans bandı içerisinde serbest bir taşıyıcı gibi hareket ederek iletkenliğe katkıda bulunurlar. Elektronlar ve delikler yüklü olmaları nedeniyle elektrik alandan etkilenirler.

Yarıiletkenlerin yasak enerji aralığının yanında bir diğer, belki de en önemli özelliği içeresine katkılanan uygun katkı atomları ile elektrik ve optik özelliklerinin büyük ölçüde değişim göstermesidir.

### 1.2.1. Yarıiletken Türleri

Yarıiletkenler katkı durumlarına göre iki ana grupta incelenmektedir. Özden yarıiletkenlerde, iletkenlik bandındaki serbest elektronların konsantrasyonu ile valans bandındaki serbest deliklerin konsantrasyonları eşittir. İçerisinde belirli oranlarda katkı içeren yarıiletkenlere de katkılı yarıiletkenler denir.

#### 1.2.1.1. Özden Yarıiletkenler

Oda sıcaklığında bulunan bir özden yarıiletkende iletkenlik bandındaki elektron yoğunluğu ( $n_0$ ), valans bandındaki delik yoğunluğununa ( $p_0$ ) eşit olup çarpımları sabittir. Bu,

$$n_0 p_0 = n_i^2(T) \quad (1)$$

şeklinde ifade edilir. Burada  $n_i(T)$  özden yarıiletkenler için taşıyıcı yoğunluğu olup sıcaklığa kuvvetli bir biçimde bağlıdır. Aynı zamanda  $n_i$ ; etkin kütle ve yasak enerji aralığına,

$$n_i(T) = 2 \left[ \frac{2\pi(m_e^* m_h^*)^{1/2} kT}{h^2} \right]^{3/2} e^{-E_g/2kT} \quad (2)$$

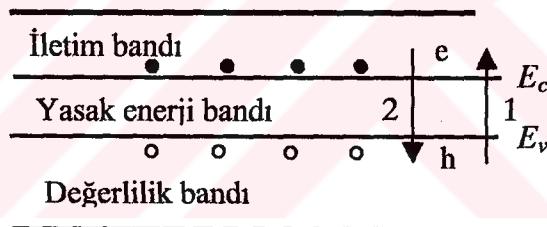
ifadesiyle bağlıdır [8]. Burada  $E_g$ , (yasak enerji aralığı), iletim bandının minimumu ile valans bandının maksimumu arasındaki enerji farkıdır.  $m_e^*$  ve  $m_h^*$  sırasıyla elektron ve deliklerin etkin kütleleridir. Verilen bir yarıiletken için yasak enerji aralığı ve etkin kütle hemen hemen sabit olarak alındığında  $n_i$  sadece sıcaklığa bağlıdır. Özden yarıiletkenlerde Fermi enerji seviyesi denklem (3) ile verilir:

$$E_f = \frac{1}{2}(E_c + E_v) + kT \ln(m_h^*/m_e^*)^{3/4} \quad (3)$$

Burada  $E_c$  ve  $E_v$  sırasıyla iletkenlik bandı alt enerji değeri ile valans bandı maksimum enerji değerleridir. Eğer  $m_e^*=m_h^*$  ise, özden yarıiletkenler için Fermi enerji seviyesi denklem (4) ile verilir:

$$E_{fi} = \frac{1}{2} (E_c + E_v) \quad (4)$$

Bu ifadeye göre özden yarıiletkenlerde Fermi enerji seviyesi yasak enerji aralığının ortasında yer almaktadır. Şekil 1' de özden yarıiletkenlerin enerji band diyagramı ve elektron delik oluşturma şekilleri verildi [9]. Isı enerjisinin etkisiyle kristaldeki atomlar arası bağlar kopabilir ve bu bağın elektronu serbest kalabilir. Atomlar arası bağdan elektronun yerinde boşluk meydana gelir ve bu boşluğa delik denir. Bu olay elektron delik çiftlerinin oluşması olarak tanımlanır [1]. Yarıiletkenlerde bu olayın tersine elektron delik çiftlerinin birleşmesi (rekombinasyonu) denir. Şekil 1' de bu iki olay sırasıyla (1) ve (2) ile temsil edilmiştir.

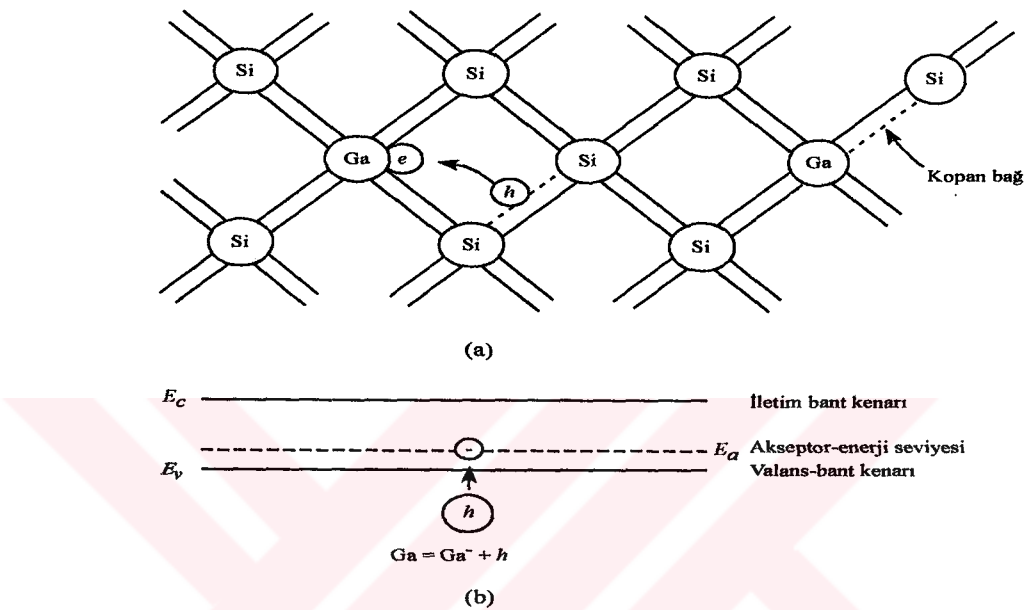


Şekil 1. Özden yarıiletkenlerin enerji band diyagramının şematik görünümü

### 1.2.1.2. Katkılı Yarıiletkenler

Katkılı yarıiletkenler, katkı atomlarının cinsine göre iki kısımda incelenir. Örneğin özden Si kristali içine belirli oranlarda ve belirli şartlarda Periyodik Tablo'nun III-grup elementlerinden biri (Galyum, Ga) katkılantığında, III-grup atomunun en yakın dört Si atomu ile kovalent bağ yapabilmesi için bir elektrona daha ihtiyacı vardır. Bu eksik elektron örgüdeki Si atomundan alınır. Böylece Si kristali içerisinde bir delik fazlalığı meydana gelir. Son yörüngeindeki elektron sayısını dörde tamamlayarak kararlı hale

gelen III-grup atomuna alıcı anlamına gelen akseptör adı verilmiştir. Bundan dolayı akseptör içeren yarıiletkenlere p-tipi yarıiletken denir. Bu yarıiletkenlerde delik yoğunluğu elektron yoğunluğundan büyük olduğundan elektriksel iletkenliğe en büyük katkı deliklerden gelir. p-tipi Si yarıiletkenler için bağ örgüsü ve akseptör enerji seviyeleri Şekil 2' de verilmektedir [9].

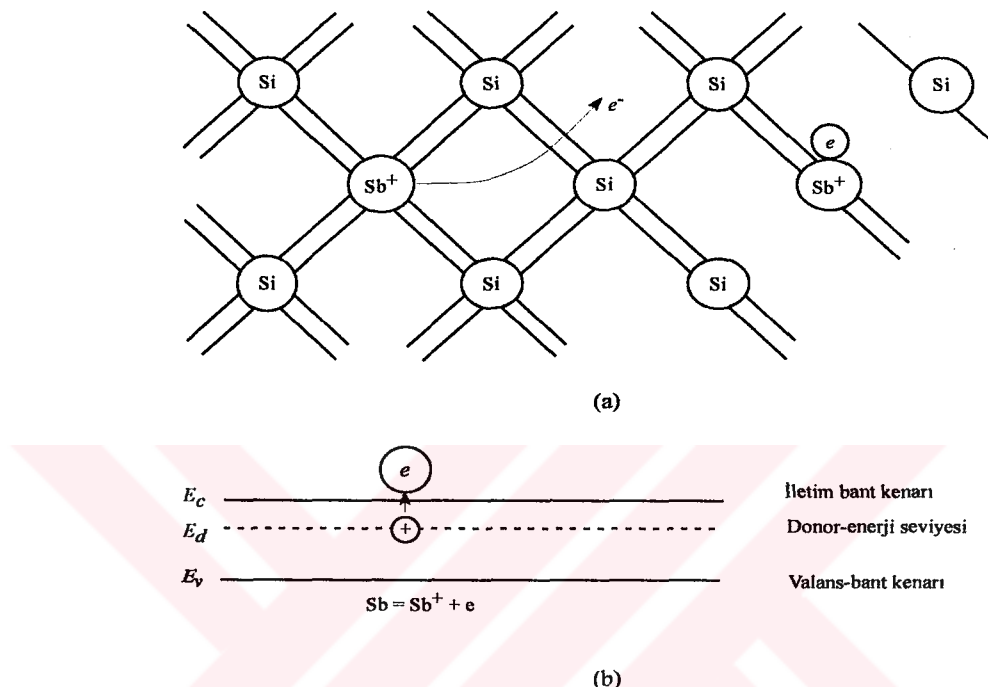


Şekil 2. Galyum katkılı p-tipi silisyum yarıiletkeninin (a) kovalent bağ örgüsü, (b) 300 K'de akseptör seviyelerinin şematik gösterimi.

Akseptör atomlarının enerji seviyeleri Şekil 2' de görüldüğü gibi yasak enerji aralığının içerisinde ve valans bandının üst kenarına yakın bir yerde bulunmaktadır. Akseptör atomlarının iyonlaşma enerjilerinin küçük olması nedeniyle oda sıcaklığında hemen hemen bütün akseptör atomları iyonlaşır.

Özden silisyum kristali içerisinde periyodik tablonun V-grup elementlerinden biri (antimon, Sb) katkıldığında n tipi silisyum yarıiletkeni elde edilir. V-grup elementlerinin son yörüngesinde beş valans elektronu bulunmaktadır. Bu beş elektronun dördü Si atomları ile kovalent bağ yapmada kullanılır ve beşinci elektron zayıf bağlı olduğundan kolayca iyonlaşır. Bu elektron kristal içerisinde serbestçe dolaşarak elektron fazlalığı meydana getirir. Bu V- grup atomlarına verici anlamına gelen donor adı verilir. Donor atomları içeren yarıiletkenlere n-tipi yarıiletken denir. Donor enerji seviyeleri yasak enerji aralığının

îçerisinde iletkenlik bandının alt kenarına yakın bir yerde bulunur. Donor atomlarında da iyonlaşma enerjileri çok düşük olduğundan hemen hemen bütün donor atomları oda sıcaklığında iyonlaşır. Şekil 3' te n-tipi silisyum yarıiletkeninin kovalent bağ örgüsü ve donor enerji seviyeleri verilmektedir [9].



Şekil 3. Antimon katkılı n-tipi Si yarıiletkeninin (a) kovalent bağ örgüsü, (b) 300  $^0\text{K}$  de donor enerji seviyelerinin şematik gösterimi.

Katkılı yarıiletkenlerde donor ve akseptör atomlarının iyonlaşma enerjileri  $\Delta E_d$  ve  $\Delta E_a$  (eV) sırasıyla (5) ve (6) ifadeleriyle verilir [9]:

$$\Delta E_d = -13,6 \left( \frac{m_e^*}{m_e} \right) \left( \frac{\epsilon_0}{\epsilon} \right)^2 \frac{1}{n_q^2} \quad (5)$$

$$\Delta E_a = -13,6 \left( \frac{m_h^*}{m_h} \right) \left( \frac{\epsilon_0}{\epsilon} \right)^2 \frac{1}{n_q^2} \quad (6)$$

Bu ifadelerde  $n_q$ , 1,2,3.. gibi başkuantum sayılarını  $\epsilon_0$  ve  $\epsilon$  ise sırasıyla serbest uzayın ve yarıiletkenin dielektrik sabitlerini göstermektedir. Akseptör seviyeleri, çok büyük etkin delik kütelerinden dolayı donor seviyelerinden daha yüksek iyonlaşma enerjisine sahiptirler. (Çizelge 2).

Çizelge 2. Bazı katkı atomlarının Ge ve Si yarıiletkenleri içerisindeki iyonlaşma enerjileri (eV).

Donor	Ge	Si	Akseptör	Ge	Si
P	0,012	0,044	B	0,010	0,045
As	0,013	0,049	Al	0,010	0,057
Sb	0,0096	0,039	Ga	0,011	0,065
Bi	-	0,067	In	0,011	0,16

n-tipi yarıiletkenlerde Fermi enerji seviyesi iletkenlik bandına doğru kayarak bu tür yarıiletkenlerde elektron yoğunluğu delik yoğunluğundan büyük olur. Bu yarıiletkenlerde elektronlar çoğunlukta olduğu için çoğunluk yük taşıyıcıları ve delikler de azınlıkta olduğu için azınlık yük taşıyıcıları adını alır. Katkılı yarıiletkenler için Fermi enerji seviyesi,

$$E_f = E_{fi} + kT \sinh^{-1} \left( \frac{N_d - N_a}{2n_i} \right) \quad (7)$$

şeklinde verilir. Burada  $N_d$  ve  $N_a$  sırasıyla donor ve akseptör yoğunluğunu göstermektedir. Eğer,  $N_d - N_a$  net katkı yoğunluğu  $n_i$  den çok büyük ise termal olarak uyarılmış yük taşıyıcılarının sayısı toplam taşıyıcı sayısı ile karşılaştırıldığında küçük olacaktır. Bu durumda (7) ifadesindeki ters hiperbolik terimin yerine yaklaşık olarak  $\pm \ln \left( \frac{N_d - N_a}{n_i} \right)$  terimi yazılarak katkılı yarıiletkenler için Fermi enerji seviyesi (8) ifadesi ile yazılabilir:

$$E_f = E_{fi} \pm kT \pm \ln \left( \frac{N_d - N_a}{n_i} \right) \quad (8)$$

Katkılı yarıiletkenlerde net katkı yoğunluğuna ve sıcaklığa bağlı olarak Fermi enerji seviyesi n-tipinde iletkenlik bandına, p-tipinde valans bandına daha yakın bir konumda bulunur.

### 1.3. Yarıiletkenlerin Elektriksel Özellikleri

Bilimsel çalışmalarında ve elektronik endüstrisinde yarıiletkenlerin kullanım alanlarına göre elektrik özelliklerinin bilinmesi gereklidir.

#### 1.3.1. Elektriksel İletkenlik

Yarıiletkenler metallere göre zayıf, yalıtkanlara göre daha iyi iletkenlerdir. Yarıiletkenlerin, metallere göre elektriği zayıf iletmesinin nedeni taşıyıcı yük yoğunluğunun daha az olmasındandır. T (K) sıcaklığındaki bir yarıiletkenin elektron ve delik yoğunlukları sırasıyla

$$n_e = N_c \exp[-(E_c - E_f)/kT] \quad (9)$$

$$p_h = N_v \exp[-(E_f - E_v)/kT] \quad (10)$$

ifadeleriyle verilir. Burada  $N_c$ ,  $N_v$  sırasıyla iletkenlik bandındaki elektronların ve valans bandındaki deliklerin etkin durum yoğunluklarını göstermektedir [8]. E elektrik alanı uygulanan bir yarıiletkende elektron ve deliklerin meydana getirdiği akım yoğunlukları,

$$J_e = -en_e v_e \quad (11)$$

$$J_h = ep_h v_h \quad (12)$$

ile verilir. Burada  $-e$ ,  $n_e$ ,  $v_e$ ,  $+e$ ,  $p_h$  ve  $v_h$  sırasıyla elektron ve deliklerin yükünü, yük yoğunluklarını ve kristal içerisindeki sürüklendirme hızlarını göstermektedir.

Bir yarıiletkenin toplam akım yoğunluğunun büyüklüğü  $J$ ,

$$J = e(n_e \mu_e + p_h \mu_h)E \quad (13)$$

ifadesi ile verilir. Burada  $E$ , elektrik alan olmak üzere  $\mu_e$  ve  $\mu_h$  sırasıyla elektron ve deligin mobiliteslerini göstermektedir. Buna göre elektriksel iletkenlik  $\sigma$ ,

$$\sigma = e(n_e \mu_e + p_h \mu_h) \quad (14)$$

ile verilir. Bu ifadeden yarıiletkenlerin elektriksel iletkenliğinin yük taşıyıcılarının yoğunluğuna ve mobilitesine bağlı olduğu görülmektedir. Özden yarıiletkenlerde  $n_e = p_h = n_i$  olduğundan elektriksel iletkenlik,

$$\sigma_i = e n_i (\mu_e + \mu_h) \quad (15)$$

şeklinde verilir. Eğer denklem (15)' teki  $n_i$  yerine denklem (2)' deki eşiti yazılırsa,

$$\sigma_i = 8,85 \times 10^{47} (\mu_e + \mu_h) (m_e^* m_h^*)^{3/4} T^{3/2} \exp[-E_g/2kT] \quad (16)$$

ifadesi elde edilir. Bu ifadede  $\exp[-E_g/2kT]$  teriminin dışındaki diğer terimlerin tümüne  $\sigma_{oi}$  dersek (16) ifadesi,

$$\sigma_i = \sigma_{oi} \exp[-E_g/2kT] \quad (17)$$

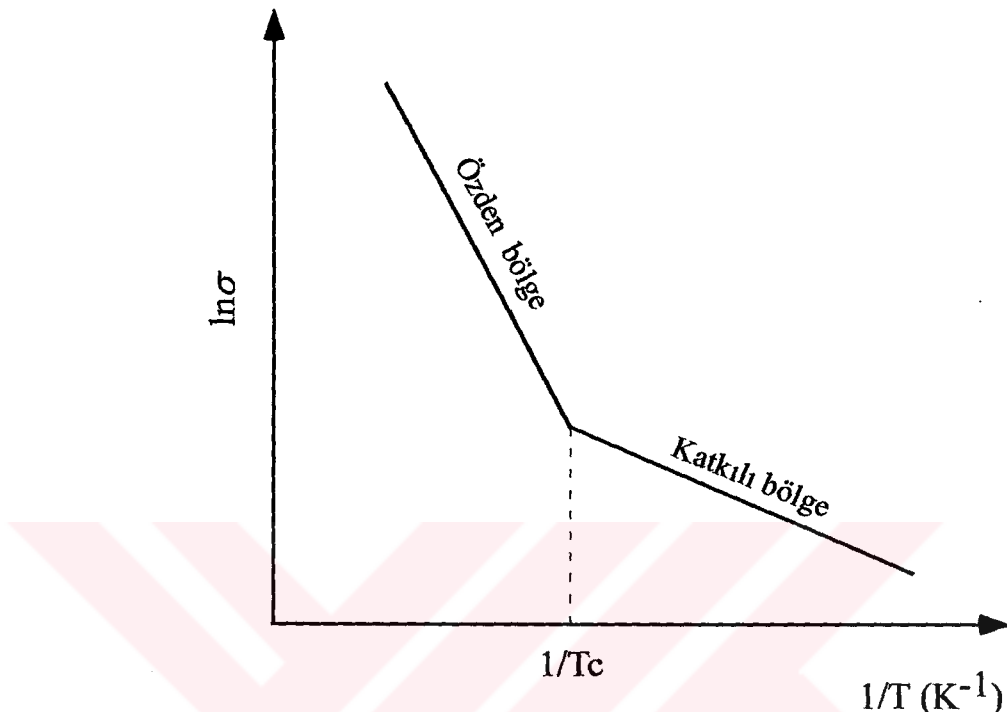
şeklinde yazılabılır. Yarıiletkenlerde iletkenliğin, sıcaklığın tersine göre değişim grafiği Şekil 4 ile verilir. Katkılı yarıiletkenlerde katkı atomlarının enerji seviyesi  $E_k$  ise, elektriksel iletkenlik  $\sigma_k$ ,

$$\sigma_k = \sigma_{ok} \exp[-E_k/kT] \quad (18)$$

şeklinde verilir [10]. Burada  $\sigma_{ok}$  bir sabittir. Yarıiletkenler için toplam elektriksel iletkenlik ( $\sigma_i$ ) genelde,

$$\sigma_i = \sigma_{oi} \exp[-E_g/2kT] + \sigma_{ok} \exp[-E_k/2kT] \quad (19)$$

şeklinde yazılabilir. Burada  $E_g$  ve  $E_k$  farklı sıcaklık bölgelerinde farklı büyülüklere sahip olduklarıdan, düşük sıcaklıklarda (19) ifadesinin sağ tarafındaki ikinci terim, yüksek sıcaklıklarda ise birinci terim baskın olacaktır [10].



Şekil 4. Yarıiletkenlerde iletkenliğin, sıcaklığın tersine göre değişimi.

Şekil 4'te,  $T_c$  kritik sıcaklığının üzerindeki bir değerde, katkılamalanmış yük taşıyıcılarının yoğunluğununda bir artış olmayacağından, bu sıcaklık değerine ulaşıldığında yarıiletkenin özden iletkenliği etkin duruma geçer[11]. Buna göre düşük sıcaklıklarda kataklı, yüksek sıcaklıklarda ise özden iletkenlik önemli olmaya başlar. Şekil 4'teki  $T_c$ , kataklı bölgeden özden bölgeye geçiş sıcaklığıdır [12].

### 1.3.2. Mobilite (Hareketlilik)

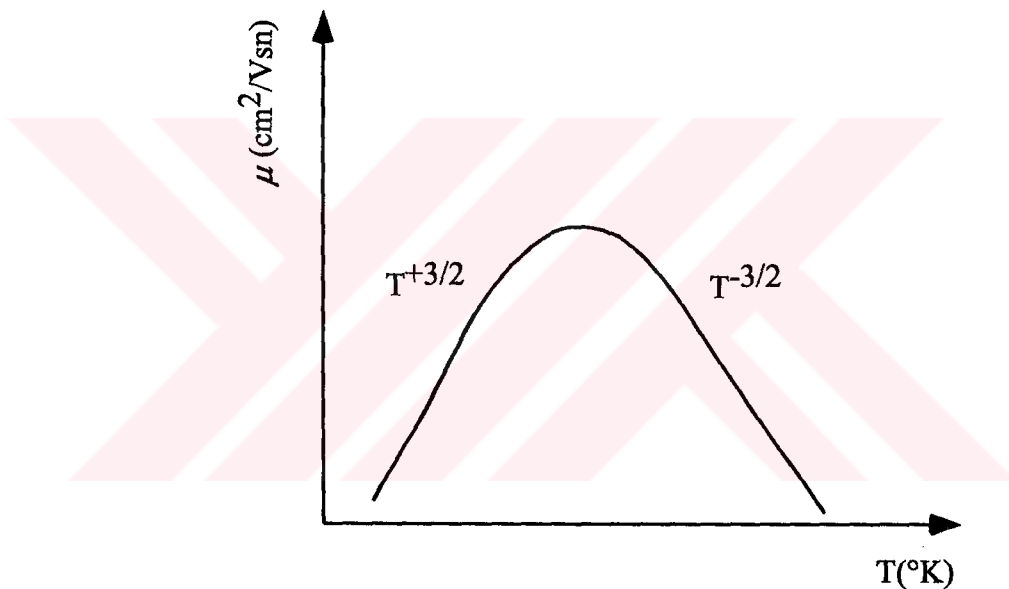
Mobilite, birim elektrik alan başına yüklü parçacığın hızı olarak tanımlanır. Yarıiletkenlerde elektron ve delik mobiliteleri denklem (20) ile verilir.

$$\mu_e = v_e/E, \quad \mu_h = v_h/E \quad (20)$$

Ge ve Si gibi polar olmayan yarıiletkenlerde akustik fononların ve iyonlaşmış katkı atomlarının varlığı, mobiliteyi önemli ölçüde etkiler. Bu durumda mobilite,

$$\frac{1}{\mu} = \frac{1}{\mu_f} + \frac{1}{\mu_k} \quad (21)$$

kombinasyonu biçiminde verilir. Burada  $\mu_f$  fonon  $\mu_k$  ise katkı mobilitelerini göstermektedir [13]. İyonlaşmış katkı atomlarından mobiliteye gelen katkı, düşük sıcaklıklarda daha baskın olmaktadır. Çünkü düşük sıcaklıklarda atomlar daha az titreşim hareketi yapacaklar ve böylece akustik fonon saçılmasından gelen katkı daha az önemli olacaktır (Şekil 5).



Şekil 5. Mobilitenin sıcaklığa göre değişim grafiği.

Mobilite, akustik fonon ( $\mu_f$ ) saçılması için, sıcaklığa  $T^{-3/2}$ , katkı saçılması ( $\mu_k$ ) için ise  $T^{3/2}$  şeklinde bağlıdır. Kataklı yarıiletkenlerde, katkı atomları konsantrasyonlarının artmasıyla, yük taşıyıcılarının ortalama serbest yollarının azalması neticesinde, mobilite azalır. Çizelge 3’ te oda sıcaklığında II-VI-grup yarıiletkenlerinin elektron ve delik mobiliteleri ( $\mu_e, \mu_h$ ) ile saçılma zamanları ( $\tau_e, \tau_h$ ) verilmektedir [7].

**Çizelge 3. Oda sıcaklığında bazı II-VI-grup yarıiletkenlerindeki elektron ve delik mobiliteleri ile saçılma zamanları**

Grup	Malzeme	$\mu_e$ ( $10^4 \text{cm}^2/\text{Vsn}$ )	$\tau_e$ (ps)	$\mu_h$ ( $10^4 \text{cm}^2/\text{Vsn}$ )	$\tau_h$ (ps)
II-VI	ZnS (c)	0,020	0,039	0,001	0,010
	ZnO	0,015	0,024	-	-
	ZnSe (c)	0,052	0,047	0,003	0,013
	CdS (c)	0,030	0,024	0,002	0,006
	ZnTe	0,033	0,023	0,080	0,273
	CdSe (c)	0,055	0,034	0,002	0,005
	CdTe	0,100	0,055	0,006	0,022

#### 1.4. Yarıiletkenlerde Band Geçişleri

Yarıiletkenlerde band geçişleri, valans bandından iletkenlik bandına elektron geçiş durumlarına göre doğrudan ve dolaylı olmak üzere iki gruba ayrılır. Yasak enerji aralığı ve band geçiş tiplerinin belirlenmesinde en kesin sonucu optik yöntemler verir.

##### 1.4.1. Doğrudan Band Geçişleri

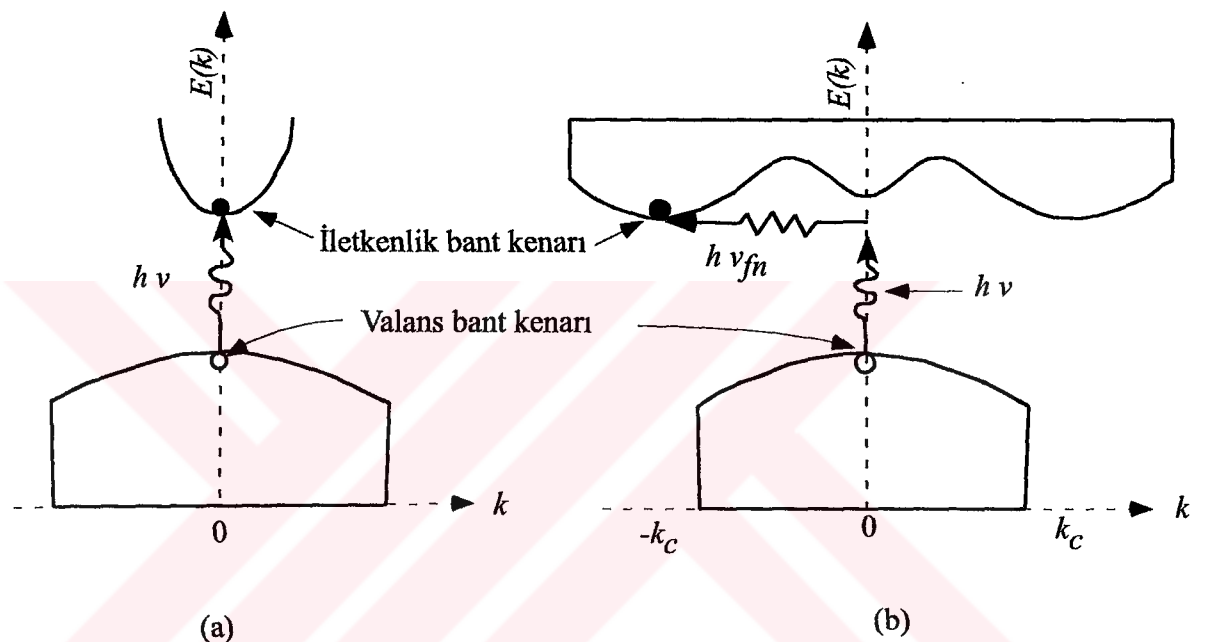
Doğrudan band yapılı yarıiletkenlerde iletkenlik bandının en alt noktası ile valans bandının üst kenarı enerji-momentum uzayında  $k=0$  değerinde bulunmaktadır. Doğrudan band yapısı şematik olarak Şekil 6.a' da verilmektedir. Doğrudan band yapılı yarıiletkenlerde bir valans elektronu, enerjisi en az yasak enerji aralığının değerine eşit veya ondan daha büyük bir fotonu ( $\hbar\nu \geq E_g$ ) soğurma ile iletkenlik bandına geçer. Bu geçişte elektronlar dalga vektörlerini değiştirmezler ve  $k=0$  da momentum korunur. Bu,

$$\hbar k_e + \hbar k_h = 0 \quad (22)$$

ifadesi ile verilir. Burada  $k_e$  ve  $k_h$  elektron ve deliklerin dalga vektörleri,  $\hbar k_e$  ve  $\hbar k_h$  ise elektron ve deliklerin kristal içerisinde sahip oldukları kristal momentumlarıdır. Doğrudan geçişte frekansı  $\nu$  olan bir fotonun enerjisi,

$$\hbar v = E_e - E_h \geq E_c - E_V \quad (23)$$

birimde verilir. Burada  $E_e$ ,  $E_h$  sırasıyla elektron ve deliklerin iletkenlik ve valans bandları içerisindeki herhangi bir konumdaki enerjileri,  $E_c$ ,  $E_V$  ise  $k=0$  da iletkenlik bandının alt ve valans bandının üst enerji seviyeleridir. Doğrudan band geçişlerinde enerji korunmaktadır. ZnS, GaAs, CdS, CdSe ve InSb gibi yarıiletken malzemeler doğrudan band yapısına sahiptirler [14]. (Burada  $\hbar$  Planck sabiti ve  $\hbar = h/2\pi$ ).



Şekil 6. Yarıiletkenlerde (a) doğrudan, (b) dolaylı band geçişleri

#### 1.4.2. Dolaylı Band Geçişleri

Dolaylı band geçışı Si ve Ge yarıiletkenlerinde olduğu gibi, iletkenlik bandının minimumu ile valans bandının maksimumu enerji-momentum uzayında aynı  $k$  değerinde olmadığından görülür. Bu durumda valans bandından iletim bandına bir elektronun momentumunu koruyarak geçiş yapabilmesi için bir fononun soğurulması veya salınması gereklidir. Bu durumda momentum korunumu,

$$\hbar k = \hbar k_c \pm \hbar q = 0 \quad (24)$$

şeklinde verilir [4]. Burada  $q$  fononun dalga vektörü,  $k_c$  ise  $k$  uzayında valans bandının maksimumu ile iletim bandının minimumu arasındaki farktır. Dolaylı geçişte fotonun enerjisi,

$$hv = E_g \pm hv_{\text{fn}} \quad (25)$$

şeklinde yazılabilir. Burada  $hv_{\text{fn}}$  fononun enerjisi olup artı işaretli durumda fonon salınmakta, eksi işaretli durumda ise fonon soğrulmaktadır (Şekil 6.b).

## 1.5. Yarıiletkenlerde Soğurma (Absorpsiyon) Olayları

Genel olarak soğurma, bir malzemenin içerisindeki elektriksel yüklerin malzeme üzerine gelen elektromanyetik dalgalarla etkileşmesi sonucunda ortaya çıkan enerji kaybı olarak tanımlanmaktadır. Yarıiletken malzemelerde fotonların soğrulması dört farklı şekilde meydana gelir. Bunlar; temel soğurma, eksitonların soğurması, serbest yük taşıyıcılarının soğurması ve katkı atomlarının soğurması şeklinde sıralanabilir [15].

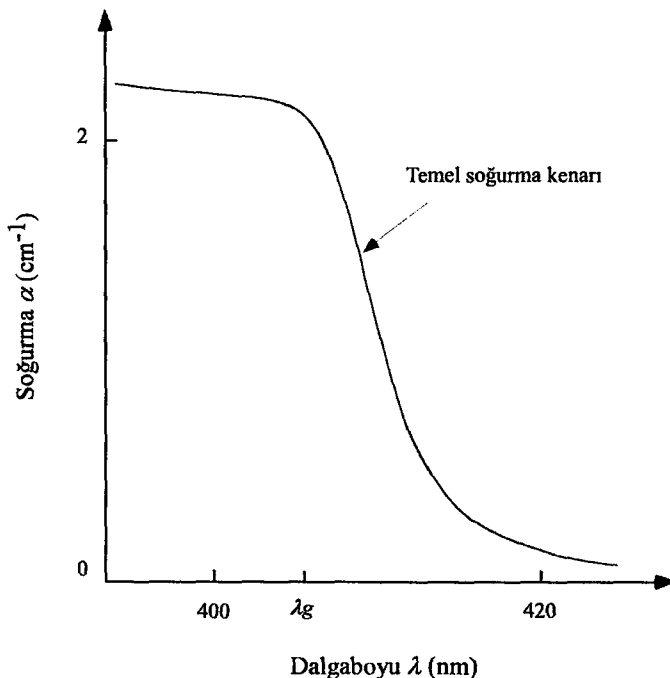
### 1.5.1. Temel Soğurma Olayı

Temel soğurma olayında, yarıiletken malzeme üzerine gelen bir fotonun enerjisi yarıiletkenin yasak enerji aralığına eşit veya ondan büyük olduğunda, bu foton yarıiletkenin değerlik bandındaki bir elektronu tarafından soğrularak bir elektron delik çifti oluşturulur. Böylece değerlik bandındaki bir elektron iletkenlik bandına geçer. Temel soğurma olayı Şekil 7' de görülmektedir. Temel soğurma olayında frekansı  $\nu$  olan bir fotonun enerjisi  $h\nu$  olmak üzere,

$$h\nu \geq E_g \quad (26)$$

veya,

$$\lambda_g \leq \frac{hc}{E_g} \quad (27)$$



Şekil 7. Yarıiletkenlerde temel soğurma olayı

olmalıdır. Buradaki  $\lambda_g$  yarıiletkenin yasak enerji aralığının enerji değerine karşılık gelen fotonun dalga boyunu ve  $c$  ışığın boşluktaki hızını göstermektedir. Soğurma katsayısı  $\alpha$ , doğrudan ve dolaylı band yapılı yarıiletkenlerde fotonun enerjisine sırasıyla denklem (28) ve (29) ifadelerinde verildiği gibi bağlıdır:

$$\alpha = [A(h\nu - E_g)^{1/2}] / h\nu \quad (28)$$

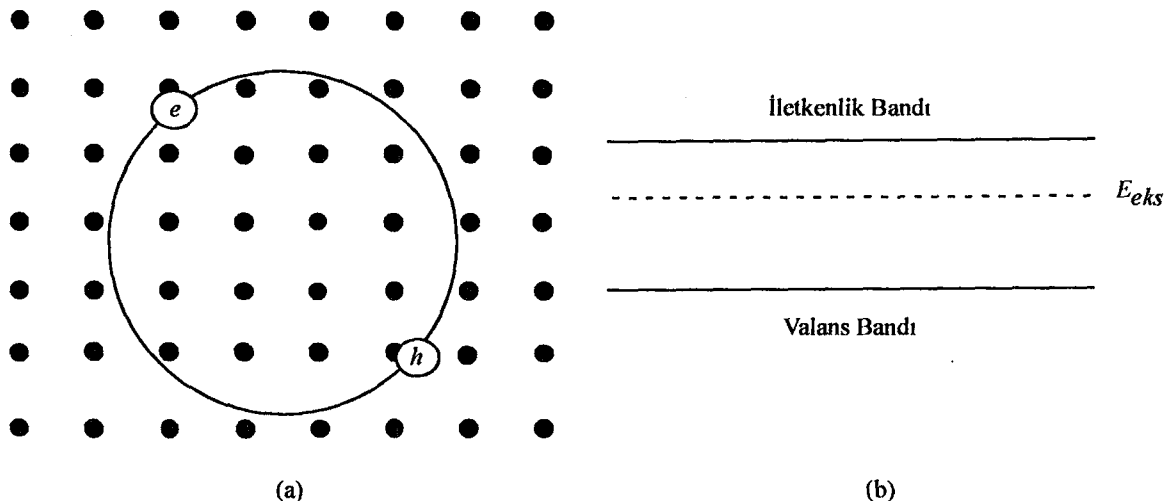
$$\alpha = B(h\nu - E_{gi} + E_p)^2 / [\exp(E_p/kT) - 1] \quad (29)$$

Bu ifadelerdeki  $A$  ve  $B$  fotonun enerjisinden bağımsız sabitler,  $E_p$  fononun enerjisi ve  $E_{gi}$  dolaylı band genişliğidir [16].

### 1.5.2. Eksitonların Soğurması

Yarıiletkenlerde iletkenlik bandındaki bir elektron ile valans bandındaki bir delik serbesttirler. Bu iki yük taşıyıcısı birbirlerine Coulomb kuvveti ile çekerler ve böylece aralarında bir bağ oluşturarak birbirlerinin etrafında dönerler. Bir eksiton, serbest bir

elektronla bir deliğin birbirine bağlanmasıından oluşur. Eksitonlar büyük bir mobiliteye sahiptir [17]. Eksiton ve onun enerji düzeyi Şekil 8' de şematik olarak verilmektedir.



Şekil 8. (a) Eksiton, (b) eksitonun enerji seviyesinin gösterimi [17].

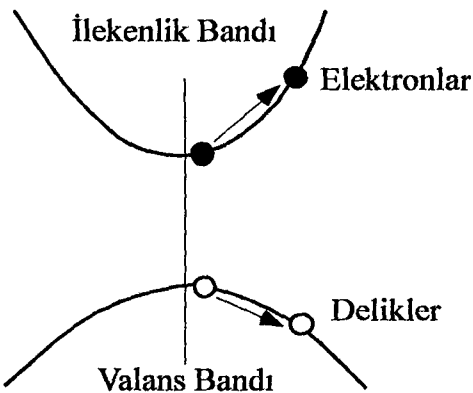
Eksiton soğurmasında gerekli fotonun enerjisi  $h\nu$ ,

$$h\nu = E_g - E_{eks} \quad (30)$$

ile verilir. Buradaki  $E_{eks}$  eksitonun bağlanma enerjisidir. İletkenlik band kenarının hemen altına yakın bölgede bulunan eksitonların iyonlaşma enerjileri düşük olup 0,01 eV civarındadır.

### 1.5.3. Serbest Yük Taşıyıcılarının Soğurması

Yarıiletkenlerde serbest yük taşıyıcıları olan elektron ve delikler bir banddan diğer banda uyarılmadan da fotonu soğurabilirler. Bu durum, gelen foton enerjisi  $h\nu \leq E_g$  olduğunda görülür ve bu enerji iletim bandındaki elektronun veya valans bandındaki deliğin aynı band içerisinde bulunan daha yüksek enerji düzeylerine uyarılmasını sağlar (Şekil 9).



Şekil 9. Serbest yük taşıyıcılarının soğurması

Serbest yük taşıyıcı soğurmasında bir fotonun enerjisi yasak enerji aralığı değerinden büyük olduğunda, aynı anda hem temel soğurma, hem de serbest yük taşıyıcı soğurması olayı meydana gelebilir [18].

#### 1.5.4. Katkı Atomlarının Soğurması

Katkı atomlarının soğurması, katkılama türüne ve katkı konsantrasyonuna bağlıdır. Katkılı yarıiletkenlere gelen foton enerjisi,  $E_g$ ' den küçük ise valans bandındaki bir elektron iletkenlik bandına uyarılamayacak ve bu fotonun alıcı ve verici atomlar tarafından soğurulma ihtimali artacaktır. Böylece katkı atomlarının iyonlaşması, soğurma tayflarında keskin pikler şeklinde görülür.

#### 1.6. ZnS Yarıiletken Filmlerinin Optik Özellikleri ve Yasak Enerji Aralığı

Yarıiletkenlerin yasak enerji aralıklarının belirlenmesinde bazı farklı yöntemler kullanılmaktadır. Bunlardan biri temel soğurma tayfindan  $(\alpha - \lambda)$  faydalananlarak çizilmiş  $(\alpha h\nu)^2$  nin  $h\nu$  ye bağlı değişim grafiğinden belirlenmesi yöntemi (optik yöntem), bir diğer de yüksek sıcaklıklarda özden bölgede, iletkenliğin sıcaklığın tersine göre çizilmiş  $(\ln \sigma - 1/T)$  grafiğinin eğiminden yararlanma yöntemidir [1].

Optik yöntemde, temel soğurma tayfindan elde edilen  $(\alpha h\nu)^2 - h\nu$  grafiğinin doğrusal kısmına çizilen teğetin  $h\nu$  eksinini kestiği noktanın enerji değeri, yarıiletken malzemenin yasak enerji aralığının değerini verir [14]. Yarıiletkenlerin yasak enerji

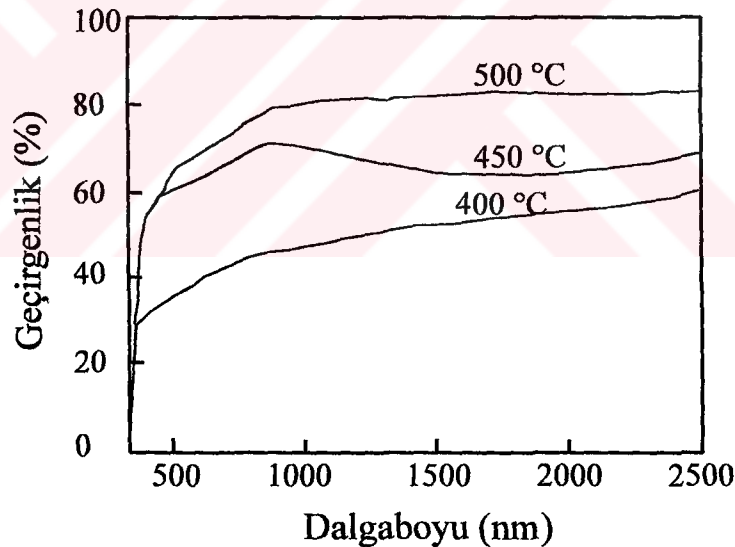
aralıklarının tayin edilmesinde optik yöntem yaygın olarak kullanılmaktadır. ZnS yarıiletken filmlerinin soğurma katsayısı  $\alpha$  ve soğurma göstergesi  $k$  (extinction coefficient), geçirgenlik ( $T$ ) ve yansima katsayısı ( $R$ ) ye denklem (31) ve (32) ifadelerindeki gibi bağlıdır [19, 20]:

$$T = \frac{(1-R)^2 \exp(-\alpha d)}{1 - R^2 \exp(-2\alpha d)} \quad (31)$$

Burada  $d$  film kalınlığıdır.

$$\alpha = \frac{4\pi k}{\lambda} \quad (32)$$

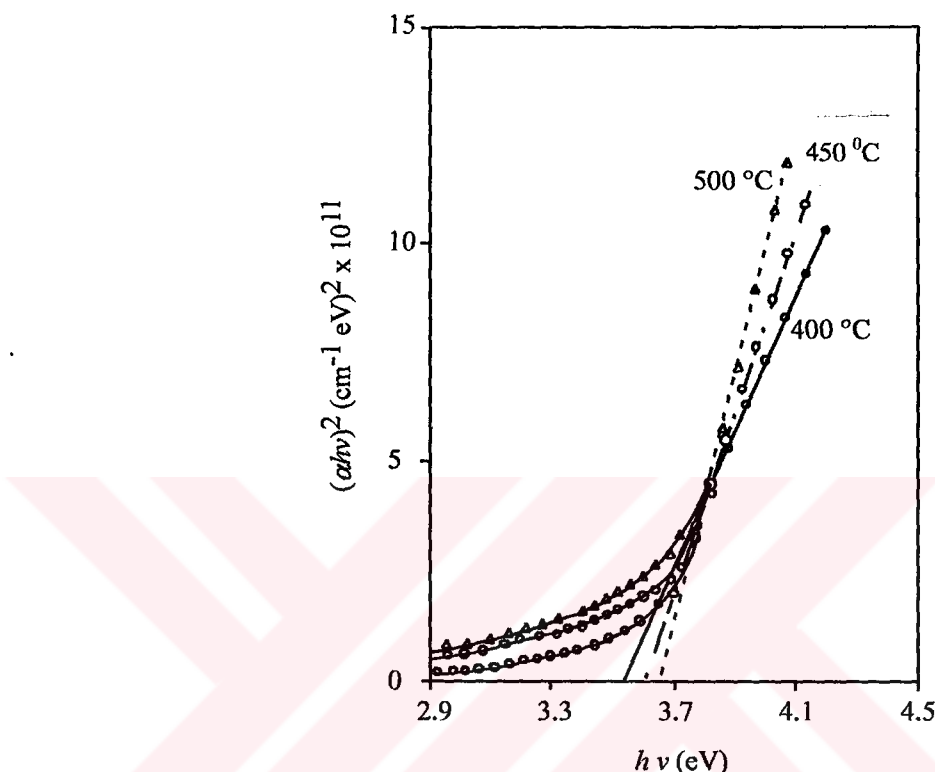
Çeşitli altlık sıcaklıklarında üretilmiş ZnS ince filmlerinin geçirgenliklerinin dalga boyuna bağlılığı Şekil 10' da verilmektedir [21].



Şekil 10. Püskürme yöntemi ile çeşitli altlık sıcaklıklarında hazırlanmış ZnS filmlerinin dalga boyuna bağlı geçirgenlik değerleri

ZnS ince filmlerin yasak enerji aralığı optik ölçümlelerden hesaplanır. Optik ölçümlelerde soğurma katsayısı  $\alpha$ , denklem (28) den bulunur. Kimyasal püskürme yöntemi ile çeşitli altlık sıcaklıklarında hazırlanmış ZnS filmlerinin foton enerjisinin  $(\alpha h\nu)^2$  ye bağlılığı Şekil 11' de verilmektedir. Şekil 11' den ZnS yarıiletken filmlerinin doğrudan band geçişine

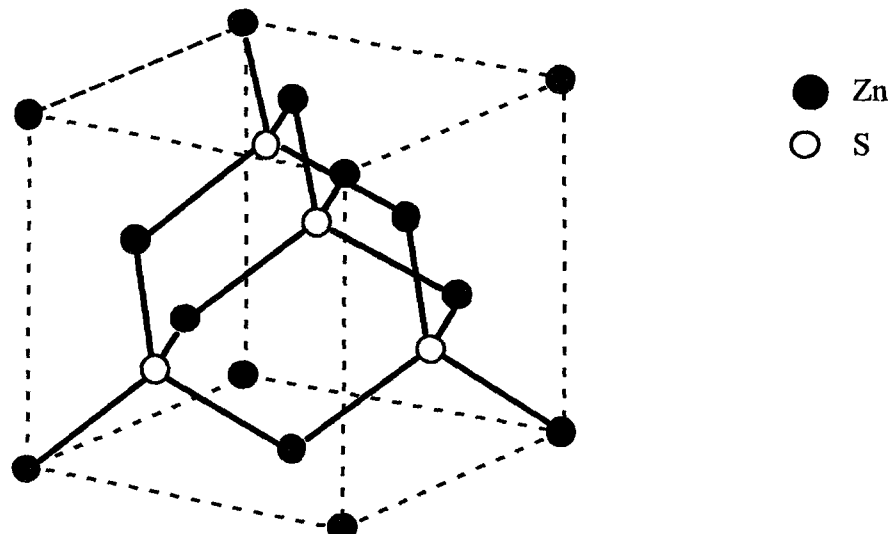
sahip olduğu ve  $E_g$  yasak enerji değerinin filmlerin üretim şartlarına bağlı olarak 3,53 ile 3,64 eV arasında olduğu görülmektedir [22]. Elde edilen  $E_g$  değerleri amorf kristal yapılı ZnS (3,4 eV) filmlerinden daha büyüktür. Bu büyük  $E_g$  değeri, ZnS filmlerinin polikristal yapıda olduğunu gösterir.



Şekil 11. Püskürtme yöntemiyle çeşitli altlık sıcaklığında hazırlanmış ZnS filmlerinin foton enerjisinin  $(\alpha h\nu)^2$  ye bağlı değişimi.

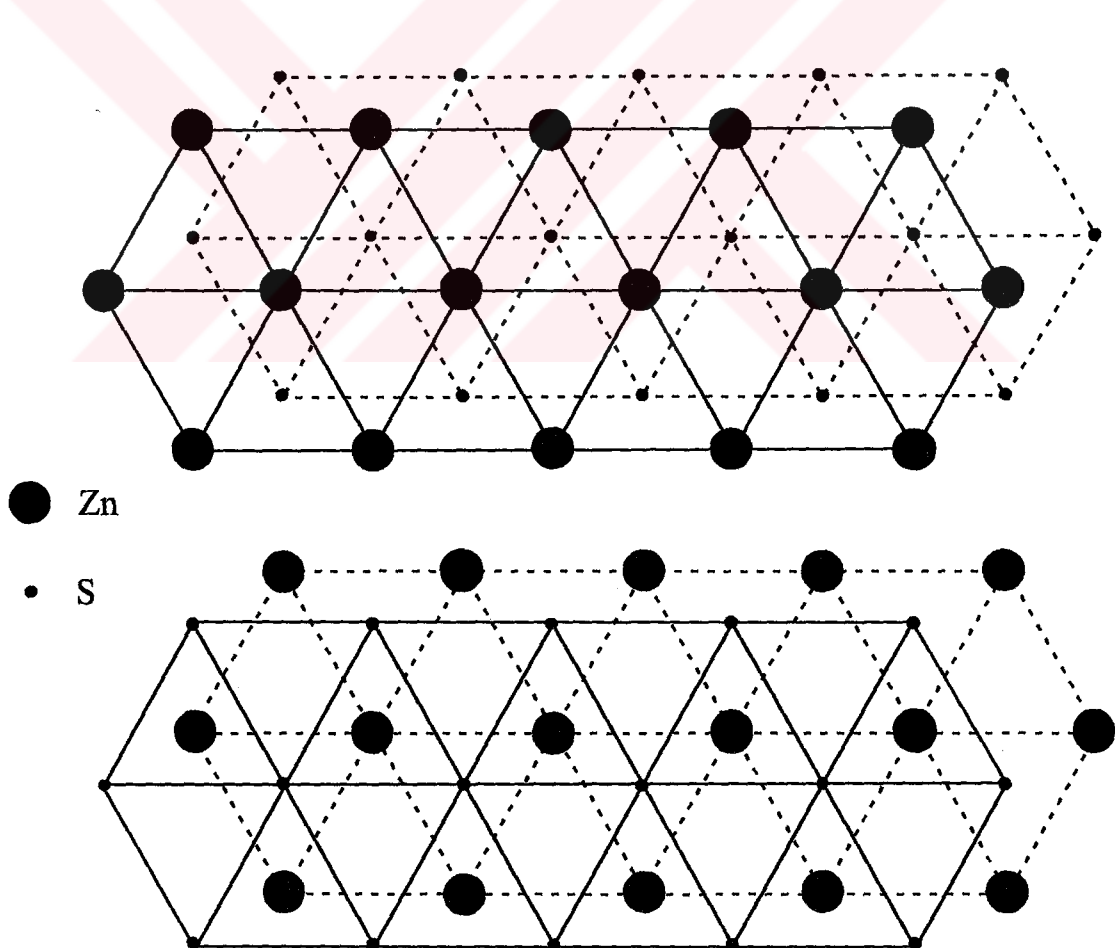
### 1.7. ZnS İkili Bileşigin Kristal Yapısı ve X Işını Kırınım Desenleri

II-VI grup bileşiklerinden olan yarıiletkenler hem kübik (çinkosülfit) hem de hekzagonal (wurzit) yapıda kristalleşirler. Bu iki yapıda kristal örgü uzayı birbirine girmiş durumda bir atom diğer tür dört atom ile çevrilmiştir. Her iki yapıda da atomlar tetrahedral örgü simetrisine göre dizilmişlerdir [14]. ZnS yapısı, Şekil 12' de görüldüğü gibi, elmas yapıdaki cisim köşegeninin çeyreği kadar öteleňmiş koordinatta bulunan iki fcc yapının birinde Zn, diğerinde ise S atomlarının yerleşmesiyle oluşmaktadır. Bu yapıda Zn atomları  $000$ ,  $0\frac{1}{2}\frac{1}{2}$ ,  $\frac{1}{2}0\frac{1}{2}$ ,  $\frac{1}{2}\frac{1}{2}0$  ve S atomları  $\frac{1}{4}\frac{1}{4}\frac{1}{4}$ ,  $\frac{1}{4}\frac{3}{4}\frac{3}{4}$ ,  $\frac{3}{4}\frac{1}{4}\frac{3}{4}$ ,  $\frac{3}{4}\frac{3}{4}\frac{1}{4}$  koordinatlarında bulunur ve birim hücrede dört tane ZnS molekülü bulunur.



Şekil 12. Çinkosülfit kristal yapısı [23].

Hekzagonal (wurzit) yapısı iç içe geçmiş iki sıkı paket kafesinden oluşur (Şekil 13).



Şekil 13. Hekzagonal (wurzit) yapı [7].

İki kafes arasındaki uzaklık Zn ve S atom düzlemleri arasındaki bağ uzunluğu kadardır. Yapı  $c$  eksene ( $a_3$ ) paralel tek bir eksen sergiler ve ilkel hücrede  $a_1 = a_2$  olup  $a_1$  ile  $a_2$  arasında  $120^\circ$  lik açı vardır. İdeal hekzagonal yapıda  $c$  ile  $a$  arasında  $c = 1,633a$  ilişkisi vardır.

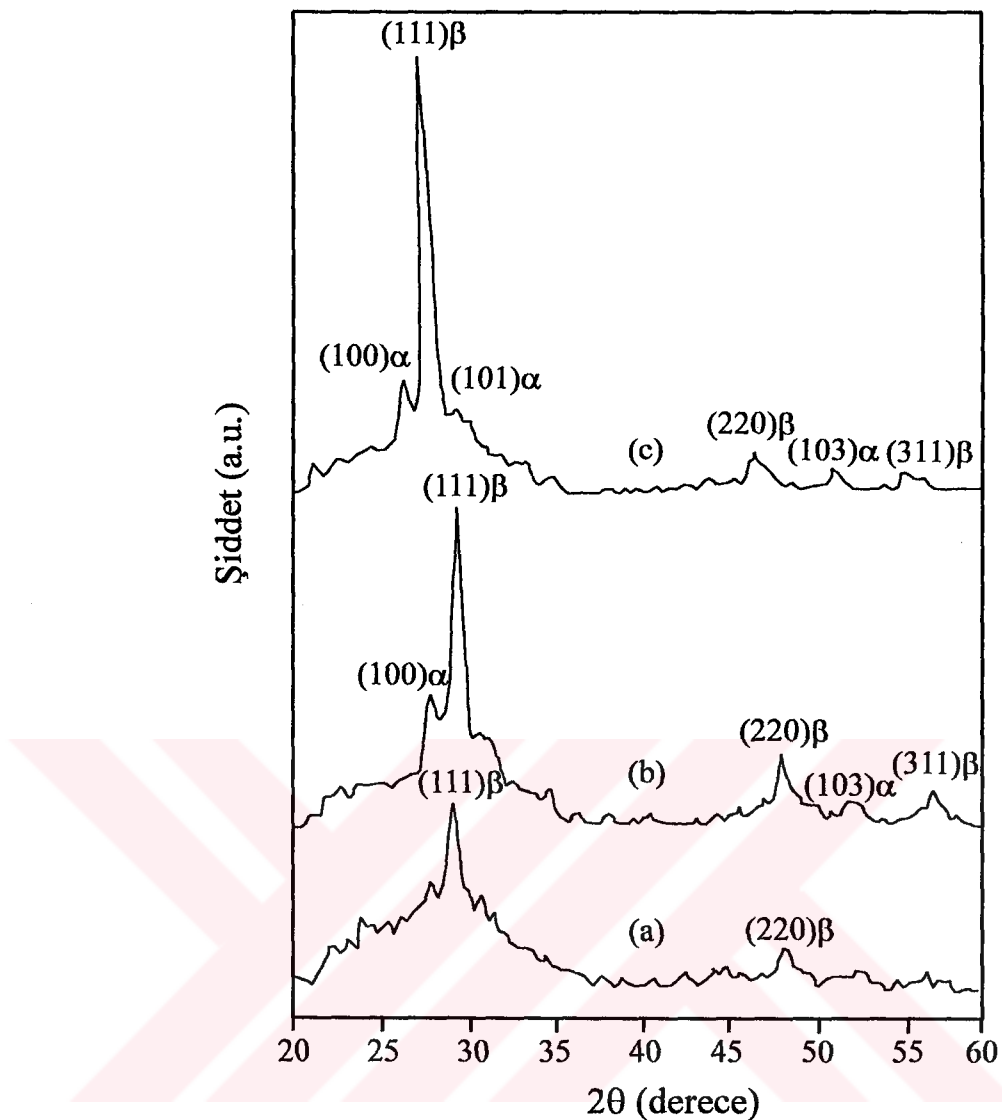
Üretilen malzemenin kristal yapısını belirlemenin yollarından biri malzemenin x-ışını kırınım desenlerinin incelenmesidir. Bu desenlerden faydalananarak malzemenin kristal yapılı olup olmadığı kristal yapılı ise türü, örgü parametreleri vs hakkında bilgi edinmek mümkündür. Bragg kırınım yasasının

$$2ds\sin\theta = n\lambda \quad (33)$$

ifadesi kullanılarak ince filmlerin kristal düzlemleri arasındaki  $d$  mesafesi hesaplanabilir. Buradaki  $\lambda$ , CuK $\alpha$  ışınımı olup değeri  $1,542 \text{ \AA}^0$  dur [24]. Ince filmlerin x-ışını kırınım desenlerinden yararlanılarak kristalin yapı faktörü ve buradan da örgü sabitleri bulunabilir. Kimyasal püskürtme yöntemiyle farklı altlık sıcaklıklarında hazırlanmış ZnS yarıletken filmlerinin x-ışınları kırınım desenleri Şekil 14' te verilmektedir. Burada  $\alpha$  hekzagonal kristal fazını,  $\beta$  ise kübik yapıyı temsil etmektedir. Üretim sıcaklığı arttıkça tercihli yönelimlerin  $(111)_\beta$  doğrultusunda olduğu ve diğer faz şiddetlerinin azaldığı görülmektedir [25, 26, 27]. Bazı II-VI grubu yarıletken bileşiklerinin örgü sabiti ( $a$ ), yasak enerji aralığı ( $E_g$ ) ve kristal örgü yapıları Çizelge 4' de verilmektedir [7].

### 1.8. ZnS İnce Filmlerinin Üretim Yöntemleri

İnce filmlerin yaygın olarak kullanımı, bu filmleri elde etme yöntemlerini önemli hale getirmiştir. Mühendislik ve endüstride temel amaç, elektronik cihazlarda kullanılacak yarıletken filmlerin kaliteli ve kullanıldıkları cihazların performansının yüksek olmasıdır. Bu ise doğrudan filmlerin elde edilmesinde kullanılan yöntemlerle ilgilidir. ZnS yarıletken filmlerin elde edilmesinde başlıca; kimyasal püskürtme, iyonik püskürtme, tek kaynaktan buharlaştırma, aniden buharlaştırma, lazerle buharlaştırma, sıvı fazdan çökeltme gibi yöntemler kullanılır.



Şekil 14. Farklı altlık sıcaklıklarında üretilen ZnS filmlerinin x-ışınları kırınım desenleri.  
 ((a) 300°C; (b) 400°C ve (c) 500°C) [21].

### 1.8.1. Kimyasal Püskürtme Yöntemi

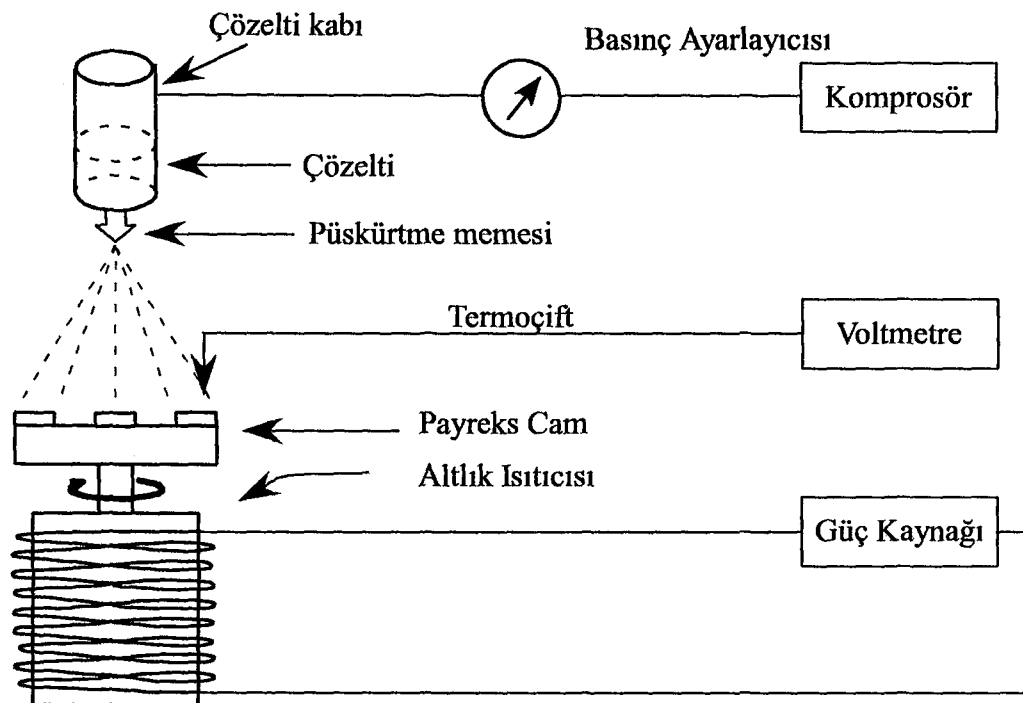
Kimyasal püskürtme yöntemi, elde edilecek malzemenin elementlerini içeren çözeltinin ısıtılmış tabanlar üzerine basınçlı azot gazı veya basınçlı hava yardımıyla belirli bir sürede püskürtülmesidir. Çözeltilerde çözücü olarak saf su ve bazı durumlarda da 180 °C dan düşük taban sıcaklıkları için ethanol kullanılmaktadır [28].

**Çizelge 4.** Bazı II-VI grubu yarıiletken bileşiklerinin yapısal ve optik özellikleri (\*: düşük sıcaklık değerini gösterir).

Malzeme	a(nm)	E <sub>g</sub> (eV)	Band türü	Kristal yapı
ZnS	0,541	3,68	Doğrudan	Kübik
	0,382-0,626	3,91	“	Hekzagonal
ZnO	0,325-0,521	3,44*	Doğrudan	Hekzagonal
ZnSe	0,567	2,7	Doğrudan	Kübik
	0,40-0,654	-	“	Hekzagonal
CdS	0,582	2,55	Doğrudan	Kübik
	0,414-0,671	2,51	“	Hekzagonal
ZnTe	0,610	2,28	Doğrudan	Kübik
CdTe	0,648	1,475	Doğrudan	Kübik

Kimyasal püskürtme yönteminde kullanılan altlıklar iki ana grupta toplanmaktadır [29]. Bunlardan birincisi olan silikon camlar yalıtkan olduklarından, yarıiletken malzeme çöktürülmeden önce kontağı sağlayacak iletken tabakanın bu cam altlıklar üzerine çöktürülmesi gereklidir. Bu tabaka hem şeffaf hem de iletken olmalıdır. Buna örnek indiyum kalay oksit tabakasıdır. İkinci grup altlıklar ise metalik olanlardır. Bu altlıkların yaygın olarak kullanılanları, titanyum veya tungsten gibi metallerle kaplanmış çelik tabakalarıdır. Bu altlıklardan başka özel olarak yapılmış payreks camlar, seramik ve polimer altlıklar da kullanılmaktadır.

Kimyasal püskürtme yöntemi, ince film elde etme yöntemleri arasında en kolay ve ucuz olan yöntemdir [30]. Kimyasal püskürtme yönteminde elde edilen filmlerin fiziksel özellikleri değişik parametrelere bağlıdır. Bunlar; altlık sıcaklığı, püskürtme hızı, altlık ile püskürtme başlığı (nozzle) arasındaki mesafe, çözeltinin bileşim oranları, püskürtme zamanı ve püskürtülen toplam çözelti miktarıdır. Bu yöntemde taşıyıcı gaz olarak basınçlı hava yerine azot gazı kullanılması, bazı istenmeyen kimyasal reaksiyonların ortaya çıkışmasını önlemede etkilidir. Kimyasal püskürtme düzeneğinin şematik gösterilimi Şekil 15' te verilmektedir.

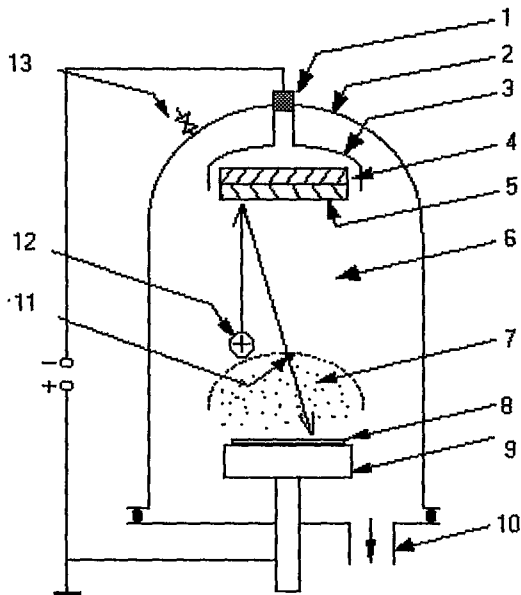


Şekil 15. Kimyasal püskürtme düzeneğinin şematik gösterimi.

Kimyasal püskürtme yönteminde fırın yardımıyla belli bir sıcaklık değerine çıkarılan altlıklar döner tabla yardımıyla sabit bir hızla döndürülür. Bu işlem altlıkların homejen bir şekilde filmle kaplanmasıını sağlar. Daha sonra basınçlı gaz vanası açılarak daha önceden hazırlanmış sulu çözelti ısıtılmış altlıklar üzerine püskürtülür. Bu işlem esnasında belli amaçlar için elde edilecek filmlerde altlık sıcaklığı, püskürtme hızı ve püskürtme zamanı önceden belirlenir.

### 1.8.2. İyonik Püskürtme Yöntemi

İyonik püskürtme düzeneğinin şematik gösterimi Şekil 16' da verilmektedir. Düzeneğin iki temel elemanı katot (4) ve anot (9) vakum odasının içine yerleştirilmiştir. Katot yüksek gerilim kaynağının negatif kutbuna bağlı olup, levha şeklinde buharlaştırılacak malzeme (5) katodun üzerine yerleştirilir. Bu düzenekte anot katottan birkaç cm uzaklıkta olup katoda 3-5 kV luk gerilim uygulandığında elektriksel boşalma meydana gelir ve uygulanan gerilim çoğunlukla katoda yakın bölgeye düşer. Katot bölgесine varan iyonlar (12), elektrik alanda hızlanarak katot üzerindeki hedefle çarpışır.



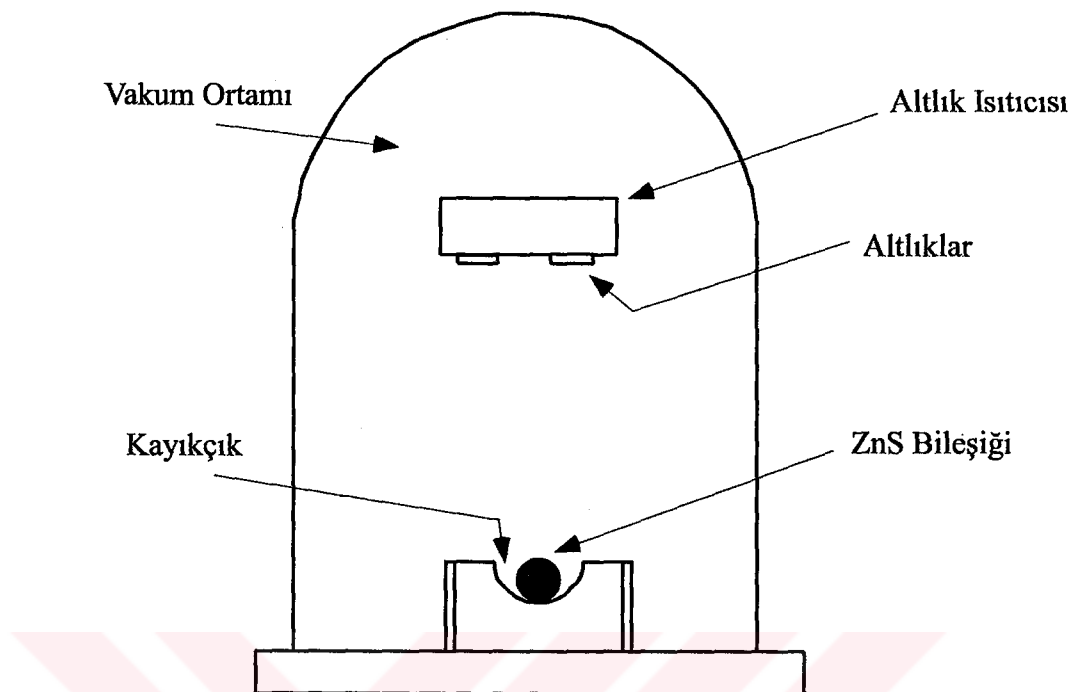
**Şekil 16.** İyonik püskürtme yöntemi düzeneği: (1) yüksek gerilime dayanıklı giriş, (2) vakum fanusu, (3) ekran, (4) katot, (5) hedef malzeme, (6) katot bölgesi, (7) pozitif iyonlardan oluşmuş bölge, (8) altlıklar, (9) anot, (10) vakum çıkışı, (11) çöken parçacıklar, (12) iyonlar ve (13) taşıyıcı gaz girişi.

Yeterli enerjiyi alan hedef malzemeden kopan parçacıklar (11), anot yönünde hareketlenerek altlığın (8) yüzeyinde ince film oluştururlar [31]. İyonik püskürtme yönteminde ince filmlerin büyümeye hızı yaklaşık  $0,5 \text{ nm/sn}$  olup bu yöntem  $10^{-4} \text{ Pa}$ 'lık vakumda gerçekleştirilir. Vakum odasının içerisinde taşıyıcı gaz olarak yüksek saflığa sahip olan  $1-10 \text{ Pa}$  basıncındaki asal gaz (Argon, Ar) verilir.

### 1.8.3. Tek Kaynaktan Buharlaştırma

Tek kaynaktan buharlaştırma yöntemi, buharlaştırılacak malzemenin tek bir kaynak üzerine konulup aynı anda buharlaştırılması esasına dayanır. Bu yöntem kolay uygulanabilir olmasına karşın, bileşiklerin buharlaşması esnasında meydana gelen kimyasal parçalanma ürünleri altlık üzerinde istenmeyen fazların oluşumuna neden olabilir. Tek kaynaktan buharlaştırma düzeneğine ait şematik görünüm Şekil 17' de verilmektedir. Bu yöntem kısaca şöyle açıklanabilir: Önceden hazırlanmış ZnS polikristal malzemesi tırtılarak kayıkçığa yerleştirilir. Kayıkçığın sıcaklığı, malzemenin içinde

bulunan bütün elementlerin buharlaşabilmesi için gerekli en büyük sıcaklık değerinden büyük olmalıdır.

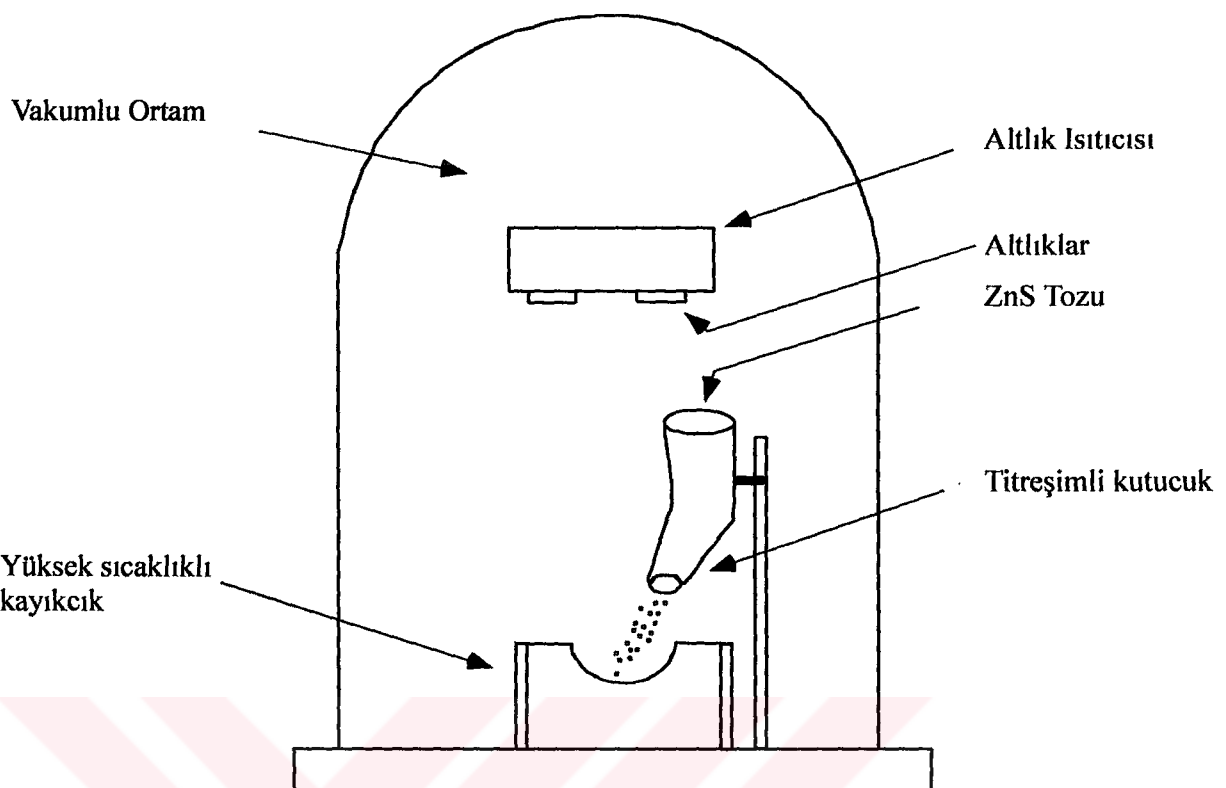


Şekil 17. Tek kaynaktan buharlaştırma yöntemine ait şematik görünüm [32].

Buharlaşma sürecinde oluşan gaz ortamının kütle spektrometre analizinden, buharlaşan malzemenin elementlere ve bileşiklere parçalanıp parçalanmadığı tespit edilir. Bu element ve bileşiklerin altlık üzerinde yeniden birleşerek ZnS bilesigini oluşturması için, altlık sıcaklığının ve buharlaşma süresinin uygun seçilmesi gereklidir. Altlık sıcaklığının uygun seçilmesi ise ayarlanması oldukça güç olan çok küçük bir sıcaklık aralığı anlamına gelir.

#### 1.8.4. Aniden Buharlaştırma

Bu yöntemde buharlaştırılacak malzeme büyülüğu yaklaşık olarak  $150 \mu\text{m}$  olacak şekilde, toz haline getirilir. Toz haline getirilmiş malzeme, önceden içinden akım geçirilerek yüksek sıcaklığa çıkarılmış buharlaştırma kayıkçığının üzerine küçük miktarlarda düşürülerek buharlaştırma işlemi aniden yapılır (Şekil 18). Bu tür buharlaştırma tekrarlanarak arzu edilen film kalınlığına ulaşılır.

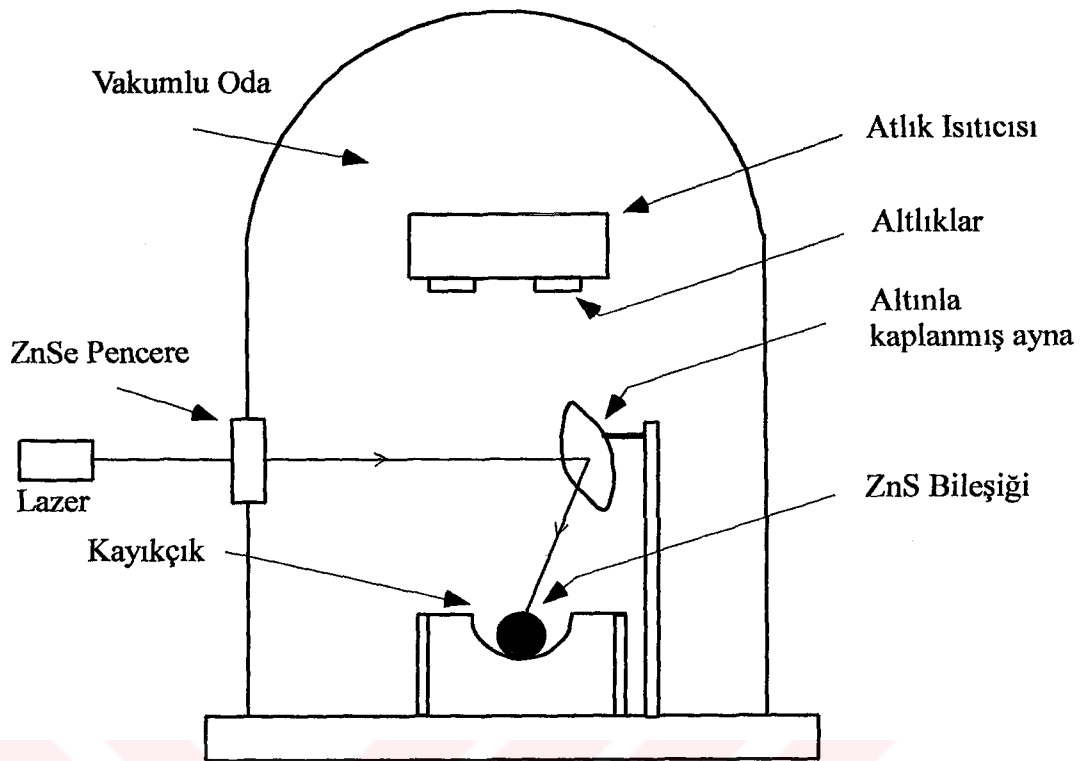


Şekil 18. Aniden buharlaştırma yöntemine ait şematik görünüm.

Bu yöntemde toz halindeki malzeme katı fazdan aniden buhar fazına geçer. Bu nedenle gaz fazında oluşan atomların oranı stokiomimetik ZnS dekine çok yakın olur. Bu yöntemde, saflık ve gaz çıkışları nedenlerinden dolayı katı malzemenin kimyasal ve metalurjik kalitesi çökeltilen film kalitesini etkiler [33].

#### 1.8.5. Lazerle Buharlaştırma

Lazer kullanılarak çökelme yöntemi, son yıllarda ince film üretim teknolojisinde ve elektronik alet uygulamalarında önemli gelişmelere neden olmuştur. Lazerle buharlaştırma yönteminde lazer ışın demeti, vakum odacığına bir pencereden girerek buharlaştırılacak malzemenin üzerine odaklanır (Şekil 19).



Şekil 19. Lazerle buharlaştırma yöntemine ait şematik görünüm.

Lazer demetinin enerjisi ile buharlaştırma esnasında malzemeden sökülen parçacıklar bir duman şeklini alır ve böylece buharlaşan madde altlığa taşınmış olur. Yüksek vakumda çalışan bu düzenekle elde edilen malzemedenin stokimetrenin büyük oranda korunduğu gözlenir [34]. Stokometredeki bazı saptamlar ise uygun altlık sıcaklığı ile giderilebilir. Bu yöntemin bazı dezavantajları şöyle sıralanabilir: 1) Hedef malzemeden yayılan sıvı madde film oluşumu esnasında işe karışarak filmin yüzey kalitesini olumsuz yönde etkiler. 2) Duman şeklinde buharlaşan madde dar açılı bir koni oluşturarak küçük alanlı bölgede çökeldiğinden, büyük yüzeyli filmlerin homojen yapıda elde edilmesinde bazı zorlukların yaşanmasına sebep olur.

#### 1.8.6. Sıvı Fazdan Çökeltme Yöntemi

Sıvı fazdan çökeltme yönteminde, altlık üzerine çökeltilmek istenen malzeme yüksek sıcaklıklarda sıvı çözücü içerisinde çözülür ve daha sonra altlığın bu çözücüye daldırılması ile çökeltme gerçekleştirilmiş olur. Eğer uygun çözüçüler kullanılırsa, sıvı fazdan yarıiletken filmler yönlenmiş (epitaksiyel) olarak büyütülebilir. Çözücü olarak

kullanılacak malzemenin düşük erime sıcaklığına ve düşük buhar basıncına sahip olması ve bileşiği büyük ölçüde çözmesi gereklidir. Bu işlemler sırasında altlık malzemesi çözücü madde içerisinde çözünmemelidir. Önemli bir diğer nokta ise, altlık üzerinde yalnızca istenilen bileşigin çökeltilmesi ve istenmeyen fazların oluşmamasıdır [35].

## 2. YAPILAN ÇALIŞMALAR

Bu çalışmada, kimyasal püskürtme yöntemi kullanılarak üretilen ZnS yarıiletken filmlerinin, yapısal, elektriksel ve optik özellikleri değişik parametrelere bağlı olarak incelendi.

### 2.1. ZnS Çözeltisinin Hazırlanması

Bu çalışmada kullanılan  $\text{ZnCl}_2$  (%99.99) ve  $(\text{NH}_2)_2\text{CS}$  (%98) malzemeleri "Aldrich Chemical Co" dan temin edildi. Değişik S:Zn molar oranlarındaki ZnS ince filmlerin kimyasal püskürtme yöntemiyle üretilmesinde başlangıç çözeltisi olarak saf su ile hazırllanmış 0,04 mol/litre konsantrasyonlarındaki  $\text{ZnCl}_2$  ve  $(\text{NH}_2)_2\text{CS}$  tuzları kullanıldı (Çizelge 5).

Çizelge 5. Çözelti molariteleri ve kullanılan tuz kütleleri ( $a$ : 0,04 Molar' ı temsil etmektedir).

Numune Sembolü	Çözelti molariteleri (M)		(Molar oran) $\alpha=\text{S/Zn}$	Tuz kütleleri (gr)	
	$(\text{NH}_2)_2\text{CS}$	$\text{ZnCl}_2$		$(\text{NH}_2)_2\text{CS}$	$\text{ZnCl}_2$
S <sub>3</sub>	2,5a	a	2,5	1,9000	1,3628
S <sub>2</sub>	2a	a	2	1,5200	1,3628
S <sub>1</sub>	1,5a	a	1,5	1,1400	1,3628
Z <sub>1</sub>	a	a	1	0,7600	1,3628
Z <sub>2</sub>	0,9a	a	0,9	0,6840	1,3628
Z <sub>3</sub>	0,8a	a	0,8	0,6080	1,3628
Z <sub>4</sub>	0,7a	a	0,7	0,5320	1,3628
Z <sub>5</sub>	0,6a	a	0,6	0,4560	1,3628
Z <sub>6</sub>	0,5a	a	0,5	0,3800	1,3628

Denklem (34)' te çözeltinin 500°C' de kimyasal parçalanma reaksiyonu verilmektedir.



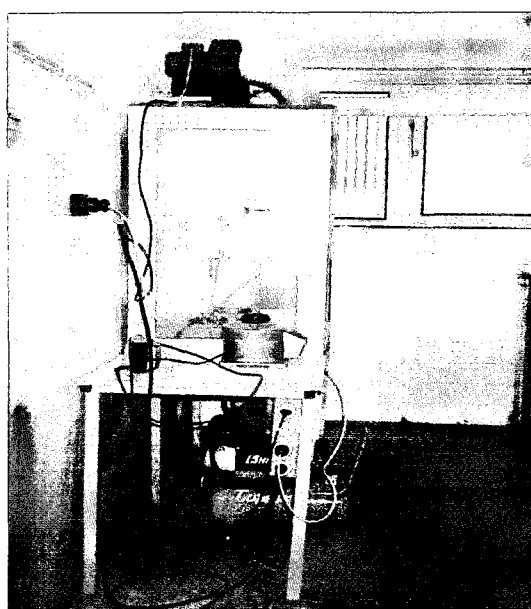
Amaca göre üretilen ZnS filmlerinin bileşen oranları, her bir tuzun çözelti molariteleri hesaplanarak saptandı. Tuz çözünürlüklerinin tam olarak sağlanması çözeltinin sıcaklığına bağlı olarak, bir miktar ısıtılmasıyla ve belli oranda asit (HCl) ilavesi ile sağlandı. Elde edilen berrak su rengindeki çözelti, daha sonra Şekil 15' te görülen düzenekteki çözelti kabına yerleştirildi.

## **2.2. Altlıkların Hazırlanması ve Altlık Isıtma Sistemi**

Altlık olarak, kalınlığı 1 mm ve kenarları yaklaşık olarak 2cm x 1cm olan adi camlar kullanıldı. Cam altlıklar, öncelikle sabunlu suda yıkanarak yağılardan arındırıldıktan sonra alkol ve asetonla temizlendi. Temizlenmiş altlıklar, daha sonra bir fırında kurutularak Şekil 15' te görülen düzenekteki altlık ısıtıcı sisteminin üzerindeki döner tablaya yerleştirildi. Altlık sıcaklıklarının kontrolü altlıkların hemen üzerindeki kromel-alumel termoçiftle sağlandı.

## **2.3. ZnS İnce Filmlerinin Üretimi**

ZnS ince filmlerinin üretimi, daha önceden belirlenen molar oranlarda hazırlanmış ZnS çözeltisinin ısıtılmış altlıklar üzerine kimyasal püskürtme yöntemiyle gerçekleştirildi (Şekil 20).



Şekil 20. Kimyasal püskürtme düzeneği

Püskürtme esnasında, püskürtme başlığı (nozzle) ile altlıklar arası mesafe 25 cm olacak şekilde düzeneğ kuruldu. Fiziksel olarak en uygun molar bileşimdeki ZnS filmini elde etmek için farklı molaritelerdeki tuz kütlesleri hesaplandı (Çizelge 5).

Kullanılan  $ZnCl_2$  ve  $(NH_2)_2CS$  tuzlarının mol ağırlıkları sırasıyla 136,28 ve 76 gr dır. Çizelge 5' de kullanılan numune sembollerindeki S harfi hazırlanan çözeltideki kükürtlü tuzun molaritesinin çinkolu tuzunkinden büyük olduğunu, Z harfi ise çinkolu tuzun molaritesinin kükürtlü tuzunkinden fazla olduğunu belirtmek içindir.

Hazırlanan çözeltiler Şekil 15' deki çözelti kabına yerleştirildikten sonra altlık ısıticisine güç verildi. Altlık sıcaklığı  $500^{\circ}C$ ' ye ulaştığında basınçlı gaz vanası açılarak püskürtme işlemi başlatıldı. Bu işlem sonucunda belirlenen hedef numune daha sonra  $300^{\circ}C - 550^{\circ}C$  sıcaklık değerleri arasında ve değişik püskürtme hızlarında (5-20 ml/dak.) yeniden üretildi. Püskürtme işlemi tamamlandığında, her defasında önce ısıtıcı sistemi kapatıldı ve altlıklar hava ortamında yavaş soğumaya bırakıldı. İleriki bölümlerde görüleceği gibi bu şekilde elde edilmiş filmelerin x-ışını kırınımı analizi ile yapısal özelliklerini belirlendi. Bu ince filmler daha sonra hava ortamında  $300^{\circ}C - 500^{\circ}C$  sıcaklık aralıklarında 5 dakikalık ıslık işleme tabi tutularak bu işlemin filmelerin yapısal, elektriksel ve optik özelliklerine etkisi incelendi.

#### 2.4. Film Kalınlıklarının Ölçümü

Üretilen ZnS ince filmlerinin kalınlıkları, mikro tartma yöntemiyle belirlendi. Film altlığa kaplandıktan sonra altlık kütlesinin artması, mikro tartma yönteminin temelini oluşturur. Filmin ortalama kalınlığı,

$$d = \frac{\Delta m}{\rho \cdot s} \quad (35)$$

ifadesi ile verilir [34]. Burada  $\Delta m$ , altlık ve altlığın üzerinde biriken film kütlesinin toplamı ile temiz altlık kütlesinin farkı,  $s$  film yüzeyinin alanı,  $\rho$  filmin yoğunluğu ve  $d$  filmin kalınlığıdır. Mikro tartma yöntemiyle film kalınlığının ölçümünde film yoğunluğunun hacimsel malzemenin yoğunluğuna eşit olduğu kabul edilir. Bu yöntemin duyarlılığı,

terazinin ve film yüzeyinin alanına bağlı olup,  $1\text{-}10 \mu\text{m}/\text{m}^2$  aralığında sapma gösterebilir. Üretilen ZnS ince filmler bu yolla  $3\text{-}7 \mu\text{m}$  arasında değişen kalınlıkta ölçüldü.

## 2.5. X-Işınları Kırınım Analizi

Bu çalışmada üretilen ince filmlerin x-ışını kırınım analizleri, Rigaku D/Max-IIIC difraktometresinde (Şekil 21)  $\text{CuK}_\alpha$  ( $\lambda = 1,542 \text{ \AA}^0$ ) ışınımı kullanılarak yapıldı. Ölçümler oda sıcaklığında  $3^0 \leq 2\theta \leq 70^0$  aralığında ve  $0,02^0$  adımlarla yapıldı.



Şekil 21. Bilgisayar kontrollü Rigaku D/Max-IIIC difraktometresi

Kübik ve hekzagonal yapılı kristallerde örgü sabitleri  $a, c$  düzlemler arası  $d$  mesafesine sırasıyla denklem (36) ve(37) ifadelerindeki gibi bağlıdır.

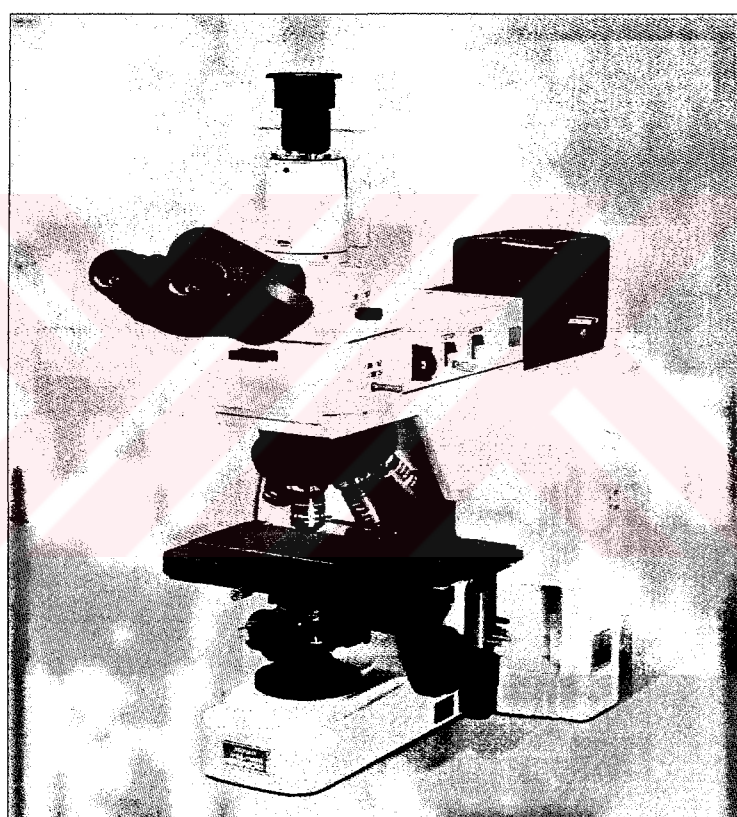
$$\frac{1}{d^2} = \frac{h^2 + k^2 + l^2}{a^2} \quad (36)$$

$$\frac{1}{d^2} = \frac{4}{3} \left( \frac{h^2 + hk + k^2}{a^2} \right) + \frac{l^2}{c^2} \quad (37)$$

Yukarıdaki ifadelerde ( $h$ ,  $k$ ,  $l$ ) yüzeyin Miller indisleri olup, ideal hekzagonal sıkı paket yapıda  $a=b$  ve  $c=1,633a$  olarak alınabilir. Böylece ZnS ince filmlerinin  $a$  ve  $c$  örgü parametreleri denklem (36) ve (37) bağıntıları kullanılarak hesaplandı.

## 2.6. Filmlerin Yüzey Morfolojisinin İncelenmesi

Üretilen ZnS ince filmlerinin mikro yapıları hakkında bilgi edinmek için, Nikon coolpix 995 elektronik kamera ile uyumlu polarize ışık mikroskopu kullanıldı (Şekil 22).



Şekil 22. Filmlerin yüzey morfolojisini belirlemede kullanılan Nikon coolpix 995 polarize ışık mikroskopu

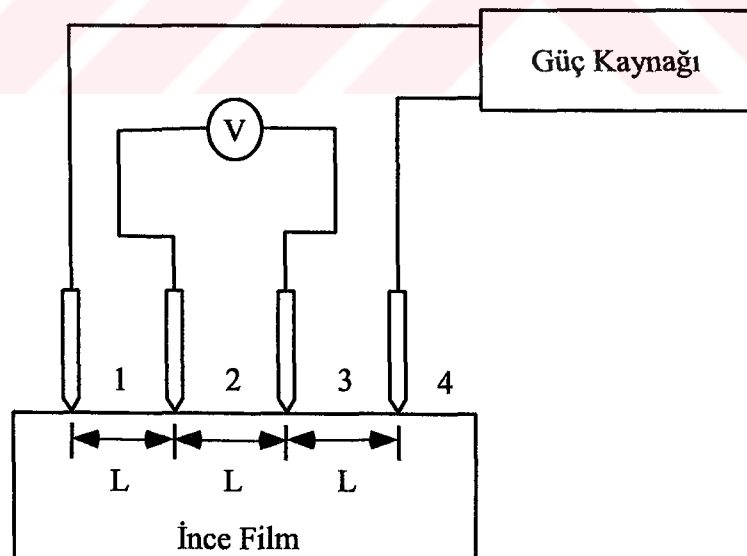
Böylece kimyasal püskürtme yöntemiyle üretilen filmlerin, üretim şartlarına ve S:Zn molar oranlarına bağlı olarak tane yapılarında ve tane sınırlarındaki değişiklikler, çekilen optik fotoğraflarla incelendi.

## 2.7. Elektriksel Özelliklerin İncelenmesi

Üretilen ince filmlerin fiziksel özellikleri hakkında bilgi edinme yollarından biri de elektriksel özdirenç ölçümüdür. Bu yolla ZnS filmelerinin verici ve alıcı iyonlaşma enerjileri belirlenebilir. Üretilen ince filmlerin özdirenç ölçümleri dört nokta yöntemiyle yapıldı. Bu ölçüm için hazırlanan devrenin şeması, Şekil 23' te verilmektedir. Bu ölçümde küçük alanlı dört kontakt, film yüzeyine eşit aralıklarla vakum buharlaştırma yöntemi ile In buharlaştırılarak yapıldı. Daha sonra güç kaynağı ile bir ve dört noktaları arasına  $I_{14}$  akımı verilerek, iki ile üç noktaları arasındaki  $V_{23}$  gerilimi ölçüldü. Bu yöntemle filmelerin özdirenç değerleri,

$$\rho = 2\pi L \frac{V_{23}}{I_{14}} \quad (38)$$

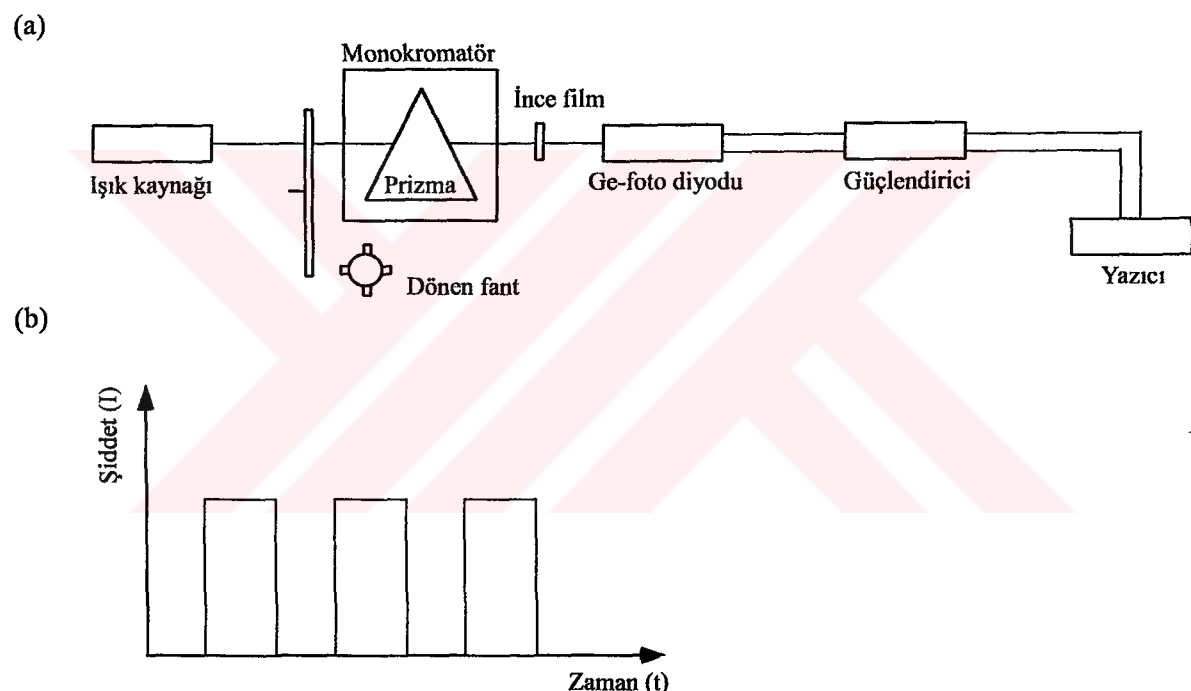
bağıntısıyla hesaplandı. Üretilen filmelerin taşıyıcı tiplerinin belirlenmesinde, sıcak uç yöntemi kullanıldı. Elektriksel ölçümler için ince filmler üzerine bakır teller ile indiyum temaslar (kontaklar) yapıldı.



Şekil 23. Dört nokta yöntemiyle özdirenç devresi

## 2.8. Optik Özelliklerin Ölçülmesi

Üretilen ince filmlerin band yapısı ve yasak enerji aralığı hakkında bilgi edinmek için bu filmlerde soğurma katsayısının dalga boyuna bağlılığı incelendi. Ölçümler, SPM-2 monokromatöründe, oda sıcaklığında yapıldı. Ölçüm düzeneğinin şematik gösterimi, Şekil 24' de verilmektedir. İşık kaynağından çıkan beyaz ışık, fant yardımıyla modüle edildikten sonra (Şekil 24.b) monokromatöre girer. Monokromatörden atmalar şeklinde çıkan monokromatik ışık filmin üzerine düşer ve filmden geçen ışık Ge fotodiyoduyla kaydedilir.



Şekil 24. (a) Geçiş katsayısını ölçmek için kullanılan düzenek,  
(b) Fant yardımıyla modüle edilmiş ışık.

Şekil 24' deki deney düzeneği yardımıyla ölçülen  $\alpha$  soğurma katsayıısı,

$$\alpha = -\frac{1}{d} \ln \left[ \frac{\sqrt{[(1-R)^4 + 4T^2R^2]} - (1-R)^2}{2TR^2} \right] \quad (39)$$

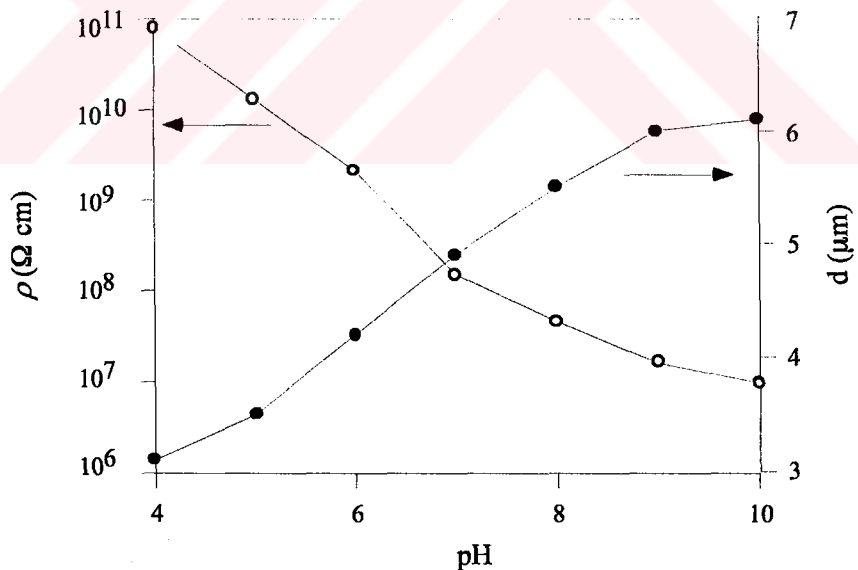
bağıntısıyla hesaplandı. Burada  $d$  filmin kalınlığı,  $R$  yansımaya katsayısı ve  $T$  geçiş katsayıısıdır [36,37].



### **3. BULGULAR VE TARTIŞMA**

#### **3.1. Deneylerde Kullanılan Çözeltinin PH Değerinin ZnS Filmlerinin Büyüme Hızına ve Özdirencine Etkisinin İncelenmesi**

Kimyasal püskürtme yönteminde filmlerin büyümesi, püskürtme hızına ve altlık sıcaklığına bağlı olduğu gibi, çözeltinin pH değerine de bağlıdır. Çözeltinin düşük pH değerlerinde filmler daha homojen sıkı paket şeklinde büyürken büyük değerlerinde ise kötü adhezyona ve pürüzlü yüzeye sahip olurlar. Bu çalışmada, çözeltinin optimum pH değerini belirlemek için farklı pH değerlerine sahip çözeltiden üretilen ZnS filmler incelendi. Çözeltinin pH değerleri, çözeltiye HCl ve NaOH ilave edilerek 4-10 değerleri arasında değiştirildi. Şekil 25' te sabit altlık sıcaklığında ( $500^{\circ}\text{C}$ ) ve püskürtme hızında (5ml/dak.), farklı pH değerlerinde üretilmiş ZnS filmlerinin, özdirençlerinde ve kalınlıklarındaki değişimler görülmektedir.



Şekil 25. ZnS Filmlerinin özdirenç ve kalınlıklarının, çözeltinin pH değerine göre değişimi

Şekilde görüldüğü gibi pH değerlerindeki artışlar özdirenci azaltırken, film kalınlıklarını artırmaktadır. Bunun nedeni pH değeri artıkça altlık üzerine gelen çözeltideki

bileşenlerin ısisal parçalanma hızının farklı olmasındandır. Bu çalışmada kullanılan tüm çözeltilerin optimum pH değeri 5,69 olarak alındı.

### **3.2. Farklı S:Zn Molar Oranlarında Üretilmiş ZnS İnce Filmler**

ZnS ince filmlerin üretimi, daha önceden değişik molar oranlarda hazırlanan  $ZnCl_2$  ve  $(NH_2)_2CS$  çözeltilerinin tek kaynaktan püskürtmeyle gerçekleştirildi. Püskürtme süresince altlık sıcaklığı, püskürtme hızı ve pH değeri sabit tutuldu. Daha sonra değişik molar oranlarda elde edilen ZnS filmelerinin, yapısal, elektriksel ve optik özelliklerini incelenerek en uygun numune saptandı.

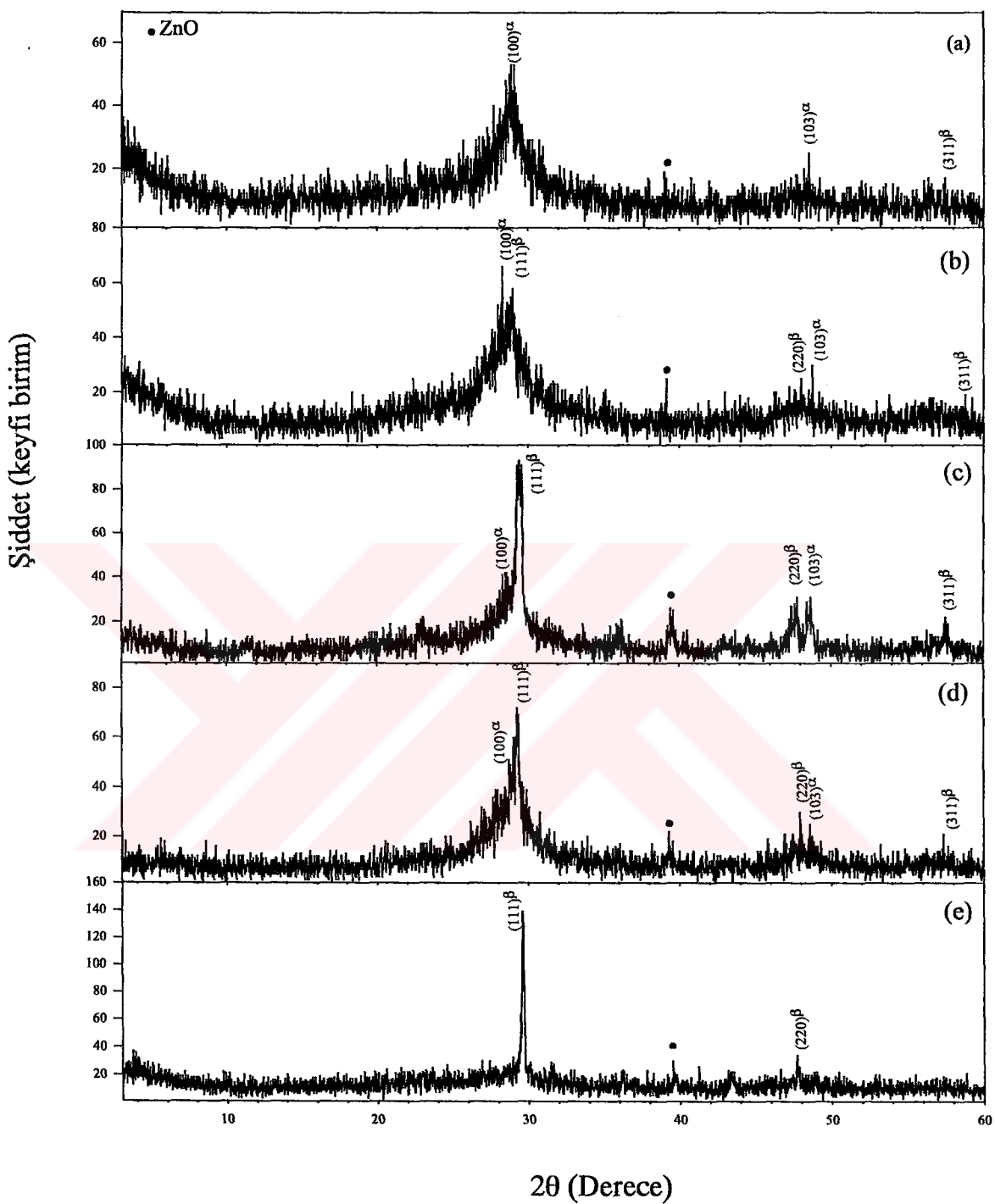
#### **3.2.1. Yapısal Özelliklerin İncelenmesi**

Tek kaynaktan püskürtme yöntemiyle üretilen farklı S:Zn molar oranlarına sahip ince filmlerin yapısal özellikleri, x-ışınları kırınım desenleri ve optik fotoğraf makinası ile çekilmiş yüzey mikrograflarıyla incelendi.

##### **3.2.1.1. Farklı S:Zn Molar Oranlarında Üretilmiş ZnS filmlerinin X-İşinleri Kırınım Desenlerinin İncelenmesi**

ZnS yarıiletken ince filmlerinin kristal yapısı hekzagonal, kübik veya bu iki kristal yapısının birlikte büyümeli şeklinde görülmektedir. Günümüze kadar yapılan çalışmalarla ZnS filmlerin kristal yapısını ayarlamak için farklı ıslı işlemler uygulandığı görülmektedir. Bu çalışmada, S:Zn molar oranlarını ayarlayarak değişik kristal yapıdaki ZnS filmleri üretilmiştir. Şekil 26' da farklı S:Zn (0,7-1,5) molar oranlarında elde edilmiş ZnS filmlerin x-ışınları kırınım desenleri verilmektedir.

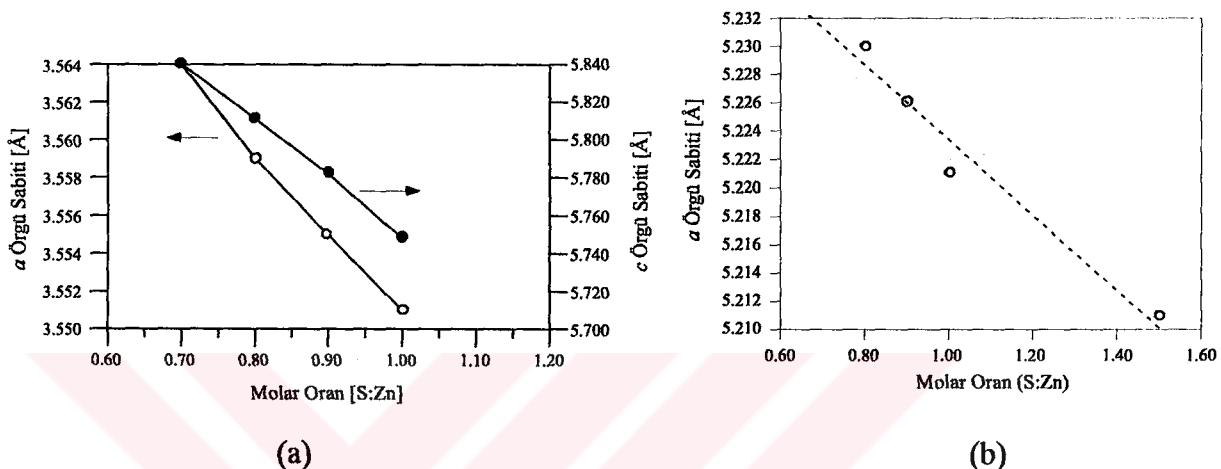
S:Zn molar oranlarının çok büyük ve çok küçük değerlerinde, ZnS ince filmler adacıklar şeklinde büyütürek kötü adhezyona sahip olurlar. Şekil 26(a) ve (e)' de, S:Zn molar oranlarının 0,7 ve 1,5 değerlerinde ZnS ince filmelerinin sırasıyla hekzagonal ve kübik yapıda büyündüğü görülmektedir.



Şekil 26. Farklı S:Zn molar oranlarında üretilen ZnS filmlerinin x-işinleri kırınım desenleri ((a) 0.7, (b) 0.8, (c) 0.9, (d) 1.0 ve (e) 1.5)

S:Zn molar oranlarının 0,8-1 değerlerinde (Şekil 26 b,c ve d), ZnS filmlerin ikili kristal yapıda büyüdüğü tespit edildi. Ayrıca S:Zn molar oranı büyütükçe (Şekil 26e), hekzagonal fazın azalıp kübik fazın artığı görülmektedir. Burada II-VI grubu yarıiletken bileşiklerinin

hekzagonal ve kübik yapıda büyümeye, bu bileşiklerdeki katyon ve anyon konsantrasyonlarının sebep olduğu düşünülmektedir [38]. Şekil 27(a),(b)' de sırasıyla, hekzagonal ve kübik yapıda büyümüş ZnS ince filmlerinin  $a$  ve  $c$  örgü parametrelerinin farklı S:Zn molar oranlarındaki değerleri verilmektedir. Şekil 27(a),(b)' de görüldüğü gibi hem hekzagonal hem de kübik kristal yapısının örgü parametreleri, S:Zn molar oranlarına bağlı olarak Vegards lineerlik yasasını doğrulayarak azalmaktadır.



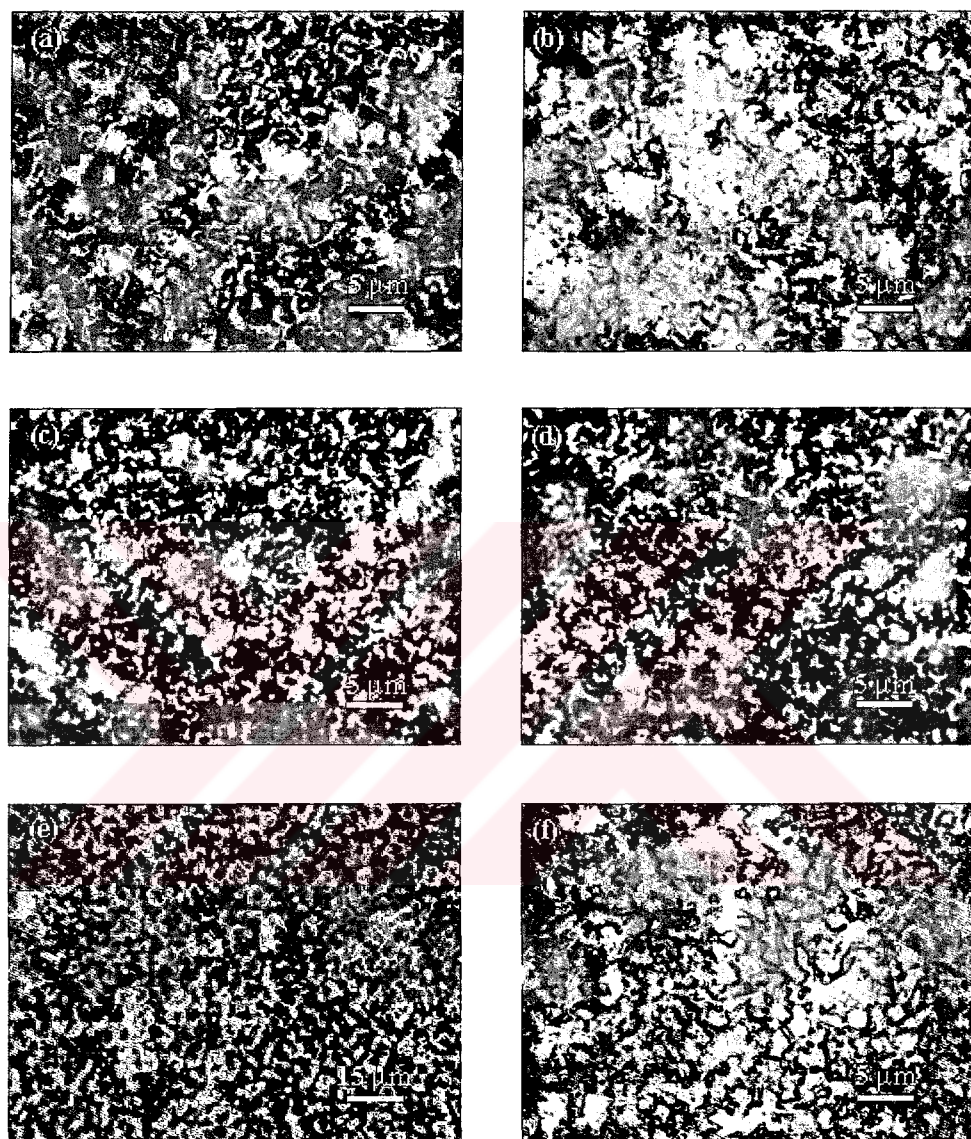
Şekil 27. Sabit altlık sıcaklığında ( $500^{\circ}\text{C}$ )' de üretilen ZnS ince filmlerde hekzagonal  $\alpha$ - fazına ait  $a$  ve  $c$  örgü sabitleri (a) ile kübik  $\beta$ -fazına ait  $a$  örgü sabitinin (b), filmlerin S:Zn molar oranına bağlı değişimi

Üretilen ZnS filmlerin Şekil 26' daki tüm kırınım desenlerinde ZnO fazı gözükmemektedir. Bunun nedeninin, filmlerin hava ortamında üretiminden kaynaklandığı düşünülmektedir. Altlık sıcaklığının  $500^{\circ}\text{C}$  olmasından dolayı,  $10\text{-}15^{\circ}$  arasındaki  $2\theta$  değerlerinde görülmesi gereken  $\text{ZnCl}_2$  fazına rastlanmamıştır. Bununla birlikte ilerleyen bölümlerde farklı altlık sıcaklıklarında üretilmiş ZnS filmlerinin kırınım desenlerinde görülen  $\text{ZnCl}_2$  fazının sıcaklığa bağlı değişimini göreceğiz.

### 3.2.1.2. Optik Fotoğraflarla ZnS Filmlerinin Yüzey Morfolojisinin İncelenmesi

Şekil 28' de S:Zn molar oranları 0,5-1,5 değerlerinde elde edilmiş ZnS filmlerinin yüzey mikrografları verilmektedir. Şekil 28' de görüldüğü gibi, farklı S:Zn molar oranlarına bağlı olarak filmlerin yüzey morfolojisinde önemli farklılıklar gözlenmektedir. S:Zn molar oranı 0,9 olan filmin (Şekil 28e), tane sınırları belirgin olup daha homojen yapı

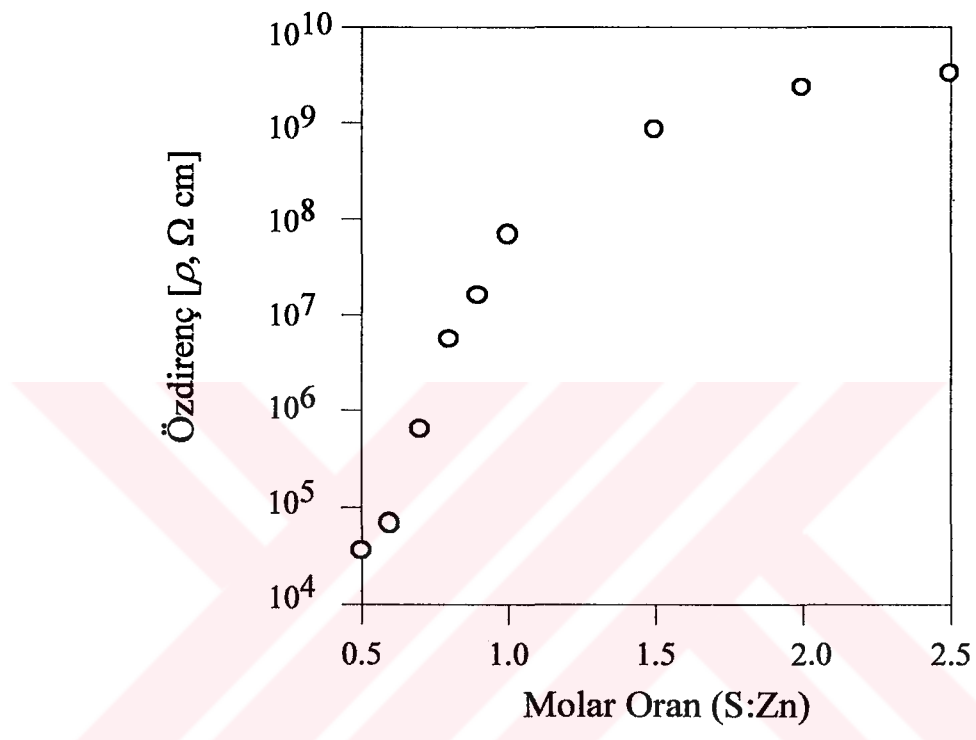
sergilemektedir. Diğer filmlerde ise tane sınırları belirsizdir. Bu veriler ışığında S:Zn molar oranı 0,9 olan ZnS ince filmler optimum numune olarak kabul edilerek, bunun ileriki ölçüm sonuçları ile uyum içinde olduğu tespit edildi.



**Şekil 28.** Sabit altlık sıcaklığında ( $500^{\circ}\text{C}$ ) ve değişik S:Zn molar oranlarında üretilen ZnS filmlerinin yüzey mikrofotoğrafları ((a) 0,5, (b) 0,6, (c) 0,7, (d) 0,8, (e) 0,9, (f) 1

### 3.2.2. Elektrik Özelliklerin İncelenmesi

ZnS filmlerinin özdirençinin ( $\rho$ ) filmlerin S:Zn molar oranına bağlı değişimini Şekil 29 ile verildi. Şekilde S:Zn molar oranının artmasıyla özdirenç değerlerinde de artışlar görüldü. S:Zn oranı 1,5 den sonra filmlerin özdirenç değerlerinde bir doyma görüldü.



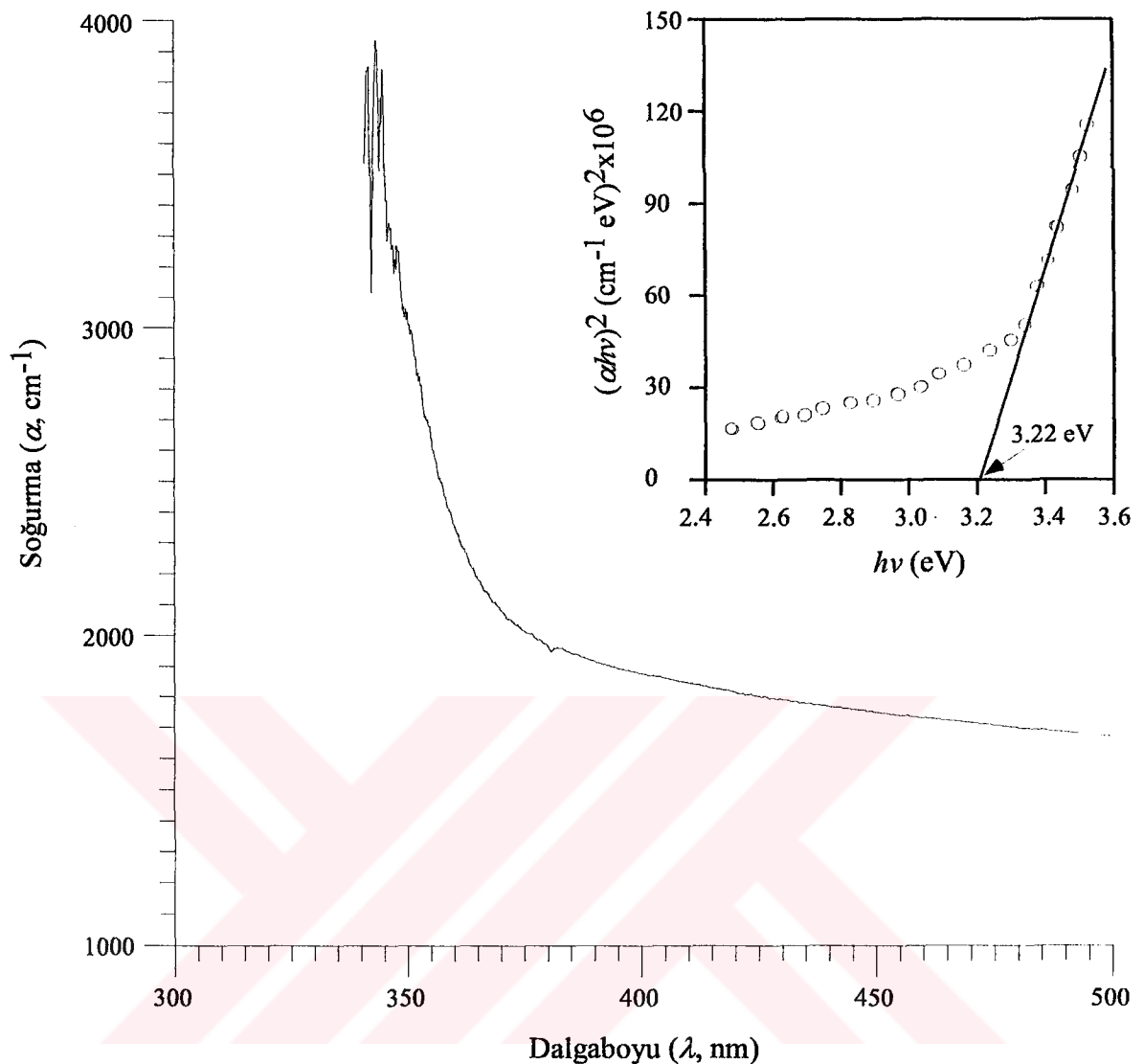
Şekil 29. 500°C altılık sıcaklığında üretilen ZnS filmleri özdirenç değerlerinin, S:Zn molar oranına bağlı değişimi

Konu ile ilgili literatürde yapılan çalışmalarında, düşük S:Zn molar oranlarında filmlerin özdirençlerindeki azalmaların, Zn atomlarının kristal örgü arayerlerine yerleşerek, küçük donor özelliği göstermesinden kaynaklandığı ifade edilmektedir [25]. Yüksek S:Zn molar oranlarında elde edilmiş filmlerde ise, yüzey morfolojisi adacıklar şeklinde birbirine benzediğinden filmlerin özdirenç değerleri birbirine yakın çıkmıştır. Ayrıca artan S:Zn molar oranındaki değişime bağlı olarak ZnS filmlerine has olan beyaz rengin sarıya doğru değişim gösterdiği gözlandı.

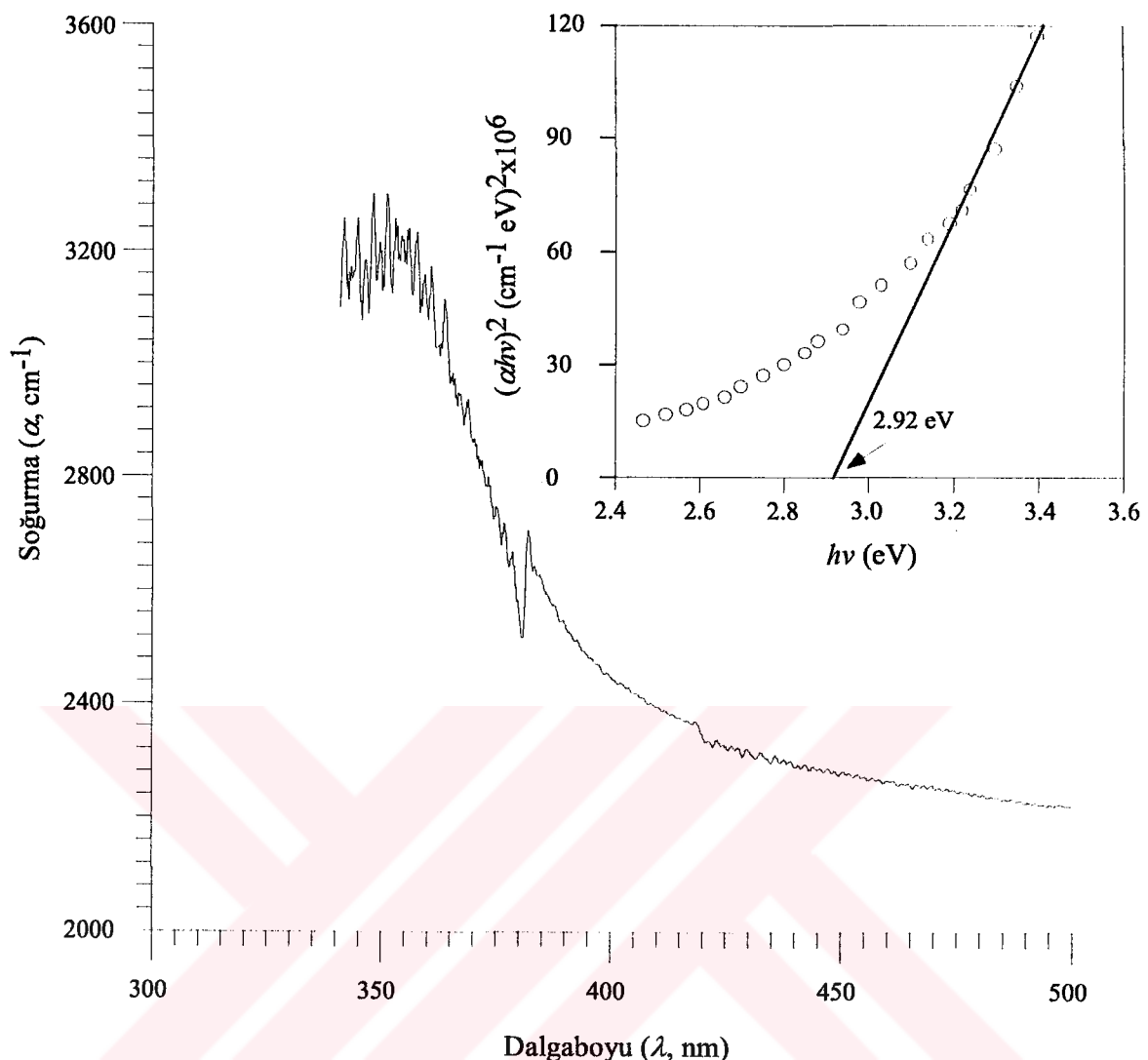
Farklı S:Zn molar oranlarında üretilen tüm ZnS filmlerin taşıyıcı tipleri, sıcak uç yöntemiyle n-tipi olarak tespit edildi.

### 3.2.3. Optik Özelliklerin İncelenmesi

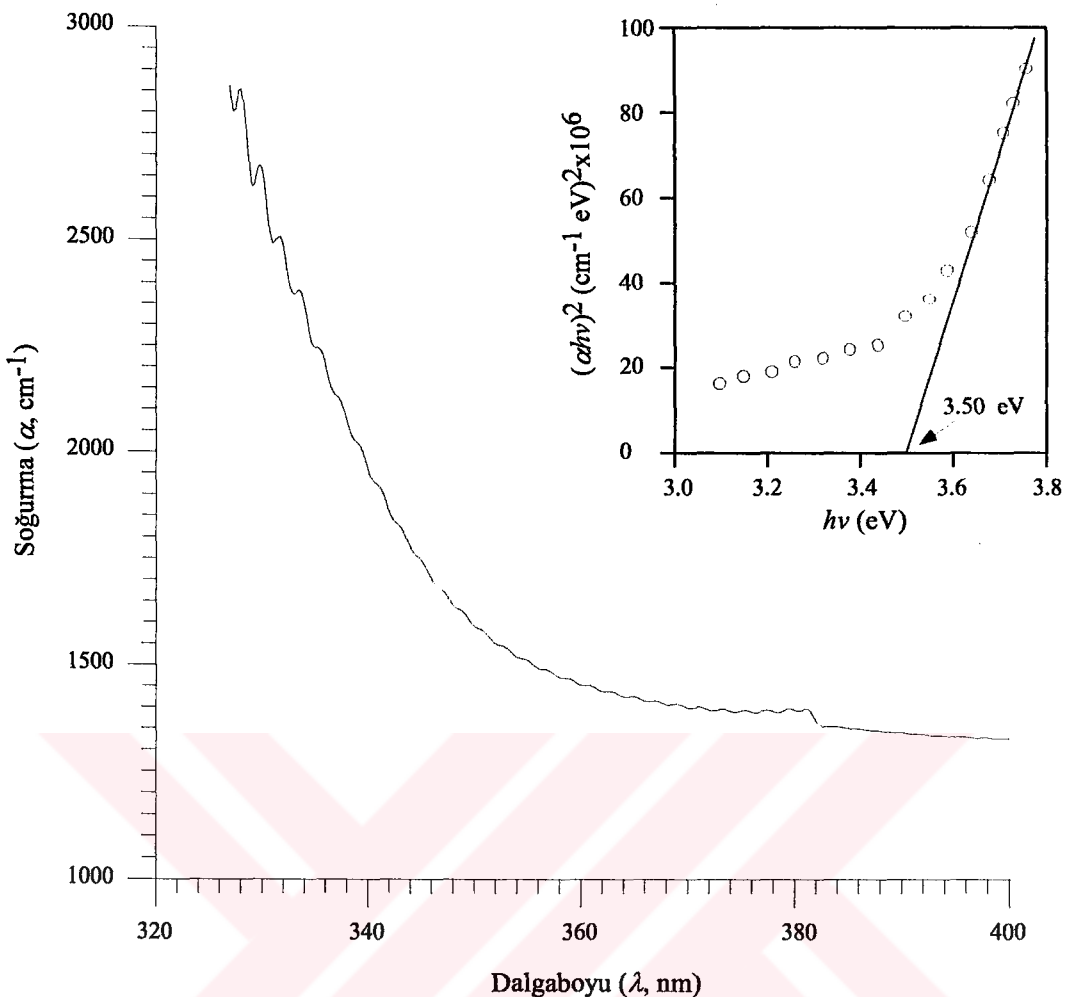
Diğer yöntemlerden farklı olarak kimyasal yöntemlerle elde edilen filmler, büyük etkin yüzey alanına sahip olurlar. Başka bir ifadeyle üretilen film yüzeyleri pürüzlü olur. Bu ise, yüzeye rekombinasyon merkezlerinin yoğunluğunun ve difüzyon yansımalarının artışına sebep olup, filmlerin optik özelliklerini kötü yönde etkiler. Bu olumsuzluğu gidermek için genelde üretilen filmlere ısı ile dağlama (filmleri oluşturan bileşiklerin buharında düşük gradyan sıcaklığında tavlanması), işlemi uygulanır. Bu işlem sonucunda filmler homojen yüzey yapısına sahip olurlar. Bu çalışmada üretilen filmlere bu yöntemin uygulanmamasının sebebi, esas amacımız olan farklı S:Zn molar oranlarında filmler üretip optimum özellikleki ZnS filmini seçmektir. Üretilen filmlerin optik soğurma ölçümleri oda sıcaklığında yapıldığından, farklı S:Zn molar oranlarında üretilen ZnS filmlerde oluşan Zn ve S atomlarının sebep olduğu kusurlar optik soğurma spektrumunda görülmemektedir. Farklı S:Zn molar oranlarında üretilen ZnS filmlerinin soğurma spektrumunun dalga boyuna ve fotonların enerjisine bağlılığı Şekil 30-34' te verilmektedir. Şekil 30(a)' da film yüzeyine düşen fotonların dalga boyunun  $\alpha$  soğurma katsayısına bağlı değişimi verilmektedir. Burada  $\alpha$  (39) nolu formülle hesaplanır. Şekil 30.b' de ise film yüzeyine düşen foton enerjisi  $h\nu$  'nın,  $(\alpha h\nu)^2$  ye göre değişimi verilmektedir. Filmlerin optik yasak band aralığı ( $E_g$ )' nin S:Zn molar oranına bağlı değişimi ise Şekil 35' te görülmektedir.



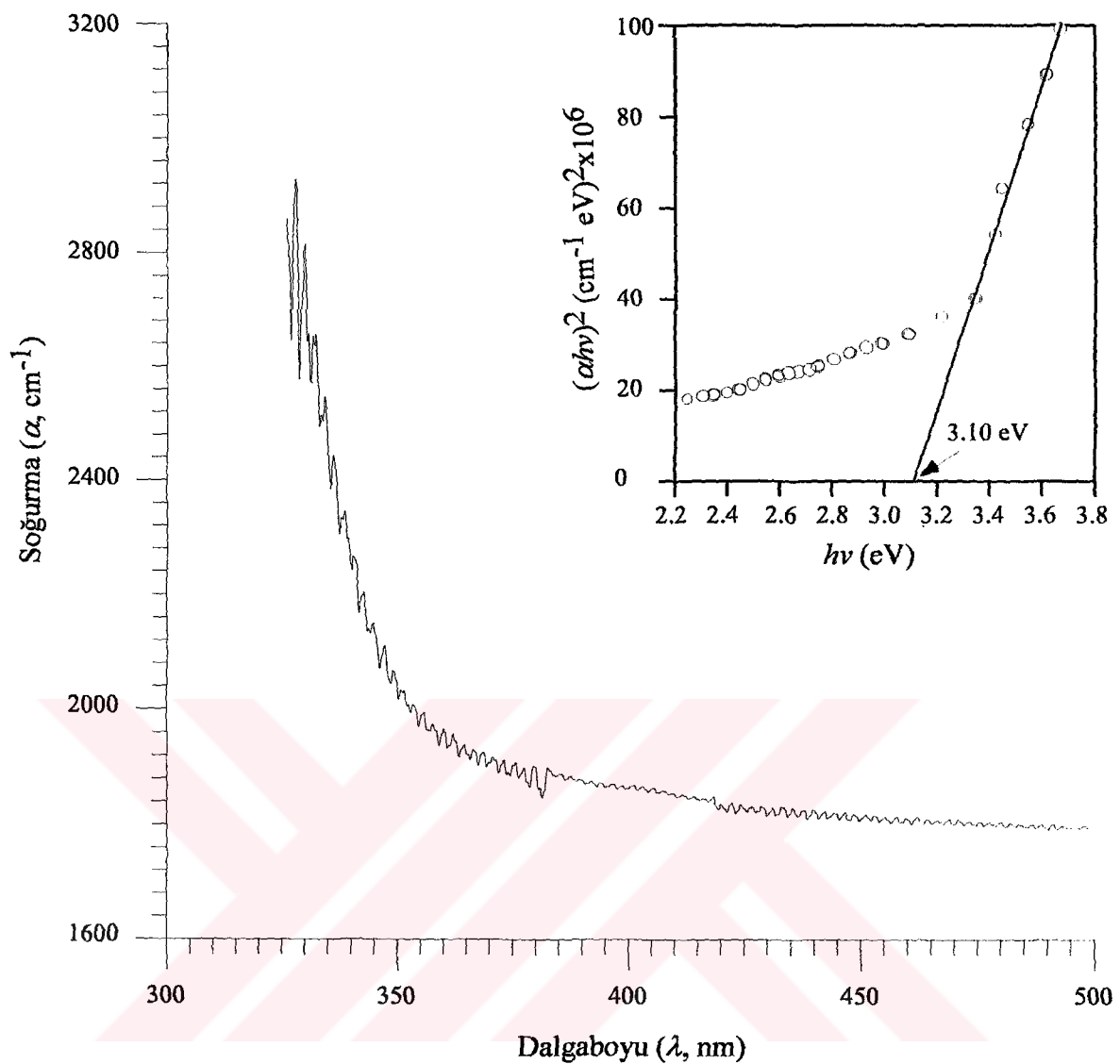
Şekil 30. Sabit altlık sıcaklığı ( $500^\circ\text{C}$ ) ve S:Zn molar oranı 0,7 olarak üretilen ZnS filminin  
(a) temel soğurma spektrumu, (b)  $(\alpha h \nu)^2 - h \nu$  değişimi.



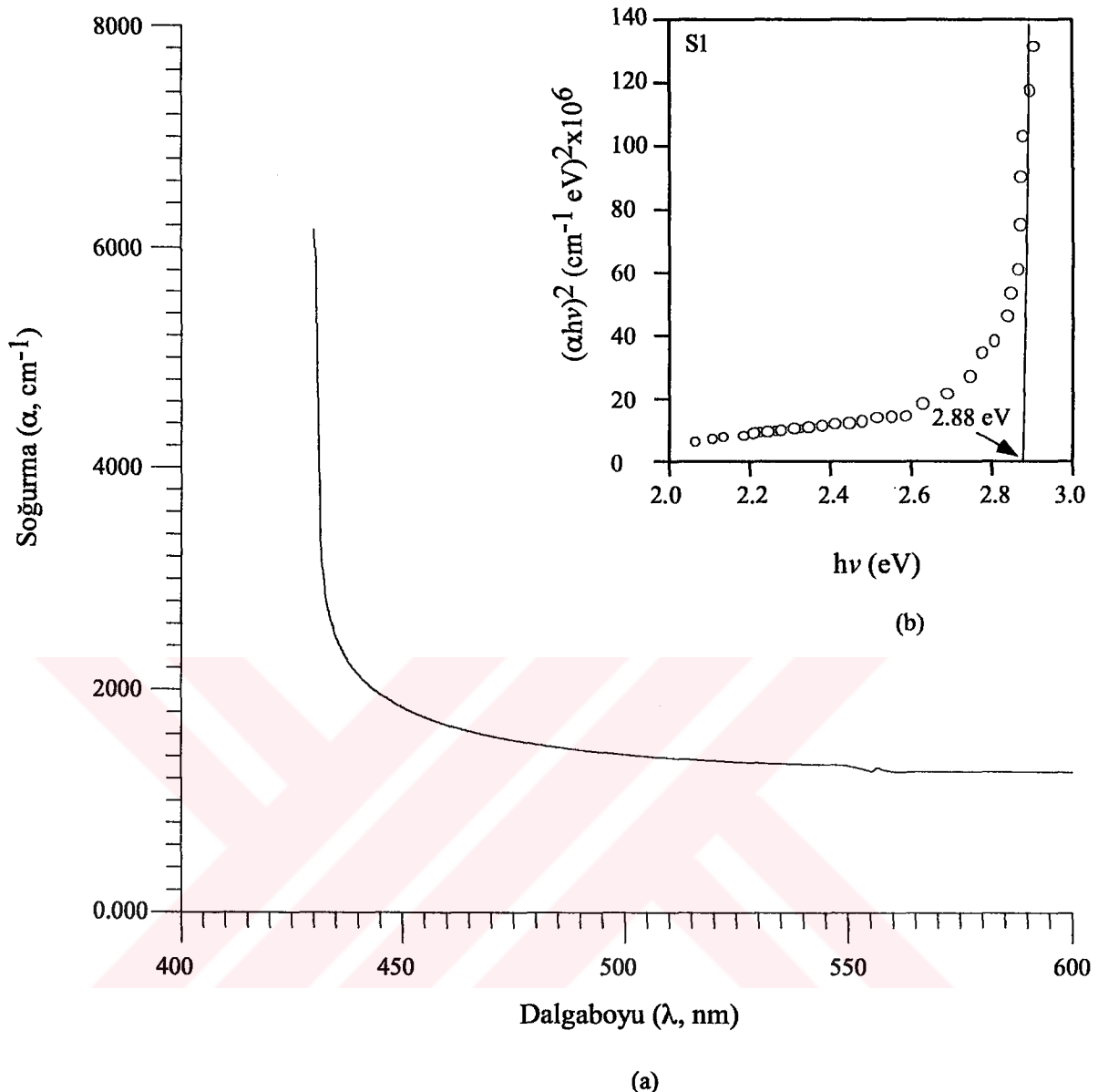
Şekil 31. Sabit altlık sıcaklığı ( $500^\circ\text{C}$ ) ve S:Zn molar oranı 0,8 olarak üretilen ZnS filminin (a) temel soğurma spektrumu, (b)  $(\alpha h\nu)^2 - h\nu$  değişimi.



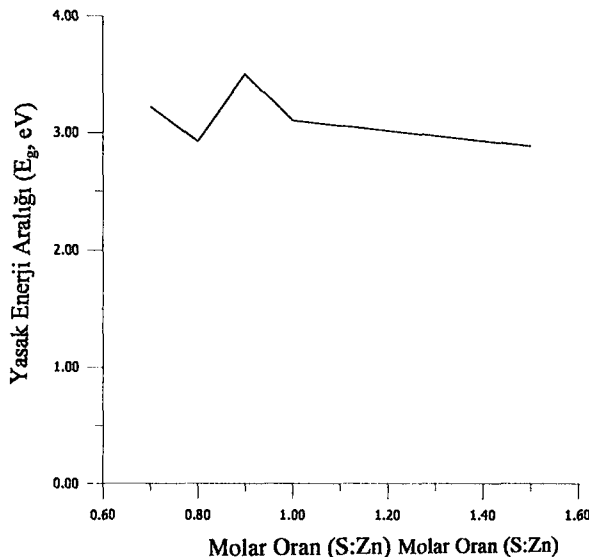
Şekil 32. Sabit altlık sıcaklığı ( $500^\circ\text{C}$ ) ve S:Zn molar oranı 0,9 olarak üretilen ZnS filminin (a) temel soğurma spektrumu, (b)  $(\alpha h \nu)^2 - h \nu$  değişimi.



Şekil 33. Sabit altlık sıcaklığı ( $500^\circ\text{C}$ ) ve S:Zn molar oranı 1,0 olarak üretilen ZnS filminin (a) temel soğurma spektrumu, (b)  $(\alpha h\nu)^2 - h\nu$  değişimi.



Şekil 34. Sabit altlık sıcaklığı ( $500^\circ\text{C}$ ) ve S:Zn molar oranı 1,5 olarak üretilen ZnS filminin (a) temel soğurma spektrumu, (b)  $(\alpha h \nu)^2 - h \nu$  değişimi.



Şekil 35. ZnS filmlerinin  $E_g$  değerlerinin filmlerin S:Zn molar oranına bağlı değişimi

Bu şekilden görüldüğü gibi, S:Zn molar oranı 0,9 olan ZnS filmler 3,5 eV' luk maksimum yasak band aralığına sahip olmaktadır. Bu yüksek değerin, ZnS filmlerin polikristal yapıda büyümesi sonucu banttan banda geçiş mekanizmasından kaynaklandığı düşünülmektedir [39]. Şekil 35' te ZnS ince filmlerin S:Zn molar oranı, 0,7, 0,8, 1 ve 1,5 değerlerindeki, yasak band aralıklarında düzensiz bir dağılım görülmektedir. Bunun nedeni, üretim esnasında filmleri oluşturan bileşiklerin (S ve Zn ) kristal yapıda oluşturduğu doğal kusurların, yasak band aralığındaki seviyelerinin banttan banda geçiş mekanizmasını engellemesinden veya düzensiz bir (amorf) yapıya sahip olmasındanandır. Bu durumda elektron geçişleri, ya valans bandından lokalize durumlara ya da lokalize durumlardan iletim bandına geçiş mekanizması ile açıklanabilir. Böylece optik ölçümlerden de elde edilen sonuçlardan görüldüğü gibi, S:Zn molar oranının 0,9 değeri optimum değer olarak öne çıkmaktadır.

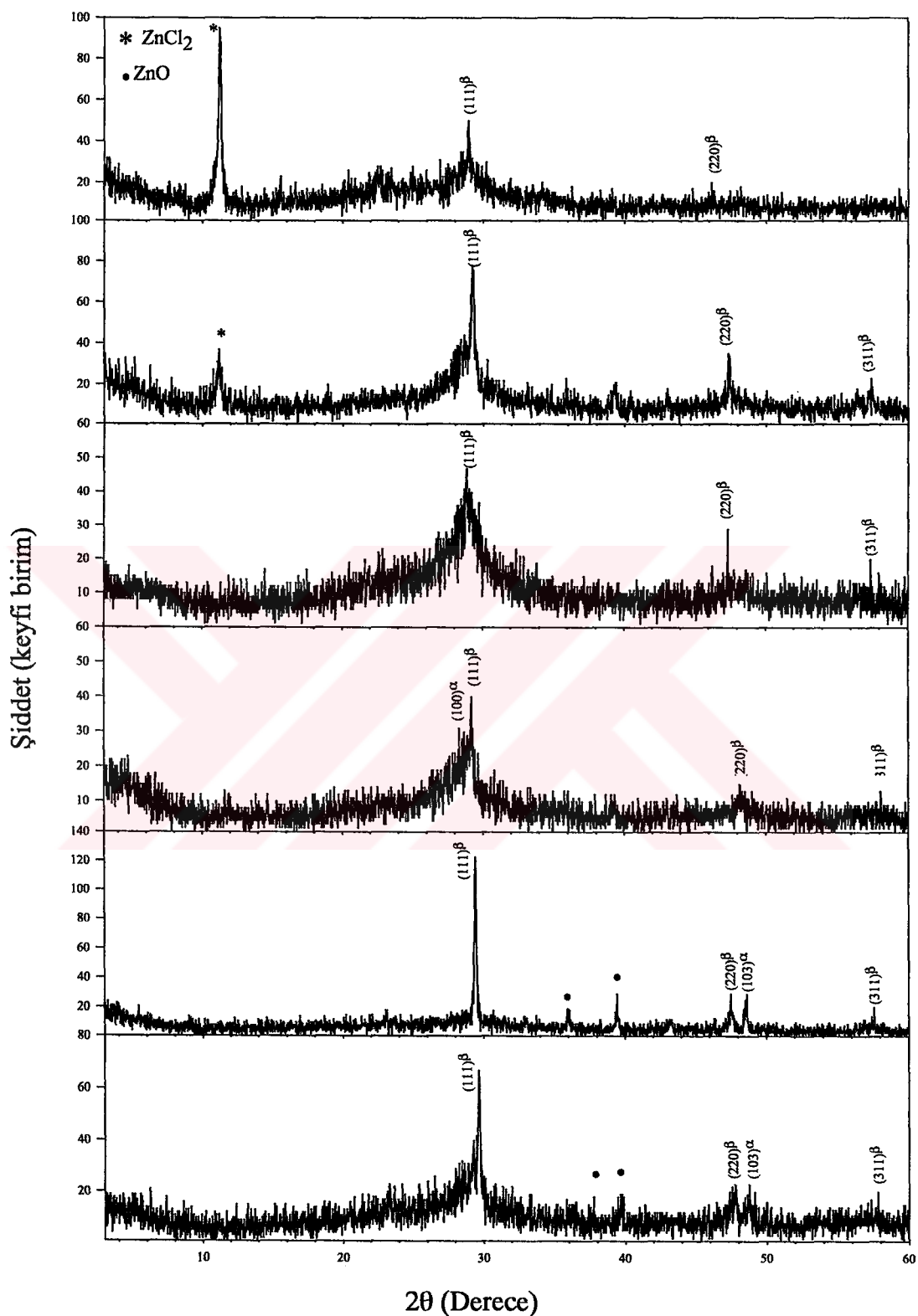
### 3.3. Optimum $Z_2$ ( $S:Zn = 0,9$ ) Numunesinin İncelenmesi

#### 3.3.1. $Z_2$ Numunesinin Yapısal Özelliklerinin İncelenmesi

Bu başlık altında farklı altlık sıcaklıklarında üretilerek, farklı sıcaklıklarda hava ortamında tavlanmış  $Z_2$  numunesinin x-ışınları kırınım desenleri ve optik fotoğraflarla yapısal özellikleri irdelenmektedir.

### 3.3.1.1. Farklı Altlık Sıcaklığında Üretilen Z<sub>2</sub> numunesinin X-ışınları Kırınım Desenleri

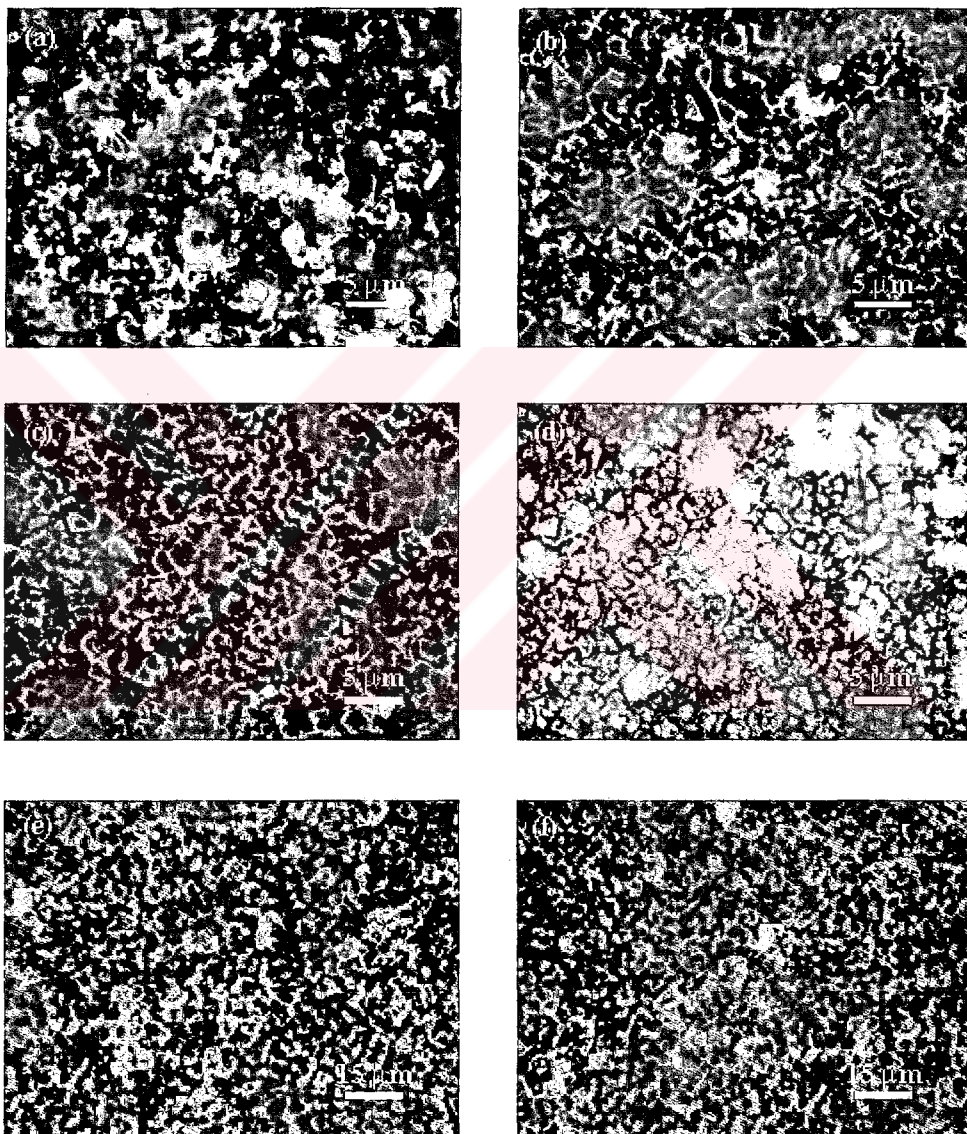
Farklı altlık sıcaklıklarında (300-550°C), sabit püskürtme hızında (5ml/dak) ve sabit püskürtme süresinde (30 dak.) elde edilen ZnS filmlerinin x-ışınları kırinım desenleri Şekil 36' da verilmektedir. Şekilde, düşük altlık sıcaklıklarında üretilen filmlerin (300-350°C) x-ışınları kırinım desenlerinde 11,22° lik 2θ açısında ZnCl<sub>2</sub> fazının olduğu görülmektedir. Ayrıca 350°C' deki ZnCl<sub>2</sub> pik şiddetinin 300°C' dekinden düşük olması ve yüksek altlık sıcaklıklarda tamamen yok olması bu fazın sıcaklığa bağlı olduğunu gösterir. Şekil 36' da görüldüğü gibi, altlık sıcaklığını ayarlayarak filmlerin hem hekzagonal ( $\alpha$ -faz) ve hem de kübik ( $\beta$ -faz) kristal yapıda büyümeyi sağlamak mümkündür. Şekil 36(e)' de, 500°C altlık sıcaklığında üretilen ZnS filmlerin, diğer altlık sıcaklıklarda üretilen filmlere nazaran baskın fazın kübik faz olduğu görülmektedir. Ayrıca bu şekilde, 2θ = 35-40°' de ZnO fazının oluşumunun filmlerin hava ortamında üretilmesinden kaynaklandığı düşünülmektedir. Bu ise, artan altlık sıcaklığı ile oksijenin filmlerin içerisine hızlı difüzyonu nedeniyedir ve bunun sonucu olarak ZnO fazından yansımaya şiddetleri artmaktadır. Yukarıdaki sonuçlara bağlı olarak ZnS filmlerinin optimum altlık sıcaklığının 500°C' de en uygun değer olduğu kabul edildi.



Şekil 36. S:Zn molar oranı 0,9 olan farklı altılık sıcaklıklarında üretilen ZnS ince filmlerinin ( $Z_2$ ), x-ışınları kırınım desenleri ((a)  $300^\circ\text{C}$ , (b)  $350^\circ\text{C}$ , (c)  $400^\circ\text{C}$ , (d)  $450^\circ\text{C}$ , (e)  $500^\circ\text{C}$ , (f)  $550^\circ\text{C}$ ).

### 3.3.1.2. Farklı Altlık Sıcaklıklarında Üretilen $Z_2$ Numunesinin Yüzey Morfolojisi

Farklı altlık sıcaklıklarında üretilen ZnS filmelerinin yüzey mikroografları, Şekil 37'de verilmektedir. Şekilde artan altlık sıcaklığına bağlı olarak filmelerin sıkı paket yapıda büyümeye eğiliminde olduğu görülmektedir.



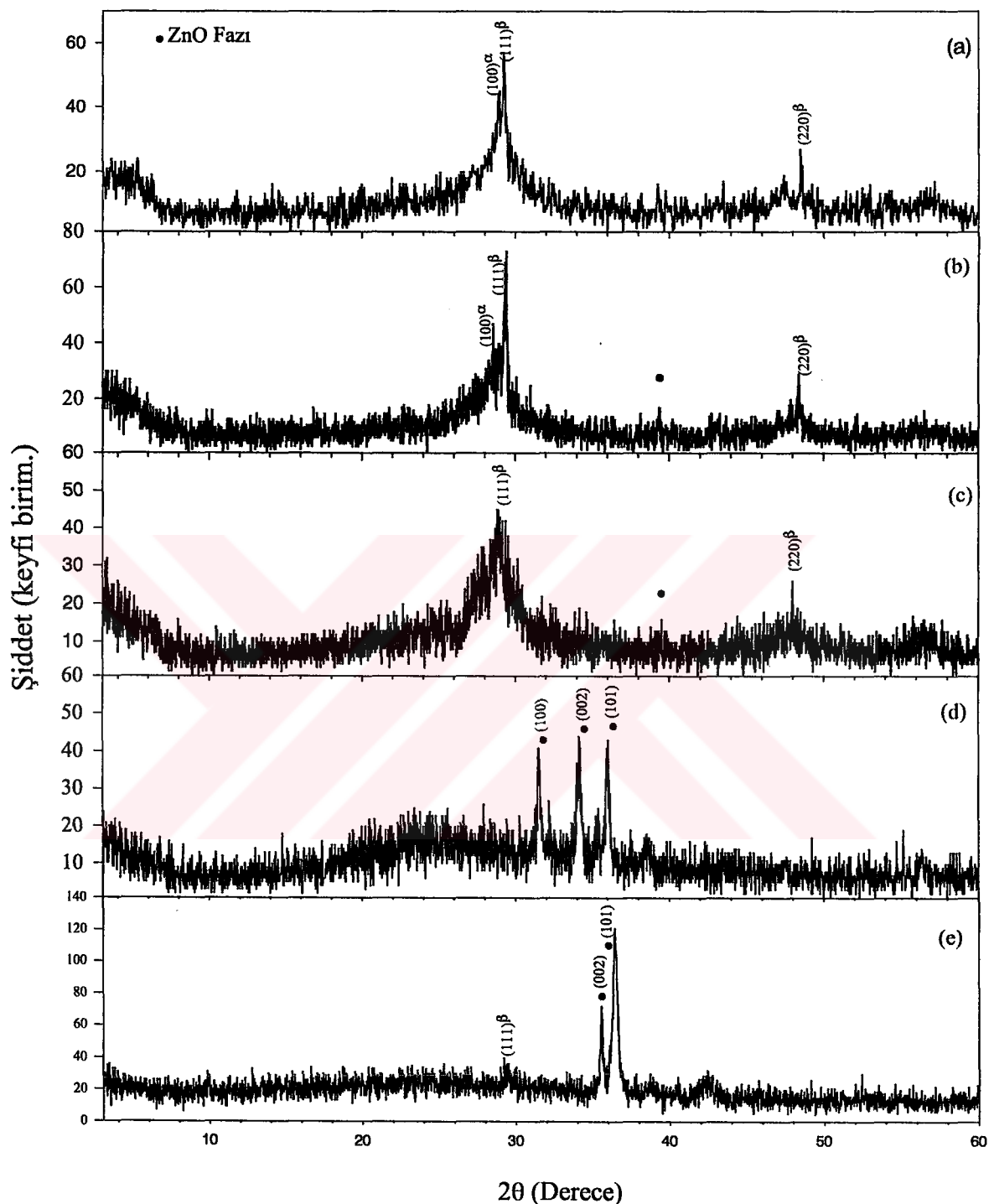
Şekil 37. S:Zn molar oranı 0,9 olan farklı altlık sıcaklıklarında üretilen ZnS ince filmlerinin ( $Z_2$ ) yüzey mikroografları ((a)  $300^\circ\text{C}$ , (b)  $350^\circ\text{C}$ , (c)  $400^\circ\text{C}$ , (d)  $450^\circ\text{C}$ , (e)  $500^\circ\text{C}$ , (f)  $550^\circ\text{C}$ )

### **3.3.1.3. Hava Ortamında Farklı Sıcaklıklarda Tavlanan Z<sub>2</sub> Numunesinin X-İşinleri Kırınım Desenleri**

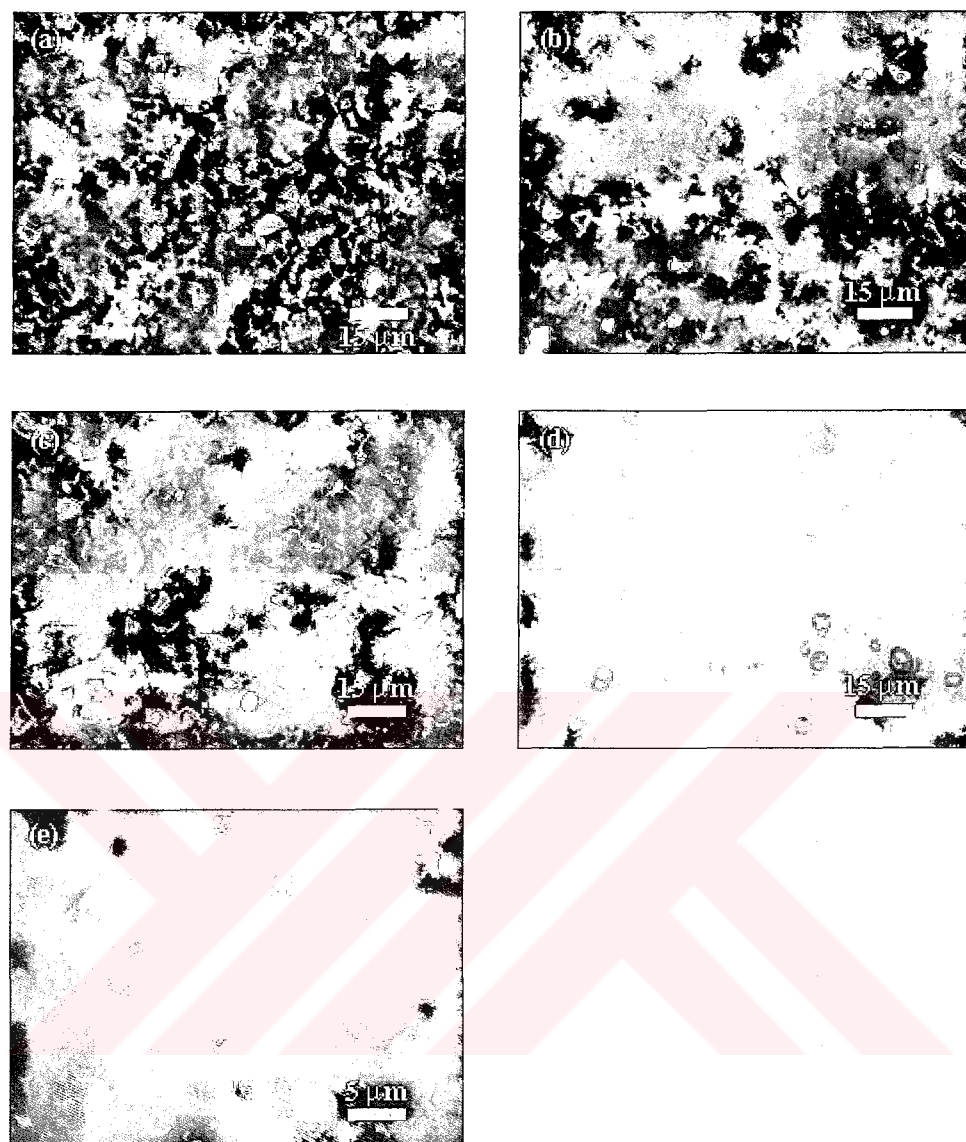
Şekil 38' de 500°C altlık sıcaklığında üretilen ve hava ortamında 300-500°C sıcaklık değerleri arasında 5 dakika tavlanan ZnS filmlerinin, x-ışınları kırınım desenleri verilmektedir. Altlık sıcaklığı 450°C' den başlayarak (Şekil 38d) ZnS filmlerinin tamamen yeni bir yapıya (hekzagonal ZnO) dönüştüğü görülmektedir. Şekil 38(d)' de ZnS' e ait ana piklerin birbiri içersine geçerek, küçük yansımıma şiddetlerine sahip oldukları görülmektedir. Ayrıca hekzagonal ZnO fazının (100), (002) ve (101) düzlemlerinde altlığa dik olarak büyüdüğü düşünülmektedir. Fakat Şekil 38(e)'de 500°C' lik tavlama sıcaklığında ZnS' e ait ana piklerin ve ZnO fazına ait (100) pikinin kaybolduğu, (002) düzleminden yansımıma şiddetinin azaldığı ve ayrıca (101) düzlemindeki yansımıma şiddetinin arttığı görülmektedir. Yapılan çalışmalarda ZnO fazının yüksek optik geçirgenliğe sahip olması nedeniyle, bazı güneş pillerinde optik pencere katmanı olarak kullanılmaktadır. Yukarıdaki sonuçlara dayanarak, amaca göre ZnS filmlerini hava ortamında farklı tavlama sıcaklıklarına tabi tutarak, kısmen veya tamamen ZnO yapısına dönüştürmenin mümkün olduğu görülmektedir [40].

### **3.3.1.4. Farklı Sıcaklıklarda Tavlanmış Z<sub>2</sub> Numunesinin Yüzey Morfolojisinin İncelenmesi**

500°C altlık sıcaklığında üretilen ve hava ortamında 300-500°C sıcaklık değerleri arasında 5 dakika tavlanan ZnS filmlerinin yüzey mikrografları Şekil 39' da verilmektedir. Şekil 39' da sıcaklığa bağlı olarak filmlerin yüzeyinde yeni bir yapının oluşumu izlenmektedir. Şekil 38(d)' de görüldüğü gibi Şekil 39(d)' deki yüzey mikrograflarında filmlerin yeni hekzagonal ZnO fazına sahip olduğu düşünülmektedir. 500°C' deki tavlama sıcaklığında ise ZnO hekzagonal yapının adacıklara bölündüğü ve bunun da x-ışınları kırınım desenlerinde (101) düzleminde baskın olarak büyüdüğü tespit edildi.



**Şekil 38.** Sabit altlık sıcaklığında ( $500^\circ\text{C}$ ) üretilen ZnS filmlerinin ( $\text{Z}_2$ ) farklı altlık Sıcaklıklarında ve hava ortamında 5 dakikalık tavlama işlemi sonucunda çekilmiş x-ışınları kırınım desenleri ((a)  $300^\circ\text{C}$ , (b)  $350^\circ\text{C}$ , (c)  $400^\circ\text{C}$ , (d)  $450^\circ\text{C}$ , (e)  $500^\circ\text{C}$ ).



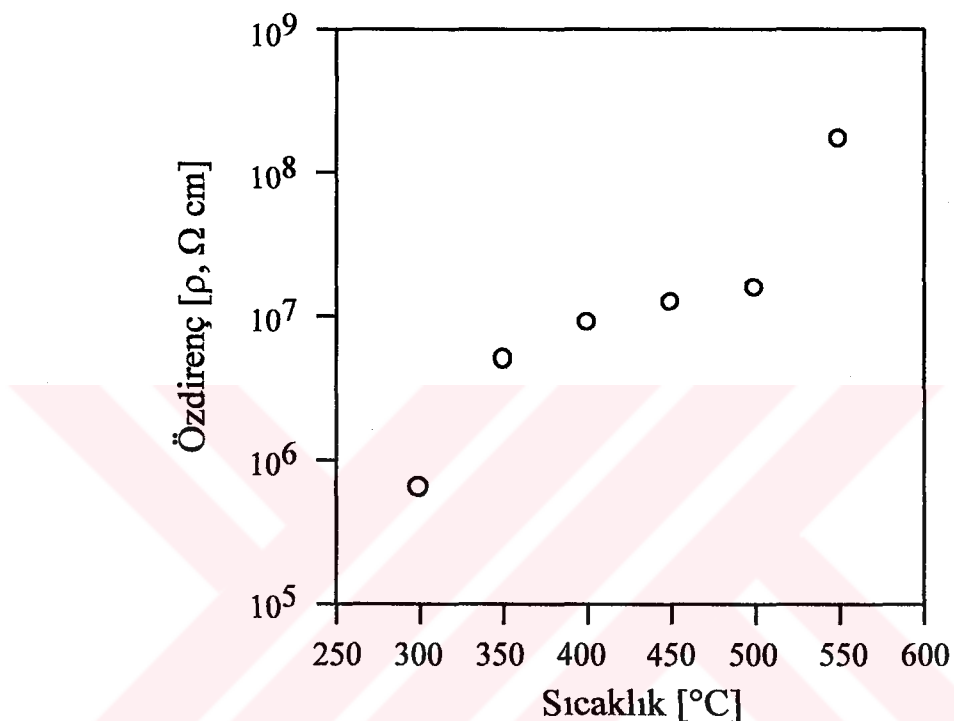
**Şekil 39.** Sabit altlık sıcaklığında ( $500^{\circ}\text{C}$ ) üretilen ZnS filmlerinin ( $\text{Z}_2$ ) farklı altlık sıcaklıklarında ve hava ortamında 5 dakikalık tavlama işlemi sonucunda çekilmiş yüzey mikrografları ((a)  $300^{\circ}\text{C}$ , (b)  $350^{\circ}\text{C}$ , (c)  $400^{\circ}\text{C}$ , (d)  $450^{\circ}\text{C}$ , (e)  $500^{\circ}\text{C}$ ).

### 3.3.2. $\text{Z}_2$ Numunesinin Elektriksel Özelliklerinin İncelenmesi

Farklı altlık sıcaklıklarında üretilen  $\text{Z}_2$  filmlerinin taşıyıcı tipi sıcak uç yöntemi kullanılarak, n-tipi olarak tespit edildi.

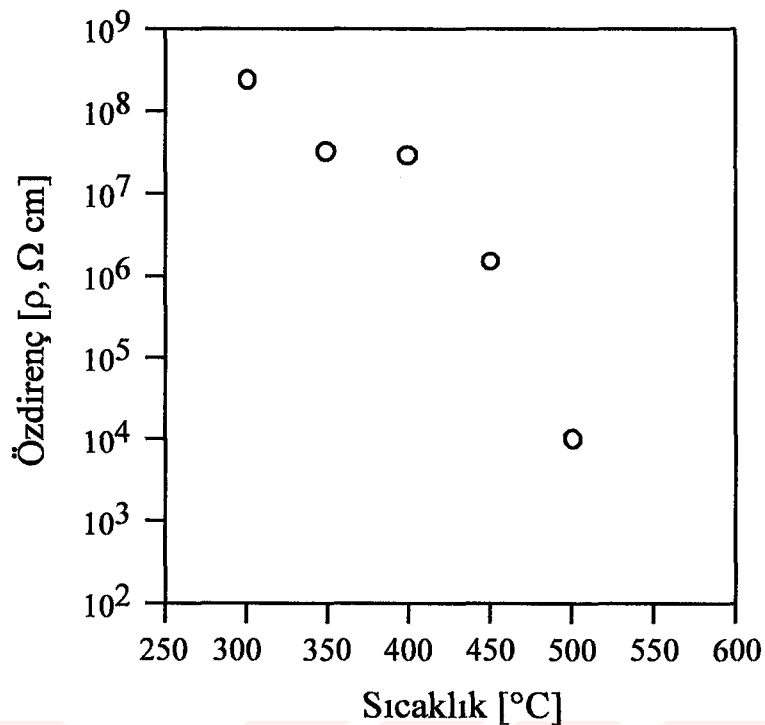
Bu filmlerin özdirenç değerlerinin üretim sıcaklığına bağlı değişimi Şekil 40' da verilmektedir. Şekilde görüldüğü gibi, artan altlık sıcaklığına paralel olarak özdirenç

değerlerinde de artışlar görülmektedir. Sıcaklık artışıyla özdirençteki bu değişimler, yüksek sıcaklıklarda filmelerin büyümeye hızının azalmasından kaynaklanmaktadır [41]. Bu düşünceye paralel olarak, altlık sıcaklığına bağlı olan özdirençteki bu değişimler altlık üzerine püskürtülen kimyasal çözeltinin, yüksek sıcaklıklarda daha hızlı ısisal parçalanması sonucu, yabancı fazların ( $ZnCl_2$ ) oluşmamasındandır.



Şekil 40. S:Zn molar oranı 0,9 olan ZnS ( $Z_2$ ) ince filmleri özdirenç değerlerinin altlık sıcaklıklarına bağlı değişimi.

Farklı sıcaklıklarda ( $300\text{-}500^\circ\text{C}$ ) hava ortamında tavlanan ZnS filmelerinin özdirenç değerleri Şekil 41' de verilmektedir. Şekilde tavlama sıcaklığının artışıyla filmelerin özdirençlerinde düşüşler görülmektedir. Özdirençlerdeki bu düşüşler, tavlama sonucu filmelerin yüzeyinde oluşan yeni bir Zn fazıyla açıklanabilir. Bu fazın oluşumuyla filmelerin özdirenç değerlerindeki düşüşe paralel olarak, ışığa duyarlılıkta artışlar tespit edildi. Ayrıca sıcak uç yöntemiyle  $500^\circ\text{C}$ ' de tavlanan  $Z_2$  filmelerinde oluşan ZnO fazının p-tipi olduğu tespit edildi.



Şekil 41. S:Zn molar oranı 0,9 olan ZnS filmleri ( $Z_2$ ) özdirenç değerlerinin farklı tavlama sıcaklıklarına bağlı değişimi.

#### **4. SONUÇLAR**

Bu çalışmada püskürtme yöntemiyle üretilen ZnS filmlerinin S:Zn molar oranlarını ayarlayarak kontrollü bir şekilde, filmlerin kübik veya hekzagonal yapıda büyümesi sağlandı.

Optik fotoğraflarından, S:Zn molar oranı 0,9 olan ZnS ince filmlerin daha homojen ve büyük taneli yapıya sahip oldukları görüldü. Düşük S:Zn molar oranlarında filmlerin özdirençlerinde belirli azalmalar görüldü. Bu azalmaların, Zn atomlarının kristal örgü arayerlerine yerleşerek küçük donor özelliği kazanmasından kaynaklandığı düşünülmektedir.

300-500°C sıcaklık aralığında, hava ortamında üretilen ZnS filmlerinin yüzeyinde ZnO fazının oluştuğu, x-ışınları kırınım desenlerinden anlaşıldı. Bu fazın oluşumunun bir sonucu olarak, filmlerin ışığa duyarlılığında artış görüldü. Ayrıca ZnS filmlerini farklı sıcaklıklarda hava ortamında tavlayarak kısmen veya tamamen ZnO hekzagonal yapıya dönüştürmenin mümkün olduğu görüldü. Bunlara ek olarak, farklı S:Zn oranlarında üretilen ZnS filmlerinin soğurma spektrumlarından hesaplanmış optik yasak band aralığının 2,88–3,50 eV aralığında değiştiği görüldü.

## **5. ÖNERİLER**

ZnS filmlerinin kimyasal püskürtme yöntemiyle üretilmesinde iki başlıktan (nozzle) püskürtme yapılması elde edilecek filmelerin stokimetresindeki sapmaları önleyeceği düşünülmektedir.

Oda sıcaklığında yapılan soğurma spektrumu çalışmalarında, Zn ve S boşluklarından kaynaklanan kusurların etkisini daha iyi görebilmek için ZnS filmlerinin fotoluminesans, elektrolüminesans ve optik soğurma ölçümlerinin sıvı azot sıcaklığında incelenmesi yeni bir çalışma konusu olarak düşünülebilir.

Değişik S:Zn molar oranlarına bağlı olarak farklı kristal yapıda üretilen ZnS filmlerine çeşitli safsızlıkların etkisinin incelenmesi malzeme performansını ve karakteristiğini belirlemekte yapılması gereken bir çalışma olarak düşünülmektedir.

## **6. KAYNAKLAR**

1. Ueta, A., Shimozawa, T., Avramescu, A., Suemune, I., Machida, H., Shimoyoma, N., Growth Mechanism of Selectively Grown II-VI Semiconductor Photonic Dots for Short-wavelength Light Emitters, Journal of Crystal Growth 221 (2000) 425-430.
2. Keskin, H., Temel Kimya Dersleri, 2.Baskı, İTÜ Fen Fakültesi, İstanbul, 1967.
3. Ricolleau, C., Audinet, L., Gandairs, M., Gacain, T., Structural Transformations in II-VI Semiconductor Nonocrystals, The European Physical Journal D 9 (1999) 565-570.
4. Kittel, C., Introduction to Solid State Physics, 6<sup>th</sup> Edition, John Wiley & Sons Inc., New York, 1986.
5. Nair P.K., Nair, M.T.S., Chemically Deposited ZnS Thin Film Application as Substrate for Chemically Deposited PbS Thin Film, Semiconductor Science Technology, 7 (2) 1992 239-244.
6. Anderson, E.E., Katıhal Fiziğine Giriş, (Türkçeye Çev. Dr. Selma Karaali), İzmir 1981.
7. Grahn, T., Innroduction to Semiconductor Physics, World Scientific Publishing Co. Pte. Ltd. Singapore, London 1999.
8. McKelvey, J.P., Solid State and Semiconductor Physics, A Harper & Row, New York and Tokyo 1966.
9. Wang, S., Fundamentals of Semiconductor Theory and Device Physics, Prentice – Hall International Inc., USA, 1989.
10. Rudden, M.N. and Wilson J., Elements of Solid State Physics, John Willey and Sons Ltd., New York 1979.
11. Onaran, K., Malzeme Bilimi, İTÜ Yayın No: 1448, İstanbul 1991.
12. Polyakov, A.M., Semiconductors Made Simple, Mir. Publishers, Moscow 1985.
13. Sze, S.M., Physics of Semiconductors Devices, 2<sup>th</sup> Edition, John Wiley and Sons Inc. Canada 1981.

14. Nag, B.R., *Electrontransport in Compound Semiconductors*, Springer Verlag Berlin, New York 1980.
15. Omar, M.A., *Elementary Solid State Physics*, Addison-Wesley Publishing Company, Philppiens 1975.
16. Mott, N.F. and Davis, E.A., *Electronic Processes in Noncrystalline Materials*, Clarendon Press, Oxford 1987.
17. Oral, M., *Güneş Pilleri*, Ege Üniversitesi Yayınları, İzmir 1979.
18. Seeger, K., *Semiconductor Physics*, London 1982.
19. Connell, G.A.N. and Lewis, A., Evidence for Sharp and Gradual Optical Absorption Edges in Amorphous Germanium Comment, *Phys Status Solidi B* 60 (1973) 291-298.
20. Couve, S., Gouskov, L., Szepessy, L., Resistivity and Optical Transmission of CuS Layers as a Function of Composition, *Thin Solid Films*, 15 (1973) 223-231.
21. Elidrissi, B., Addou, M., Reragui, M., Structure, Composition ana Optical Properties of ZnS Thin Films Prepared by Spray Pyrolysis, *Materials Chemistry and Physics* 68 (2001) 175-179.
22. Ashour, A., Afifi, H.H., Mahmoud, S.A., Effect of Some Spray Pyrolysis Parameters on Electirical and Optical Properties of ZnS Films, *Thin Solid Films*, 248 (1994) 253-256.
23. Hook, J.E., Hall H.E., Katıhal Fiziği, Türkçe Çeviri: Köksal F., Altunbaş F., Dinçer, M., Başaran E., Literatür Yayınları No: 28) İstanbul 1999.
24. Caferov, T., *Yarıiletken Fiziği I*, YTÜ. FE.DK-98.0365 İstanbul 1998.
25. Afifi, H.H., Mahmoud, S.A., Ashour, A., Structural Study of ZnS Thin Films Prepared by Spray Pyrolysis, *Thin Solid Films*, 263 (1995) 248-251.
26. Durrani, S.M.A., Al-Shukri, A.M., Iob, A., Optical Constants of Zinc Sulfide Films Determined from Transmittance Meausurements, *Thin Solid Films*, 379 (2000) 199-202.

27. Yoon, K.H., Ahn, J.K., Optical Characteristics of Undoped and Mn Dopped ZnS Films, Journal of Materials Science, 36 (2001) 1373-1376.
28. Duchemin, S., Bougnat J., Kaka M., Crystallographic and Morphological Characterization of Sprayed CdZnS Thin Films, Thin Solid Films, 136 (1986) 289-298.
29. Danaher, W.J., Lyons, L.E., Solar Energy Materials, 12 No:2 1985.
30. Siegfert, W., Properties of SnO<sub>2</sub> Film Prepared by Corona Spray Pyrolysis and Discussion of the Spray Pyrolysis Process, Thin Solid Films, 120 (1984) 275-282.
31. Caferov, T., Katıhal Elektronigi, YTÜ Vakfi, Sayı: YTÜVAK-FE-2000 – 002, İstanbul 2000.
32. Neumann, H., Kühn, G., Schumann, B., Adamantine Ternary Epitaxial Layers, Prog. Cryst. Growth. Charact., 3 (1981) 157-178.
33. Osofsky, M.S., Lubitz, P., Harford, M.Z., Singh, A.K., Quadri, S.B., Preparation, Structure and Magnetic Field Studies of High Tc Superconductors, Appl. Phys. Lett., 53 (1998) 1663-1699.
34. Stoessel, C.H., Bunshah, R.F. Prakash, S., Fetterman, H.R., Thin Film Processing of High-Tc Superconductors, J. Superconductivity, 6 (1993) 1-15.
35. Dzhafarov, T.D., Sadigov M.S., Mursakular, N.N., Production and Properties of CuInSe<sub>2</sub> – GaAs Heterjunction, Preprint Institute of Phys., Academic of Science Azerbaijan, 278 (1988) 1-14.
36. Hörig, W., Neumann, H., Höbler, H.J., Kühn, G., Temperature Dependence of Absorption Edge in CuInSe<sub>2</sub>, Phys. Stat. Sol. B., 80 (1977) 21-24.
37. Adurodiji, F.O., Carter, M.J., Hill, R., Synthesis and Characterization of CuInSe<sub>2</sub>, Thin Films from Cu, In and Se Stacked Layers Using a Closed Graphite Box, Sol. Eng. Mat. Sol. Cells., 40 (1996) 359-369.
38. Gloede, W., Lippmann H., Mutze S., Recrystallization of Cadmium Selenide Films, Phys. Stat. Sol. 6 (1971) 69-71.
39. Maruyama, T. and Kawaguchi, T., ZnS Thin Films Prepared by Thermal Decomposition of Coordination Compound, Thin Solid Films, 188 (2) 1990 323-327.

40. Miyake, A., Kominami, H., Tatsuoka, H., Kuwabara, H., Luminescent Properties of ZnO Thin Films Grown Epitaxially on Si Substrate, *Journal of Crystal Growth* 214/215 (2000) 294-298.
41. Danaher, W.J., Lyons L.E., Morris G.C., Some Properties of Thin Films of Chemically Deposited Cadmium Sulfide, Solar Energy Materials, 12 (1985) 137-148.

## **ÖZGEÇMIŞ**

1967 yılında Trabzon' da doğdu. İlk ve orta öğretimini Akçaabat' ta tamamladı. 1986-1990 yılları arasında KTÜ Jeoloji Mühendisliği Lisans Programını tamamladı. Askerlik görevini 1991-1992 yılları arasında Yedek Subay olarak yaptı. 1995 yılında başladığı Marmara Üniversitesi Fizik Öğretmenliği Lisans Programını, üç yılda, derece ile bitirdi. 1998-1999 yılları arasında Milli Eğitim Bakanlığındaki Öğretmenlik görevinden sonra 1999 yılında KTÜ Gümüşhane Mühendislik Fakültesine Öğretim görevlisi olarak atandı. 2000-2001 eğitim öğretim yılında KTÜ Fen Bilimleri Enstitüsü Fizik Bölümünde Yüksek Lisans öğrenimine başladı. Halen Gümüşhane Mühendislik Fakültesindeki görevini sürdürmekte olan Kemal ÖZTÜRK evli olup İngilizce bilmektedir.

